

รายงานการวิจัยฉบับสมบูรณ์

การศึกษาการดัดขึ้นรูปตัววีสำหรับเหล็กกล้าทันแรงดึงสูง

An investigation of V-bending for High Strength Steel



คณบุรุษวิจัย

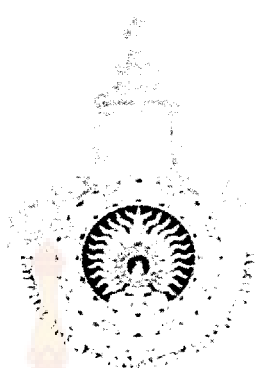
นายสุเทพ เยี่ยมชัยภูมิ

ผู้ช่วยศาสตราจารย์ ໂອຣີສ ນິລືສາຍ

โครงการวิจัยทุนสนับสนุนงานวิจัยของมหาวิทยาลัยเทคโนโลยีราชมงคลกรุงเทพ

งบประมาณแผ่นดิน ปี พ.ศ. 2554

มหาวิทยาลัยเทคโนโลยีราชมงคลกรุงเทพ



รายงานการวิจัยฉบับสมบูรณ์

การศึกษาการดัดขึ้นรูปตัววีสำหรับเหล็กกล้าหกแรงดึงสูง

An investigation of V-bending for High Strength Steel

คณบดีผู้วิจัย

นายสุเทพ เยี่ยมชัยภูมิ

ผู้ช่วยศาสตราจารย์ โอลิเวอร์ ส. มนต์ถาย

โครงการวิจัยทุนสนับสนุนงานวิจัยของมหาวิทยาลัยเทคโนโลยีราชมงคลกรุงเทพ

งบประมาณแผ่นดิน ปี พ.ศ. 2554

มหาวิทยาลัยเทคโนโลยีราชมงคลกรุงเทพ

กิตติกรรมประกาศ

การทำงานวิจัยนี้สำเร็จด้วยดี ผู้วิจัยขอขอบพระคุณมหาวิทยาลัยเทคโนโลยีราชมงคลกรุงเทพที่ได้เอื้ออำนวยวิถีทางสถาปัตยกรรมที่เครื่องจักร ตลอดจนวัสดุอุปกรณ์ที่ใช้ในการทดลองสำหรับการทำวิจัยในครั้งนี้ และขอกราบขอบพระคุณสถาบันวิจัยและพัฒนาที่ได้ช่วยเหลือในด้านงบประมาณ ประโยชน์อันดี ที่เกิดจากการทำงานวิจัยครั้งนี้ ย้อมเป็นผลมาจากการความกรุณาของท่านที่กล่าวไว้ข้างต้น ผู้วิจัยจึงได้ขอขอบพระคุณอย่างสูงไว้ ณ โอกาสนี้



บทคัดย่อ

การดัดขึ้นรูปโลหะประภากเหล็กกล้าทันแรงดึงดูงเป็นกลุ่มเหล็กอีกกลุ่มที่ไม่มีข้อมูลการดัดตัวกลับของชิ้นงานหลังดัดขึ้นรูปทำให้เกิดความผุ้ยยากในการออกแบบมุมพั๊บ ด้วยส่วนเดี่ยงต่อความเสียหายและยืดเวลาในการทำงานขึ้นในองค์กรอุตสาหกรรม ดังนั้น โครงการนี้มีวัตถุประสงค์เพื่อศึกษาเกี่ยวกับตัวแปรและแรงที่ส่งผลต่อการดัดตัวกลับในกระบวนการการดัดขึ้นรูปวัสดุที่ใช้ในการจำลองและการทดลองเป็นวัสดุเหล็กกล้าทันแรงดึงดูงผ่านการดัดขึ้นรูปด้วยแม่พิมพ์ดัดขึ้นรูปตัวรัศมีพั๊บด้วยรัศมีพั๊บและด้วยเท้ากับ 10, 12.5, 15, 17.5, 20 และ 22.5 mm ตามลำดับ โดยมีมุมพั๊บ 30, 60, 90 และ 120° ตามลำดับ ผลลัพธ์จากการวิจัยพบว่า ตัวแปรที่ส่งผลต่อแรงและการดัดตัวกลับคือ รัศมีพั๊บ – ด้วย มุมพั๊บ และค่าความเค้นคราก กล่าวคือ เมื่อรัศมีพั๊บ – ด้วย มีค่าเพิ่มขึ้น ค่าสัมประสิทธิ์การดัดตัวกลับจะเพิ่มขึ้นตามในท่านองดียกันค่าความเค้นครากของวัสดุที่มีค่ามาก ยิ่งส่งผลทำให้ค่าสัมประสิทธิ์การดัดตัวกลับเปลี่ยนแปลงค่ามากขึ้นและมากกว่าปัจจัยอื่น ๆ ในขณะเดียวกันมุมพั๊บ – ด้วยกลับไม่มีผลต่อค่าสัมประสิทธิ์การดัดตัวกลับ จากผลการวิจัยทำให้ทราบว่าผลลัพธ์การจำลองกระบวนการการดัดขึ้นรูปด้วยระบบเบินวิชไฟไนต์เอลิเมนต์สอดคล้องกับผลลัพธ์ที่ได้จากการทดลอง

สำคัญ: กระบวนการการดัดขึ้นรูปโลหะ/ แม่พิมพ์โลหะ

Abstract

The bending of high strength steel is not enough of spring back factor data after bending process. Therefore, it was difficult to design of the punch-die angles and increased of the time to making and manufacture in industrial. Therefore, this project aimed to study of the parameters and forces are effect to the spring back in bending in bending process. The material was used in this research is high strength steel forming by used the v-bending dies with punch-die radius are 10, 12.5, 15, 17.5, 20, 22.5 mm respectively and used punch angles are 30°, 60°, 90°and 120° respectively. The results was found that the parameter are effect to the force and spring back are punch-die radius, punch angle, and yield stress, as the punch-dic radius increase the spring back factor was increase. In addition, the increasing of yield stress was increased the spring back factor more than the other parameters. Meanwhile, the punch-dic angles are not effect to the spring back factor. The results from the finite element simulation were agreement with the experiment results.

Keyword : Bending Process/ Finite Element Method

สารบัญ

	หน้า
บทคัดย่อ	๑
กิตติกรรมประกาศ	๒
สารบัญ	๓
สารบัญตาราง	๔
สารบัญภาพ	๘
รายการสัญลักษณ์	๙
ประมวลศพท์และคำย่อ	๑๐
บทที่	
 1. บทนำ	1
1.1 บทนำ	1
1.2 วัตถุประสงค์ของงาน	2
1.3 ขอบเขตของโครงการ	2
1.4 ขั้นตอนการดำเนินงานวิจัย	2
1.5 ประโยชน์ที่คาดว่าจะได้รับ	3
 2. ทฤษฎีและงานวิจัยที่เกี่ยวข้อง	4
2.1 ทฤษฎีที่เกี่ยวข้อง	4
2.2 งานวิจัยที่เกี่ยวข้อง	19
 3. การดำเนินงานวิจัย	21
3.1 บทนำ	21
3.2 การวางแผนการวิจัย	21
3.3 สรุปการดำเนินงาน	46
 4. ผลและวิเคราะห์ผลการวิจัย	47
4.1 ผลลัพธ์การทดสอบการดึง	47
4.2 การวิเคราะห์ตัวแปรที่มีอิทธิพลต่อการเกิดการดึงตัวกลับ	49
4.3 วิเคราะห์ตัวแปรที่ส่งผลต่อแรงที่ใช้ในการดึงขึ้นรูป	61
4.4 สรุป	67
 5. สรุปผลการวิจัยและข้อเสนอแนะ	68
5.1 สรุปผล	68

สารบัญ (ต่อ)

	หน้า
บทที่	หน้า
5.2 ข้อเสนอแนะ	68
5.3 ประโยชน์ของการวิจัย	69
เอกสารอ้างอิง	70
ภาคผนวก ก	72
ภาคผนวก ข	81



สารบัญตาราง

ตารางที่	หน้า
2.1 ตัวแปรต่าง ๆ ที่ส่งผลต่อการดีดตัวกลับ	9
3.1 การวางแผนการวิจัย	21
3.3 เงื่อนไขของการวิเคราะห์	45
4.1 ผลการทดสอบแรงดึงของวัสดุเหล็กทันแรงดึงสูง	47
4.2 แสดงการคำนวณค่าสัมประสิทธิ์การดีดตัวกลับจากการจำลอง	51
4.3 แสดงการคำนวณค่าสัมประสิทธิ์การดีดตัวกลับจากการทดลอง	53
4.4 แสดงการคำนวณความเค้นครากที่ส่งผลต่อการดีดตัวกลับ	55
4.5 แสดงค่ารัศมีพันธ์ที่มุนของแม่พิมพ์หลังการดัด	57
ก.1 ผลการจำลองการดัดขึ้นรูปตัววีวัสดุเหล็กถ่านแรงดึงสูงที่ความเค้นคราก 300	73
ก.2 ผลการจำลองการดัดขึ้นรูปตัววีวัสดุเหล็กทันแรงดึงสูงที่ความเค้นคราก 350	74
ก.3 ผลการจำลองการดัดขึ้นรูปตัววีวัสดุเหล็กถ่านแรงดึงสูงที่ความเค้นคราก 400	75
ก.4 ผลการจำลองการดัดขึ้นรูปตัววีวัสดุเหล็กถ่านแรงดึงสูงที่ความเค้นคราก 450	76
ก.5 ผลการจำลองการดัดขึ้นรูปตัววีวัสดุเหล็กถ่านแรงดึงสูงที่ความเค้นคราก 500	77
ก.6 ผลการจำลองการดัดขึ้นรูปตัววีวัสดุเหล็กถ่านแรงดึงสูงที่ความเค้นคราก 550	78
ก.7 แสดงการคำนวณค่าสัมประสิทธิ์การดีดตัวกลับจากการจำลอง	79
ก.8 แสดงการคำนวณความเค้นครากที่ส่งผลต่อการดีดตัวกลับ	80
ก.9 แสดงการคำนวณค่าสัมประสิทธิ์การดีดตัวกลับของมุนแม่พิมพ์	75
ข.1 แสดงข้อมูลการวัดขั้นงานหลังการดัดขึ้นรูป	82
ข.2 คำนวณค่าเฉลี่ยรวมของการวัดมุนหลังการดัด	83

สารบัญภาพ

ภาพที่	หน้า
2.1 แสดงตัวอย่างการดัดของชิ้นงานบนแม่พิมพ์ดัดชิ้นรูปปีกงาน	4
2.2 ความเค้นที่เกิดขึ้นในบริเวณพื้นที่ของการอัด	5
2.3 ลักษณะความเค้นและการเปลี่ยนรูปของชิ้นงานจากการดัด	6
2.4 กราฟความสัมพันธ์ของอัตราส่วนการดัดตัวกลับและรัศมีการดัดต่อความหนาของชิ้นงานของรัศมีต่างๆ นิodic กัน	10
2.5 การดัดอย่างมีมากกว่าที่ต้องการ	12
2.6 คายรูปตัววีที่มีรอยนูน สำหรับการกดอัดกระแทก (Bottoming)	12
2.7 การยืดชิ้นงานก่อนดัดงอ (Stretch bending)	13
2.8 ลักษณะเส้นโค้งของแรงดัดงอ (Bending force curve)	14
2.9 ภาพหน้าตัดของงาน	16
2.10 ภาพหน้าตัดของโลหะแผ่น	16
2.11 คายดัดอยู่รูปตัววี	17
2.12 คายดัดอยู่รูปตัววีที่ทำเป็นเดินนูน และคายรูปตัววีที่ทำสันนูน 2 ด้าน	18
3.1 แผนผังแสดงขั้นตอนการศึกษาการดัดชิ้นรูปตัววี	22
3.2 มาตรฐานขนาดชิ้นงานทดสอบตามมาตรฐาน ASTM	24
3.3 ชิ้นงานสำหรับการทดสอบแรงดึง (Specimens)	24
3.4 เครื่องทดสอบ Universal Tensile Testing Machine	25
3.5 ลักษณะลิ่มยืดที่ใช้ชิ้นงานทดสอบ โดยการดึง	26
3.6 ลักษณะการประกอบลิ่มยืดชิ้นงานทดสอบกับเครื่องทดสอบ	27
3.7 แสดงลักษณะของชิ้นงานทดสอบที่เริ่มทำการทดสอบ	28
3.8 แสดงชิ้นงานขณะเริ่มทำการทดสอบ	29
3.9 ชิ้นงานทดสอบเกิดคอกด	29
3.10 ชิ้นงานทดสอบขาด	30
3.11 ชิ้นงานที่ผ่านกระบวนการทดสอบแรงดึงเรียบร้อยแล้ว	30
3.12 แสดงชุดแม่พิมพ์สำหรับการทดสอบ I ชุด	32
3.13 แสดงพื้นที่และปากกา.r รัศมี 10 mm	32

สารบัญภาพ (ต่อ)

ภาพที่	หน้า
การดัดขึ้นรูปตัววีสำหรับวัสดุเหล็กกล้าหกแรงดึงสูง	57
4.8 ทดสอบอิทธิพลของมุมพันซ์ 12.5 mm ที่ส่งผลต่อการเกิดการดีดตัวกลับของ การดัดขึ้นรูปตัววีสำหรับวัสดุเหล็กกล้าหกแรงดึงสูง	58
4.9 ทดสอบอิทธิพลของมุมพันซ์ 15 mm ที่ส่งผลต่อการเกิดการดีดตัวกลับของ การดัดขึ้นรูปตัววีสำหรับวัสดุเหล็กกล้าหกแรงดึงสูง	58
4.10 ทดสอบอิทธิพลของมุมพันซ์ 17.5 mm ที่ส่งผลต่อการเกิดการดีดตัวกลับของ การดัดขึ้นรูปตัววีสำหรับวัสดุเหล็กกล้าหกแรงดึงสูง	59
4.11 ทดสอบอิทธิพลของมุมพันซ์ 20 mm ที่ส่งผลต่อการเกิดการดีดตัวกลับของ การดัดขึ้นรูปตัววีสำหรับวัสดุเหล็กกล้าหกแรงดึงสูง	59
4.12 ทดสอบอิทธิพลของมุมพันซ์ 22.5 mm ที่ส่งผลต่อการเกิดการดีดตัวกลับของ การดัดขึ้นรูปตัววีสำหรับวัสดุเหล็กกล้าหกแรงดึงสูง	60
4.13 ทดสอบอิทธิพลของมุมพันซ์ที่ส่งผลต่อการเกิดการดีดตัวกลับของ การดัดขึ้นรูปตัววีสำหรับวัสดุเหล็กกล้าหกแรงดึงสูงที่รัศมีพันซ์ชายค่าต่าง ๆ	61
4.14 ทดสอบอิทธิพลของรัศมีปากตายที่ส่งผลต่อแรงที่ใช้ในการดัดขึ้นรูป ที่มุมพันซ์ และชายเท้ากับ 90 องศาและความเค้นครากเท้ากับ 400 N/mm^2 จากการจำลอง	62
4.15 ทดสอบอิทธิพลของรัศมีปากตายที่ส่งผลต่อแรงที่ใช้ในการดัดขึ้นรูป ที่มุมพันซ์ และชายเท้ากับ 90 องศาและความเค้นครากเท้ากับ 350 N/mm^2	63
4.16 ทดสอบอิทธิพลของรัศมีปากตายที่ส่งผลต่อแรงที่ใช้ในการดัดขึ้นรูปตัววีสำหรับ วัสดุเหล็กกล้าหกแรงดึงสูง จากการทดสอบ	64
4.17 ทดสอบการเปรียบเทียบระหว่างการจำลองและการทดลองอิทธิพลของรัศมีปากตาย ที่ส่งผลต่อแรงที่ใช้ในการดัดขึ้นรูปตัววีสำหรับวัสดุเหล็กกล้าหกแรงดึงสูง	65
4.18 ทดสอบการเปรียบเทียบระหว่างการจำลองและค่าทางทฤษฎีที่ความเค้นคราก ที่ส่งผลต่อแรง	66
ก.1 ทดสอบรัศมีค่าต่าง ๆ สำหรับการวิเคราะห์การจำลอง	79

รายการสัญลักษณ์ (ต่อ)

σ = ความเค็นหลักสูงสุด (N/mm²)

$\bar{\sigma}$ = ความเค็นสมมูล (N/mm²)



บทที่ 1

บทนำ

1.1 ความสำคัญและที่มาของปั๊มห่า

กระบวนการผลิตชิ้นส่วนหรือผลิตภัณฑ์ด้านต่าง ๆ เช่น อุตสาหกรรมยานยนต์ อุตสาหกรรมปิโตรเคมี อุตสาหกรรมการบิน ผู้ผลิตต้องคำนึงถึงความคุ้มค่าและประสิทธิภาพของ ชิ้นงานนั้นให้สามารถตอบสนองต่อความต้องการกับการใช้งานและความพึงพอใจของลูกค้า ผู้ผลิต ดังจะได้รับการยอมรับจากผู้ใช้ผลิตภัณฑ์เหล่านั้น กระบวนการผลิตทางอุตสาหกรรมหรืออุปกรณ์ เครื่องใช้ในชีวิตประจำวันของมนุษย์นั้น มีกระบวนการผลิตที่แตกต่างกันไปขึ้นอยู่กับรูปร่างและ ลักษณะการใช้งานของอุปกรณ์นั้น เช่น การผลิตล้อแม็ก เนื่องจากการใช้งานและมีความซับซ้อนใน รูปร่าง ผู้ผลิตจึงต้องเลือกวัสดุที่มีความแข็งแรง น้ำหนักเบาโดยการขึ้นรูปโดยการหล่อ (Casting) ใช้อลูминีียม (Aluminum) เป็นวัสดุในการผลิต การผลิตช้อน ผู้ผลิตนิยมเลือกใช้วัสดุเหล็กทอนแรง ดึงสูง(Stainless steel) เนื่องจากมีสมบัติที่แข็งแรงและทนต่ออุณหภูมิที่มีการเปลี่ยนแปลงจาก อุณหภูมิสูงมาต่ำหรืออุณหภูมิต่ำไปสูงอย่างรวดเร็ว และทำการขึ้นรูปด้วยกระบวนการบีบขึ้นรูป (Pressing Process) เป็นต้น ดังนั้นจะเห็นได้ว่า สมบัติของวัสดุ กรรมวิธีการผลิตและลักษณะการใช้ งานของผลิตภัณฑ์นั้นมีความสำคัญอย่างยิ่งสำหรับการวางแผนกระบวนการผลิตของผู้ผลิตให้เกิด ความคุ้มค่าและมีประสิทธิภาพตอบสนองความพึงพอใจของลูกค้าได้ ในปัจจุบันกรรมวิธีการขึ้นรูป โดยความสามารถแบ่งเป็นประเภทใหญ่ ๆ ได้ออกมาเป็น 2 ประเภทคือ การขึ้นรูปแบบเสียศษ (Cutting process) เช่น การกลึง การไส การกัด การเจียระใน เป็นต้น และการขึ้นรูปแบบไม่เสียศษ (Forming process) เช่น การหล่อ การตัด การทบขึ้นรูป เป็นต้น ข้อดีของกรรมวิธีการขึ้นรูปแบบไม่เสียศษมี หนึ่งกว่าแบบเสียศษ คือ หลังจากที่ชิ้นงานผ่านการขึ้นรูปแล้ว ไม่มีเศษเหลือตกค้าง ซึ่งเป็นการลด ค่าวัสดุที่เสียไปโดยเปล่าประโยชน์ สามารถลดต่ำใช้จ่ายและขั้นตอนในการกำจัดเศษอีกด้วย กรรมวิธีนี้จึงเป็นที่นิยมในการขึ้นรูปโดยทั่วไป หนึ่งในกรรมวิธีการขึ้นรูปแบบไม่เสียศษที่ได้รับ ความนิยมจากผู้ผลิตในปัจจุบันคือ การตัดขึ้นรูป (Bending) ในที่นี้จะได้กล่าวถึงการตัดขึ้นรูปตัววี (V-Bending) การตัดขึ้นรูปตัววีเป็นกรรมวิธีที่สามารถกำหนดคุณค่าของแม่พิมพ์และแรงที่ใช้ในการตัด เพื่อให้ได้มุมที่ต้องการและไม่เกิดการเสียหายหรือแตกหักของชิ้นงานและแม่พิมพ์ การ เกิดการตัดตัวกลับเนื่องจากคุณสมบัติของวัสดุและขนาดของแม่พิมพ์ จึงต้องมีการศึกษาการตัดขึ้น รูปตัววีสำหรับวัสดุเหล็กทอนแรงดึงสูง ในเรื่องของแรงที่ใช้ในการตัดและการเกิดการตัดตัวกลับ

ของชิ้นงานหลังจากการตัด เพื่อใช้เป็นข้อมูลในการออกแบบแม่พิมพ์ให้มีความเหมาะสมและสอดคล้องกับขนาดของชิ้นงานที่ผู้ออกแบบต้องการ การออกแบบแม่พิมพ์ที่ถูกต้องสามารถช่วยลดค่าใช้จ่ายของผู้ผลิตเอง ซึ่งการลดค่าใช้จ่ายที่สูญเปล่านั้นสามารถตอบสนองความต้องการและสร้างความพึงพอใจให้แก่ผู้ผลิต

1.2 วัตถุประสงค์ของโครงการวิจัย

- 1.2.1 เพื่อศึกษาการเกิดการดีดตัวกลับของชิ้นงานคัดขึ้นรูปสำหรับวัสดุเหล็กทันแรงดึงดูด
- 1.2.2 เพื่อศึกษาตัวแปรและแรงที่มีผลต่อการดีดขึ้นรูปสำหรับวัสดุเหล็กทันแรงดึงดูด

1.3 ขอบเขตของโครงการวิจัย

- 1.3.1 วัสดุสำหรับทำการวิจัย วัสดุเหล็กทันแรงดึงดูด ตามมาตรฐาน JIS 420
- 1.3.2 ใช้แม่พิมพ์รูปตัววี โดยใช้รัศมีพื้นที่ด้วยเท่ากัน 10, 12.5, 15, 17.5, 20 และ 22.5 mm
- 1.3.3 ใช้แม่พิมพ์รูปตัววี โดยใช้รัศมีพื้นที่ด้วยเท่ากัน 30, 60, 90 และ 120 องศา
- 1.3.4 จำลองการทำงานบนเครื่องคอมพิวเตอร์โดยใช้โปรแกรม MSC. Marc 2008
- 1.3.5 การจำลองตั้งอยู่บนสมมติฐาน พื้นที่ด้วย เป็นวัสดุแข็งเกร็ง พฤติกรรมของวัสดุเป็นแบบยึดหยุ่นพลาสติก
- 1.3.6 วิเคราะห์และเบรยนเทียบผลของการรัศมีพื้นที่และรัศมีปากดายที่ส่งผลต่อแรงและการเกิดการดีดตัวกลับจากการจำลองและทดสอบ
- 1.3.7 วิเคราะห์ผลของความเค้นกรากและรัศมีพื้นที่ด้วยที่ส่งผลต่อแรงและการเกิดการดีดตัวกลับจากการจำลอง
- 1.3.8 สรุปผลการวิจัย

1.4 วิธีการดำเนินการวิจัย

เพื่อให้วิธีการดำเนินการวิจัยเป็นไปตามขอบเขตของโครงการวิจัย จะต้องออกแบบวิธีการดำเนินการวิจัยให้สอดคล้องกับขอบเขตของโครงการวิจัย โดยได้กำหนดแผนการดำเนินงานตั้งแต่การเตรียมพร้อมสำหรับการทดลองและจำลอง การดำเนินการจำลองและทดลอง การเบรยนเทียบผลการทดลองและการทดลองจนถึงขั้นตอนสุดท้ายคือการสรุปผลการวิจัย ไว้ดังต่อไปนี้ คือ

- 1.4.1 ทำการศึกษาเนื้อหา ทฤษฎีและงานวิจัยที่เกี่ยวข้องกับสมบัติของวัสดุและกระบวนการคัดขึ้นรูปตัววี

1.4.2 ออกแบบชิ้นงานสำหรับการทดลองและออกแบบการประยุกต์ใช้กับกระบวนการคัดขึ้นรูปโดยไฟไนต์เอลิเมนต์

1.4.3 วางแผนการทดลอง (Experiments)

1.4.4 วางแผนการจำลอง (Simulations)

1.4.5 จัดซื้อวัสดุและอุปกรณ์เพื่อผลิตชิ้นงานทดสอบ

1.4.6 สร้างชิ้นงานทดสอบและชิ้นส่วนต่าง ๆ เพื่อทำการทดลอง (Experiments) การศึกษาแรงที่ใช้ในการคัดขึ้นรูป การเกิดการดีดตัวกลับ (spring-back) หลังจากการคัดขึ้นรูปตัววีสำหรับวัสดุเหล็กทันแรงดึงสูง

1.4.7 ทำการทดลอง (Experiments) ตามแผนการทดลองที่วางแผนไว้

1.4.8 สร้างชิ้นส่วนสำหรับการจำลอง (Simulations) การทำงานบนเครื่องคอมพิวเตอร์โดยใช้โปรแกรม MSC. Marc 2008 ตามแผนการจำลองที่วางแผนไว้

1.4.9 จัดเก็บข้อมูลการทดลองและการจำลอง

1.4.10 เปรียบเทียบผลของรัศมีพันธ์และรัศมีปากดาษที่ได้จากการทดลอง (Experiments) และการจำลอง(Simulations) ที่ส่งผลต่อแรงและการเกิดการดีดตัวกลับของวัสดุชิ้นงานหลังการคัดขึ้นรูปตัววี

1.4.11 วิเคราะห์ผลของมุมพันธ์คายและความเค้นครากจากการจำลอง (Simulations) ที่ส่งผลต่อแรงและการเกิดการดีดตัวกลับของวัสดุชิ้นงานหลังการคัดขึ้นรูปตัววี

1.4.12 วิเคราะห์และสรุปผลการทดลอง

1.5 ประโยชน์ที่คาดว่าจะได้รับ

1.5.1 ช่วยลดขั้นตอนในการออกแบบกระบวนการผลิต อันเนื่องมาจากการออกแบบแม่พิมพ์ที่ไม่ถูกต้อง

1.5.2 ช่วยประหยัดต้นทุนในการผลิต อันเนื่องมาจากการลดลงพิเศษของกระบวนการออกแบบแม่พิมพ์

1.5.3 ทราบถึงอิทธิพลของตัวแปรต่าง ๆ ที่ส่งผลต่อแรงที่มีผลต่อการคัดขึ้นรูปสำหรับวัสดุเหล็กทันแรงดึงสูง

1.5.4 ทราบถึงอิทธิพลของตัวแปรต่าง ๆ ที่ส่งผลต่อการเกิดการดีดตัวกลับของชิ้นงานคัดขึ้นรูปสำหรับวัสดุเหล็กทันแรงดึงสูง

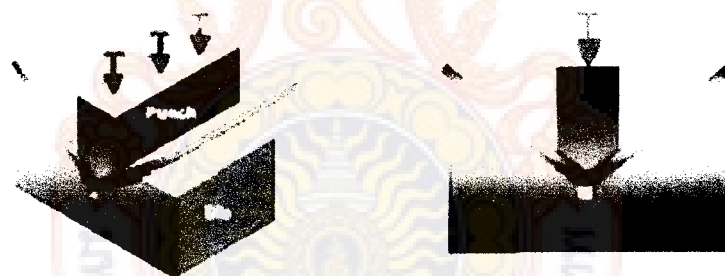
1.5.5 ใช้เป็นฐานข้อมูลประกอบการศึกษาในภาครัฐและเอกชน

บทที่ 2

ทฤษฎีและงานวิจัยที่เกี่ยวข้อง

2.1 ทฤษฎีที่เกี่ยวข้อง

การดัดขึ้นรูป (Bending) คือ การดึงตัวของโลหะรูปแบบหนึ่ง โดยส่วนมากจะงอโลหะแผ่น (Strip) หรือชิ้นงานแบน (Flat Sheet) ใน การดัดขึ้นรูปโดยจะกระทำการดัดกรอบแกนกลางซึ่งอยู่ในระนาบทิศทางตามแนวยาวของแผ่นโลหะ โลหะจะเกิดการไอลตัวอยู่ในช่วง การเปลี่ยนแปลงรูปร่างอย่างถาวรเนื่องจากแรงที่ใช้ในการดัดงอแผ่นโลหะทำให้เกิดความเค้นมากกว่าจุดคราก (Yield Point) ของชิ้นงานนั้นชิ้นงานจึงสามารถสภาพอยู่ได้แม้จะถูกแรงที่กระทำออกกิตาม แต่ความเค้นที่เกิดขึ้นจะต้องต่ำกว่าความเค้นทางดึงสูงสุด (Ultimate Tensile Strength) ของชิ้นงานนั้นเพื่อป้องกันการฉีกขาด ซึ่งรูปที่ 2.1 แสดงชุดแม่พิมพ์ดัดขึ้นรูปชิ้นงาน แสดงตัวอย่างการทำงานของแม่พิมพ์ดัดขึ้นรูปปีกงาน (ไม่ระบุขนาด)



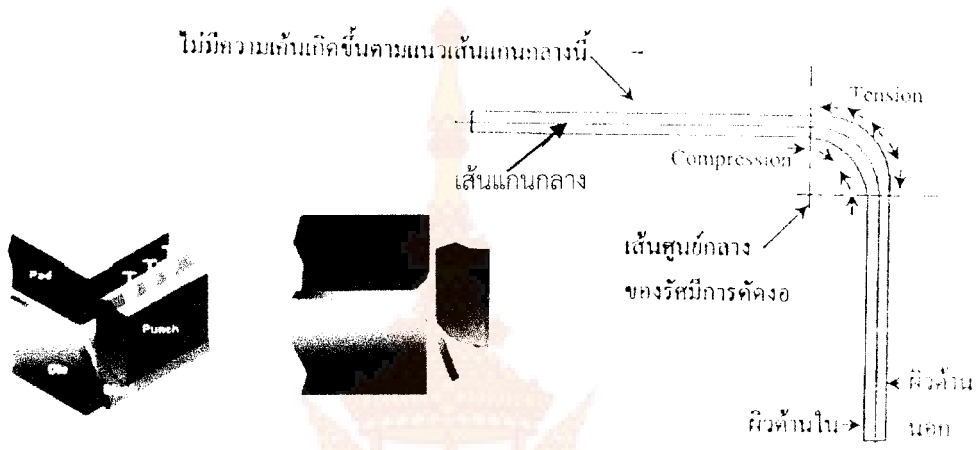
รูปที่ 2.1 แสดงตัวอย่างการดัดของชิ้นงานบนแม่พิมพ์ดัดขึ้นรูปปีกงาน

ในระหว่างการดัดงอ พื้นที่ส่วนหนึ่งของชิ้นงานจะถูกยึดด้วยแผ่นกดชิ้นงาน (Pressure Plate) ซึ่งเรียกว่า Pad พื้นที่ส่วนที่เหลือจะเคลื่อนที่ขึ้นหรือลงตามรูปร่างที่ต้องการ การที่ชิ้นงานเคลื่อนที่ผ่านช่องว่างของชายนี้ เรียกว่า การเหวี่ยงตัวของชิ้นงาน (Swinging)

2.1.1 เส้นแกนกลาง (Neutral Axis)

ความเค้นที่เกิดขึ้นจากการดัดงอชิ้นงานจะเป็นความเค้นของโลหะเฉพาะที่ กล่าวคือ ความเค้นจะเกิดขึ้นตรงบริเวณรัศมีของการดัดงอเท่านั้น โดยที่ผิวด้านในของรัศมีการดัดจะเกิดการอัดตัว (Compression) ส่วนที่ผิวด้านนอกจะเกิดการดึงตัว (Tension) ซึ่งจากการกระเจิงตัว

ของความเค้นจะเกิดความเค้นมากที่สุดบริเวณขอบด้านนอกหั้งสองข้างของความหนาชั้นงาน แล้วค่อยๆ ลดลงเมื่อเข้าใกล้แกนกลางของความหนาชั้นงาน จนเกิดความเค้นเป็นศูนย์เรียกว่าบริเวณที่ไม่มีความเค้นเกิดขึ้นนี้ว่า “เส้นแกนกลาง” (Neutral Axis) ซึ่งเป็นเส้นที่แสดงความยาวที่แท้จริงของชั้นงาน โดยจะใช้ความยาวต่างนี้มาหาขนาดของชั้นงานก่อนนำมาทำการดัดงอ ดูรูปที่ 2.2

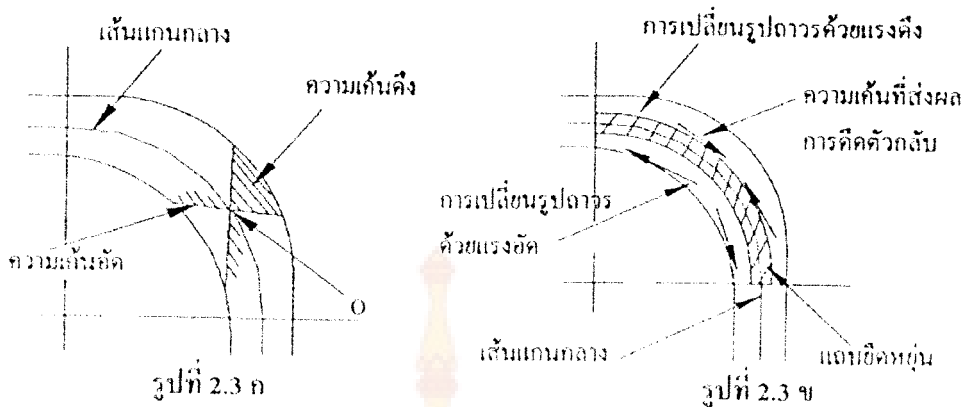


รูปที่ 2.2 ความเค้นที่เกิดขึ้นในบริเวณพื้นที่ของการดัดงอ

ลักษณะของเส้นแกนกลางจะเป็นไปดังต่อไปนี้

- มีความเค้นเป็นศูนย์ (Zero Stress) และอยู่ที่จุดกึ่งกลางของความหนาของแผ่นโลหะ
- ถ้าความหนาของแผ่นโลหะคงที่และรัศมีของการดัดงอเพิ่มขึ้น เส้นแกนกลางจะเลื่อนตัวเข้าไปใกล้ด้านที่เกิดการดึงตัว (Tension Side)
- ถ้าความหนาของแผ่นโลหะคงที่และรัศมีของการดัดงอลดลง เส้นแกนกลางจะเลื่อนตัวเข้าไปใกล้ด้านที่เกิดการอัดตัว (Compression Side)

จะเห็นได้ว่าบริเวณผิวด้านในจะถูกอัดตัว ในทางกลับกันที่ผิวด้านนอกจะยืดตัวออก โดยระหว่างผิว 2 ด้านนี้จะเกิดระนาบที่ไม่มีการอัดหรือดึงตัวเกิดขึ้น เรียกว่า เส้นแกนกลาง โดยเมื่อมีการดัดงอ ความเค้นในผิวทั้งด้านนอกและด้านในจะเกิดการด้านทานกันขึ้น โดยปกติความแข็งแรงในบริเวณที่ได้รับแรงอัดจะมากกว่าบริเวณที่รับแรงดึงเค้นในผิวทั้งด้านนอกและด้านในจะเกิดการด้านทานกันขึ้น โดยปกติความแข็งแรงในบริเวณที่ได้รับแรงอัดจะมากกว่าบริเวณที่รับแรงดึง แต่ความเค้นบริเวณด้านในของชั้นงานนั้นจะไม่ถึงจุดยึดหยุ่นจำกัด ดังนั้น บริเวณด้านในของชั้นงานจะพยายามกลับคืนสู่สภาพเดิม ดังแสดงในรูปที่ 2.3



รูปที่ 2.3 ลักษณะความเค็นและการเปลี่ยนรูปของชิ้นงานจากการดัด

(ก) แสดงความเค็นที่เกิดขึ้นในงานดัดขึ้นรูป

(ข) แสดงการเปลี่ยนรูปของ การดัด

สำหรับตำแหน่งของเส้นแกนกลางจะอยู่ในตำแหน่งที่แตกต่างกันขึ้นอยู่กับความหนาของชิ้นงาน โดยคิดจากเปอร์เซ็นต์ความหนาของแผ่นชิ้นงาน ดังนี้

1. สำหรับโลหะแผ่นบางหรือรัศมีการดัดกว้าง เส้นแกนกลางจะอยู่ที่ตำแหน่ง 50% ของความหนาชิ้นงาน
2. สำหรับโลหะแผ่นที่มีความหนา 0.8-2.3 มิลลิเมตร เส้นแกนกลางจะอยู่ที่ตำแหน่ง 40% ของความหนาชิ้นงาน
3. สำหรับโลหะแท่งหรือโลหะหนา เส้นแกนกลางจะอยู่ที่ตำแหน่ง 35% ของความหนาชิ้นงาน

2.1.2 การไหลของโลหะในการดัดงอขึ้นรูป (Metal Flow for Bending)

เนื่องจากบริเวณการดัดมีความเค็น (Stress) เกิดขึ้นและทำให้เกิดการไหลตัวของโลหะโดยเมื่อความเค็นดึง (Tensile Stress) เพิ่มสูงขึ้นจะทำให้ความหนาของชิ้นงานบริเวณการดัดลดลง ส่วนความเค็นอัดจะทำให้เกิดการไหลตัวของวัสดุไปเพิ่มความกว้างของชิ้นงานในบริเวณที่เกิดการดัด อัตราของการไหลตัว เช่นนี้ทำให้เกิดการบิดของทางพื้นที่หน้าตัดมาก แต่ในการดัดโลหะแผ่นจะไม่เกิดการบิดมากนัก และความกว้างของชิ้นงานจะไม่เพิ่มขึ้น เนื่องจากความกว้างของชิ้นงานมากกว่าความหนาหลายเท่าทำให้เกิดการต้านทานการเพิ่มตัวของโลหะจากแรงอัดทำให้ความเค็นอัดไปเพิ่มทางด้านการดึงตัว ซึ่งทำให้ความหนาของชิ้นงานเก็บจะไม่เปลี่ยนแปลง

ซึ่งสามารถอธิบายความสัมพันธ์ของอัตราส่วนระหว่างความกว้างต่อความหนาของชิ้นงานโลหะ แผ่นได้ดังนี้

- อัตราส่วนระหว่างความกว้างต่อความหนามาก จะเกิดการฉีกขาดได้ง่าย
- อัตราส่วนระหว่างความกว้างต่อความหนาน้อย จะเกิดรอยย่น นอกจากนี้ขนาดของการไฟล์ตัวของโลหะจะมีความสัมพันธ์กับสิ่งต่างๆ ต่อไปนี้อีกด้วย คือ บุนของการดัดงอ (Degree of Bending)
 - การดัดงอช่วงแคบ (Narrow Bend) จะทำให้การไฟล์ตัวของโลหะเนื่องจากแรงดึงมีน้อย แต่การไฟล์ตัวของโลหะเนื่องจากแรงอัดมีมาก และในทางกลับกันการดัดงอช่วงกว้าง (Wide Bend) จะทำให้การไฟล์ตัวของโลหะเนื่องจากแรงดึงมีมาก แต่การไฟล์ตัวของโลหะเนื่องจากแรงอัดมีน้อย
 - โลหะแข็งจะมีการไฟล์ตัวของโลหะทางด้านการดึงตัวมาก และทำให้เกิดการฉีกขาดได้ง่าย ส่วนโลหะอ่อนจะมีการไฟล์ตัวของโลหะทางด้านการอัดตัวมากและจะเกิดรอยย่นได้ง่าย

2.1.3 ความเครียดในการดัดงอ (Strain in Bending)

การทำนายความเครียด (Strain) เนื่องมาจากการดัดงอเป็นสิ่งสำคัญในการออกแบบ ขั้นตอนการดัดงอและการปฏิบัติงาน เราจึงต้องผลิตชิ้นงานให้มีความเครียดอยู่ในช่วงการเปลี่ยนรูปถาวร แต่ความเครียดจะต้องน้อยกว่าความเครียดสูงสุด (Ultimate Tensile Stress) ซึ่งถ้าตัดชิ้นงานจนทำให้ชิ้นงานเกิดการเปลี่ยนรูปเกินความคื้นสูงสุดจะทำให้วัสดุนั้นขาด และความเครียด

ของแต่ละวัสดุนั้นจะมีผลต่อการดีดตัวกลับ โดยใช้อัตราส่วนระหว่าง $\frac{R}{t}$ เมื่อ R คือรัศมีดัดของ Punch และ t คือความหนาของแผ่นงานมาอธิบายการเปลี่ยนแปลงรูปร่างในการดัดงอ โลหะแผ่นได้

ค่าความเครียดได้จากความยาวที่เปลี่ยนแปลงไป ดังนี้

$$\epsilon = \frac{(l_f - l_o)}{l_o} = \frac{l_f}{l_o} - 1 \quad (2.1)$$

เนื่องจากความยาวของเส้นแกนกลางมีค่าคงที่ ดังนี้จะใช้เส้นแกนกลางในการคำนวณ โดย

$$l_o = (R + \frac{t}{2})a \quad (2.2)$$

$$l_f = (R + t)a \quad (2.3)$$

เมื่อ	l_f	คือ ความยาวหลังการดัดงอ
	l_o	คือ ความยาวก่อนการดัดงอ
	R	คือ รัศมีการดัดงอ
	t	คือ ความหนาชิ้นงาน
	a	คือ มุมของการดัดงอ

$$\text{ดังนั้น } \varepsilon = \frac{[(R+t)a]}{\left[\left(R + \frac{t}{2}\right)a\right]} - 1 = \frac{1}{\left(\frac{2R}{t}\right) + 1} \quad (2.4)$$

ถ้าเส้นแกนกลางเลื่อนไป การยึดตัวที่ผิวนอกพิวในจะแตกต่างกันตามค่า ε ความแตกต่างระหว่าง การยึดตัวของผิวนอกและพิวในจะเพิ่มขึ้นถ้าหากลดลง ทั้งนี้ขึ้นอยู่กับรูปร่างในการดัดงอ

2.1.4 การดีดตัวกลับ (Spring back)

หลังจากดัดงอชิ้นงานและทำการปล่อยแรง (Unload) ออกจากแผ่นงานแล้ว จะเกิดความ เค้นขึ้นที่บริเวณการดัดงอ โดยความเค้นที่เกิดขึ้นจะไม่เท่ากันทุกจุด เป็นผลทำให้เกิดการดีดตัวกลับ ของชิ้นงาน (Spring back) โดยการดีดตัวกลับจะมีค่ามากน้อยแตกต่างกันออก ไปขึ้นอยู่กับตัวแปร และค่ากำหนดต่าง ๆ ดังนี้

- ช่องว่างระหว่างแม่พิมพ์ (Clearance)
- รัศมีแม่พิมพ์ที่ใช้ดัดชิ้นงาน (Punch Radius, Die Radius)
- ความหนาของแผ่นงาน (Thickness)
- คุณสมบัติของวัสดุ (Material Properties) ประกอบด้วย

E - Young's Modulus

σ_y - Yield Stress

σ_u - Ultimate Stress

ν - Poisson's Ratio

โดยได้มีการศึกษาอิทธิพลของตัวแปรที่ส่งผลต่อการดีดตัวกลับของโลหะแผ่นเดียวและผล การศึกษาได้แสดงดังตารางที่ 2.1

ตารางที่ 2.1 ตัวแปรต่าง ๆ ที่ส่งผลต่อการดีดตัวกลับ

ตัวแปรที่ส่งผลต่อการดีดตัวกลับ	การดีดตัวกลับ
วัสดุมีความแข็งแรงสูง (Higher Material Strength)	มาก
วัสดุบาง (Thinner Material)	มาก
มอดูลัสยืดหยุ่นต่ำ (Lower Young's Modulus)	มาก
ดัดวัสดุที่มุมดัดมาก ๆ (Larger Die Radius)	มาก
ใช้ช่องว่างระหว่างแม่พิมพ์ในการดัดมาก (Greater Wipe Steel Clearance)	มาก
ความเรียบผิวหรือแรงเสียดทาน (μ) มาก (flatter part surface)	มาก

นอกจากนี้ยังสามารถสร้างกราฟความสัมพันธ์ระหว่างการดีดตัวกลับในรูปของ Spring back Factor กับอัตราส่วนของรัศมีการดัดของ Punch (r_{ir}) ต่อความหนาของแผ่นดัด (S_0) ดังแสดงในรูปที่ 2.4

โดยสมการคำนวณหาอัตราส่วนการดีดตัวกลับในชิ้นงานโลหะแผ่น คือ

$$k_R = \frac{\alpha_r}{\alpha} = \frac{r_i + S_0/2}{r_{i,r} + S_0/2} \quad (2.5)$$

เมื่อ

k_R - Springback Factor

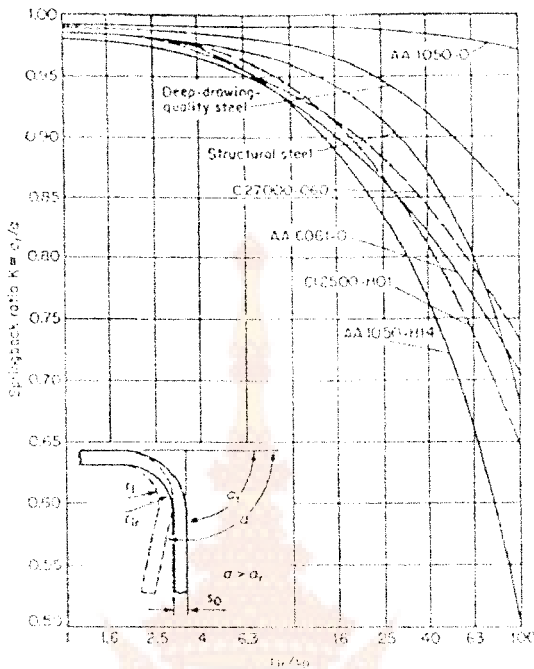
α_r - มุมดัดของแม่พิมพ์ (องศา)

α - มุมดัดของชิ้นงานที่ได้หลังจากเกิดการดีดตัวกลับ (องศา)

r_i - รัศมีดัดที่ได้ของชิ้นงานเมื่อเกิดการดีดตัวกลับ (mm)

$r_{i,r}$ - รัศมีดัดของพันช์ (mm)

S_0 - ความหนาของแผ่นเปล่า (mm)



รูปที่ 2.4 กราฟความสัมพันธ์ของอัตราส่วนการดีดตัวกลับและรัศมีการดัดต่อความหนาของชิ้นงานของวัสดุต่างชนิดกัน

ในการศึกษาพฤติกรรมของการดีดตัวกลับในกรรมวิธีการดัดขึ้นรูปโลหะนั้น ค่าหรือตัวบ่งชี้ที่ใช้ในการดีดตัวกลับในวัสดุคือ ค่าอัตราส่วนการดีดตัวกลับ ซึ่งสามารถคำนวณการดีดตัวกลับได้ตามสมการข้างบน โดยค่าอัตราส่วนการดีดตัวกลับจะเป็นค่าที่แสดงถึงความแตกต่างระหว่างนูนดัดที่ได้กับนูนดัดที่ต้องการ

นอกจากวิธีการคำนวณแล้วยังสามารถทำนายการดีดตัวกลับที่จะเกิดขึ้นได้จากการใช้รูปที่ 2.4 มาใช้เพื่อศึกษาลักษณะของการดีดตัวกลับที่จะเกิดขึ้นได้อีกด้วยเพียงแต่ว่าจากรูปที่ 2.4 จะเป็นกราฟการดีดตัวกลับของโลหะแผ่นเดียวซึ่งถึงแม้ว่าแนวโน้มการดีดตัวกลับอาจจะมีความสอดคล้องกันอยู่บ้างคือ ถ้าใช้อัตราส่วนของรัศมีการดัดต่อความหนาแผ่นเปล่า ($\frac{R_e}{S_0}$) สูง ๆ จะส่งผลให้การดีดตัวกลับเกิดขึ้นมาก

แต่ถ้ามีข้อแตกต่างกันอยู่คือในกรณีที่ต้องการทำนายผลการดีดตัวกลับของโลหะแผ่นในของโลหะแผ่นช้อนโดยเทียบจากการดีดตัวกลับของแผ่นเดียวที่ความหนาแผ่นเท่ากัน โดยจากการทดสอบดัดขึ้นรูปจริงพบว่าการดีดตัวกลับของโลหะแผ่นเดียวเมื่อเทียบกับโลหะแผ่นในที่นำมาช้อนแห่งกัน โลหะแผ่นเดียวจะเกิดการดีดตัวกลับมากกว่าโลหะแผ่นในที่นำมาช้อนแห่งกันเนื่องจากเกิดความเคลื่อนไหวในการเปลี่ยนรูปในช่วงพลาสติก (Plastic Deformation) ต่ำกว่า ทั้งนี้ เพราะโลหะแผ่นเดียวใช้แรงในการดัดต่ำกว่าโลหะแผ่นในที่นำมาช้อนแห่งกับโลหะแผ่นนอกชิ้น

หนากว่า เช่น ในการดัดโลหะแผ่นช้อนที่อัตราส่วนความหนาแน่นใน 1 มิลลิเมตรต่อแผ่นนอกหนา 2 มิลลิเมตร เปรียบเทียบกับการดัดโลหะแผ่นเดียวความหนา 1 มิลลิเมตร ถ่างผลให้โลหะแผ่นช้อนด้านในรับแรงจากการดัดมากจึงเกิดการเปลี่ยนรูปสูงกว่าโลหะแผ่นเดียว

นอกจากนี้เมื่อเปรียบเทียบการดีดตัวกลับของโลหะแผ่นนอกซึ่งนำมาช้อนแผ่นกับโลหะแผ่นเดียวพบว่าการดีดตัวกลับของแผ่นโลหะแตกต่างต่างกัน โดยโลหะแผ่นนอกซึ่งนำมาช้อนแผ่นจะเกิดการดีดตัวกลับต่ำกว่าโลหะแผ่นเดียวที่นำมาดัด ทั้งนี้เพราะถึงแม้ว่าจะเพื่อรักมีดัดของโลหะแผ่นเดียวโดยในกรณีที่ดัดโลหะแผ่นช้อน (แผ่นนอก 2 มิลลิเมตร ต่อ แผ่นใน 1 มิลลิเมตร) ด้วยรัศมีการดัดของพื้นที่ที่ 6 มิลลิเมตร จะเพื่อรักมีพื้นที่ใช้ดัดลดลงวัสดุโลหะแผ่นเดียวเข้าไปอีกตามความหนาของโลหะแผ่นช้อนแผ่นใน คือ 7 มิลลิเมตรเพื่อให้มีพฤติกรรมการดัดเหมือนกับการเปลี่ยนรูปของโลหะแผ่นนอกซึ่งนำมาช้อนแผ่นแล้วทำการดัด แต่ในระหว่างการดัดโลหะแผ่นช้อนนอกจะถูกดัดด้วยรัศมีดัดที่ลดลงทั้งนี้เนื่องจากโลหะแผ่นในเมื่อถูกดัดความหนาของแผ่นโลหะบริเวณรัศมีการดัดจะลดลงจึงทำให้อัตราส่วนของรัศมีการดัดต่อความ

หนาแน่นเปล่า ($\frac{S_1}{S_0}$) ลดต่ำลง เมื่อเปรียบเทียบกับรูปที่ 4 จึงพบว่าการดีดตัวกลับจะลดลงและมี

ค่าน้อยกว่าการดีดตัวกลับของโลหะแผ่นเดียวซึ่งถูกดัดโดยตรงจากรัศมีพื้นที่คงที่ ดังนั้นในการทำงานยกการดีดตัวกลับในงานดัดโลหะแผ่นช้อนของโลหะทั้งแผ่นนอกและแผ่นในสำหรับการดัดขึ้นรูปงานแผ่นช้อนต่อไป

2.1.5 การป้องกันการดีดตัวกลับของโลหะ (Counteracting spring back)

การป้องกันการดีดตัวกลับมีหลายวิธีอยู่ด้วยกันอย่าง 3 วิธี คือ

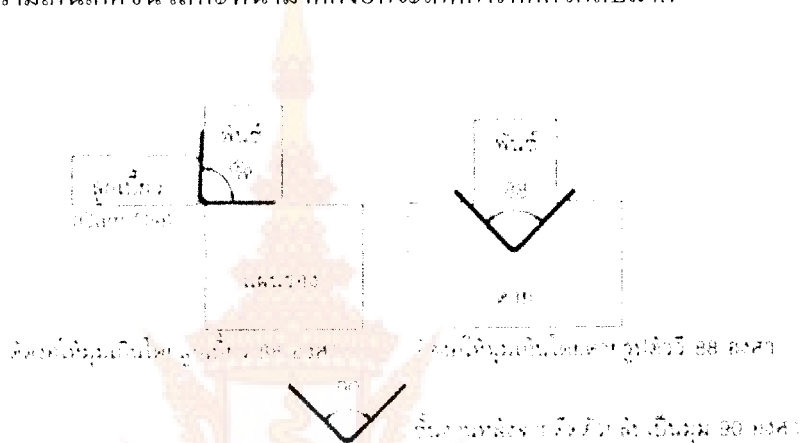
- การดัดงอให้มากกว่าที่ต้องการ (Over bending)
- การกดอัดกระแทก (Bottoming)
- การยืดชิ้นงานก่อนดัดงอ (Stretch bending)

1. การดัดงอให้มากกว่าที่ต้องการ (Over bending) เป็นการดัดงอโลหะให้มุมมากกว่าที่ต้องการเมื่อพื้นที่เคลื่อนที่กกลับ จะทำให้โลหะชิ้นงานดีดกลับเล็กน้อยได้เท่านั้นที่ต้องการพอเดียว การตัดงอมุมให้มากอาจทำได้โดยถูกเบี้ยว (Cam) โดยการสร้างแม่พิมพ์ให้มุมเล็กกว่าที่ต้องการเล็กน้อยก็ได้

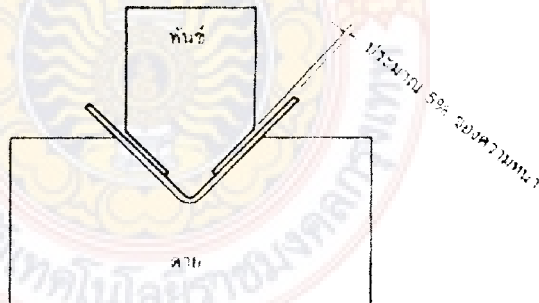
2. การกดอัดกระแทก (Bottoming) เป็นวิธีการใช้พื้นที่กดอัดกระแทกอย่างแรงที่บริเวณพื้นที่ของรัศมีการดัดงอ ทำให้พื้นที่บริเวณนี้ได้รับความเค้นมากกว่าจุดครากตัว เป็นผลทำให้

โลหะบริเวณนี้เปลี่ยนรูปอย่างถาวร ป้องกันมิให้เกิดการดีดตัวกลับ แต่ไม่สามารถป้องกันการดีดตัวกลับได้หมด 100% จะขังคงมีการดีดตัวกลับเหลืออยู่หลังเล็กน้อย

สำหรับการดัดงอด้วยด้ายรูปตัววี (V-Die) จะทำรอยนูน (Bend) ขึ้นมาที่พื้นที่เพื่อช่วยให้การดีดตัวกลับหมดไปในกรณีแม่พิมพ์ดัดงอที่มีแผ่นรอง (Pad) จะต้องกดยัดกระแทกให้แผ่นรองกดอัดกระแทกจนติดกับแผ่นรองหลัง (Back plate) เพื่อให้โลหะถูกอัดให้เข้ารูป ถ้าไม่มีการกดอัดกระแทกก็จะไม่มีความเกินเกิดขึ้น โลหะที่นำมาดัดงอก็จะเกิดการดีดตัวกลับมาก



รูปที่ 2.5 การดัดงอให้มุมมากกว่าที่ต้องการ



รูปที่ 2.6 ด้ายรูปตัววีที่มีรอยนูน สำหรับการกดอัดกระแทก (Bottoming)

การปั๊มกดอัดกระแทกจะต้องควบคุมแรงอย่างระมัดระวัง เพราะแรงจะมีอัตราการเพิ่มขึ้นอย่างรวดเร็ว ถ้าไม่ระมัดระวังได้ชิ้นงาน 2 ชิ้น ข้อนกันเข้าไปในแม่พิมพ์ก็จะทำให้แม่พิมพ์อัดติดกัน หรือแม่พิมพ์แตกเสียหาย ในการปั๊มกดอัดกระแทกพื้นที่ใหญ่จะต้องใช้เครื่องปั๊ม (Press) ที่มีกำลังอัดสูง

3. การยืดชิ้นงานก่อนดัดงอ (Stretch bending) เป็นการยืดชิ้นงานให้ชิ้นงานเกิดความเค้น จนผ่านขีดจำกัดหยุ่น (Elastic limit) จากนั้นใช้แรงกดชิ้นงานลงบนพื้นซึ่งให้ได้ชิ้นงาน ออกตามรูปร่างของพื้นซึ่งวิธีนี้ช่วยลดการดีดตัวกลับ (Spring back)



รูปที่ 2.7 การยืดชิ้นงานก่อนดัดงอ (Stretch bending)

เหมาะสมกับการขึ้นรูปชิ้นงานศิลป์ และงานที่ผลิตจำนวนน้อย (Low volume production) การขึ้นรูปวิธีนี้ไม่สร้างความเค้น ให้เกิดที่โลหะแผ่นเกินค่าความแข็งแรงดึงสูงสุด โลหะแผ่นเกินค่าความแข็งแรงดึงสูงสุด โลหะแผ่นจะต้องมีความแข็งแรงสม่ำเสมอ (Uniform strength) ไม่มีจุดอ่อนแอบเสียหายอันจะเป็นเหตุให้เกิดการฉีกขาด การขึ้นรูปวิธีนี้จะประหยัด เพราะจะใช้แต่พื้นที่เท่านั้น ไม่จำเป็นต้องสร้างดาย

2.1.6 ความแข็งแรงดึงและแรงกดอัดกระแทก (Tensile strength and Bottoming pressure)

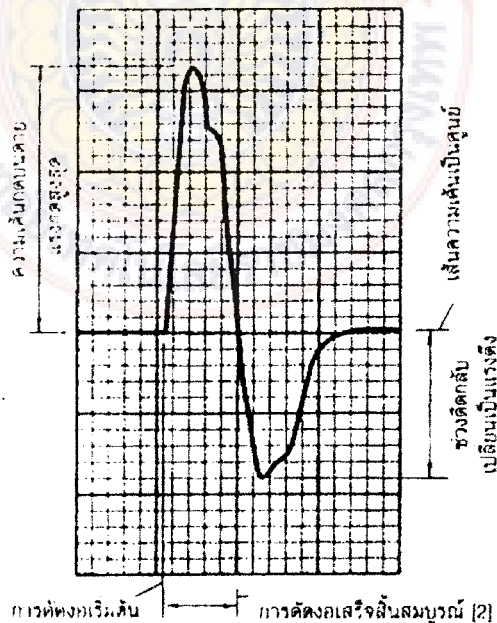
การขึ้นรูปโลหะ (Forming) จะมีความเค้นเกิดที่โลหะ 2 ชนิด คือ ความเค้นดึงและความเค้นอัดซึ่งมีความจำเป็นที่จะต้องรู้ความแข็งแรงดึงของโลหะชนิดต่าง ๆ ซึ่งตารางต่อไปนี้ จะแสดงค่าความแข็งแรงดึงของโลหะชนิดต่าง ๆ โดยประมาณ เพื่อใช้เป็นข้อมูลเบื้องต้นในการคำนวณแรงดึง ๆ

2.1.7 ลักษณะเส้นโค้งของแรงดัดงอ (Characteristic bending force curve)

ในการวัดแรงที่จำเป็นในการดัดงอทำได้โดยใช้เกจวัดจากความเครียด (Strain gages) ติดตั้งเข้าไปที่ดาย โดยไม่ให้แรงของแผ่นกดชิ้นงาน (Pad) เข้ามาเกี่ยวข้อง ให้เหลือแต่เพียงแรงดัดงอ (Bending force) เพียงอย่างเดียว ถ้าติดเกจโดยตรงที่พื้นซึ่งเมื่อมีการวัดแรงจะรวมเอาแรงของแผ่นรองเข้าไปด้วยซึ่งต้องระวังให้ดี ลักษณะเส้นเส้นโค้งของแรงดัดงอแสดงในรูปที่ 10

แรงดึงจะเพิ่มขึ้นมากที่สุดทันทีทันใดภายหลังเมื่อพันธ์สัมผัสโลหะแผ่น แรงนี้เปรียบเหมือนความเค้นกดที่เกิดขึ้นในด้าย เมื่อพันธ์เคลื่อนที่ต่อไปจนผ่านดயกลับไปแสดงว่าการดึงอเร็จสีนสมบูรณ์ ณ จุดนี้ความเค้นกดก็จะถอยทันที แผ่นดาย ก็จะดีดตัวกลับ (Snap back) โดยทันทีเช่นกันจนความเค้นอัดมีค่าเป็นศูนย์เดียวเปลี่ยนเป็นความเค้นดึง การย้อนกลับของความเค้นอัดโดยทันทีทำให้อาจุการใช้งานของดายสั้นลง อันเนื่องมาจากความล้า (Fatigue) เช่นเดียวกับความเค้นที่ย้อนกลับที่ปรากฏขึ้นระหว่างแม่พิมพ์กำลังดัด โลหะและเกิดการนิ่กหาก สมบูรณ์ โดยทันทีทันใดการปลดชิ้นงานออกจากพันธ์เป็นการสร้างความเค้นดึงให้เกิดขึ้นที่พันธ์ การย้อนกลับของความเค้นจะไม่ปรากฏในแม่พิมพ์ลากขึ้นรูป (Draw die) ธรรมชาติของแม่พิมพ์ลากขึ้นรูปการถ่ายทอดความเค้นอัดจะเป็นไปอย่างช้า ๆ จึงไม่มีความเค้นอัดย้อนกลับจนเป็นความแค้นดึง เพราะฉะนั้นแม่พิมพ์ลากขึ้นรูปจะมีการแตกร้าวอันเนื่องมาจากการล้าอยกว่าแม่พิมพ์ดัด (Cutting die) และแม่พิมพ์ขึ้นรูป (Forming die)

ในแม่พิมพ์ที่มีช่องว่างมากกว่าความหนาของโลหะจะไม่มีแรงรีดโลหะ (Ironing force) รวมเข้าไปกับแรงในเส้นโถงนี้ ด้วยการขึ้นรูปมีหลากหลายกรรมวิธี เส้นโถงตามรูปข้างล่างของแรงนี้มิได้เป็นเส้นโถงของแรงการขึ้นรูปทุกชนิด อันนี้เป็นเส้นโถงแรงของการดึงที่ได้ทำการวัดแรง ลักษณะของเส้นโถงแรงนี้ควรจะเป็นเส้นโถงแรงของกรรมวิธีดังต่อไปนี้คือ การดัด การดัดแบบปีกตรง การพับ การอัด



รูปที่ 2.8 ลักษณะเส้นโถงของแรงดึง (Bending force curve)

ในรูปที่ 2.8 เส้นโค้งของแรง ไม่รวมแรงกดอัดกระแทก (Bottoming force) ไว้ด้วยดังนั้น ควรจะต้องพิจารณาเพิ่มแรงมากขึ้น สำหรับ แรงรีดและแรงกดอัดกระแทก แต่แรงทั้งหมดเหล่านี้ จะได้เกิดขึ้น ในเวลาเดียวกัน อย่างไรก็ตามถ้าแม่พิมพ์มีการใช้แรงกดอัดกระแทก เราสามารถใช้ แรงกดอัดกระแทกเป็นตัวเลือกกำลังอัดของเครื่องบีบโลหะมาใช้กับแม่พิมพ์นี้ได้เลย ดังนั้น ใน การพิจารณาเลือกเครื่องบีบโลหะสำหรับงานดัดงอและขึ้นรูปจะต้องรวมแรงทั้งหมดของแรงเหล่านี้

- 1 แรงดัดงอ (Bending force)
- 2 แรงดันแผ่นกดชิ้นงาน (Pad force)
- 3 แรงรีดโลหะ (Ironing force)
- 4 แรงกดอัดกระแทก (Bottoming force)

2.1.8 สูตรที่ใช้คำนวณสำหรับการขึ้นรูปโลหะแผ่น

สูตรหลายสูตร ได้ถูกนำมาใช้ในการคำนวณหาตัวประกอบที่เกี่ยวข้องในแม่พิมพ์ขึ้นรูป สูตรที่ใช้คำนวณประกอบด้วย

- แรงดัดงอ (Bending force)
- แรงดันแผ่นกดชิ้นงาน (Pad force)
- แรงกดอัดกระแทก (Bottoming force)
- ขนาดความยาวของแผ่นเปล่า (Blank development)

แรงดัดงอ (Bending force) การดัดโลหะแผ่น จะคล้ายกับความเค้นที่ เกิดขึ้นในคาน เพราะฉะนั้นสูตรทั่วๆ ไปที่ใช้คำนวณเกี่ยวกับคาน จึงถูกนำมาใช้ให้เป็นประโยชน์ ในการคำนวณเกี่ยวกับงานขึ้นรูปโลหะ ความเค้นที่เกิดขึ้นในคานเกี่ยวข้องกับตัวประกอบ ดังต่อไปนี้

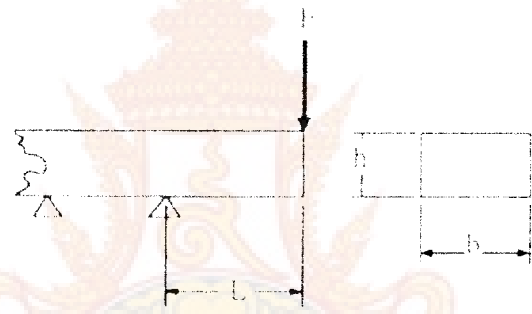
เมื่อ	S	ความเค้น (Stress)	kgf/mm^2
	M	โมเมนต์ดัด (Bending moment)	kgf-mm
	I	โมเมนต์ความเรื้อรัง (Moment of inertia)	mm^4
	c	ระยะจากจุดเซนทรอล (Centroidal distance)	mm
	F_b	แรงดัดงอ (Bending force)	kgf
	L	ระยะช่องอย่าง (Span) ระหว่างจุดรองรับ	mm
	b	ความกว้างของคาน (Base of beam)	mm
	h	ความสูงของคาน (Height of beam)	mm

โดยที่ $S = \frac{Mc}{I}$, $I = \frac{bh^3}{12}$, $c = \frac{h}{2}$, $M = \frac{FL}{2}$

$$S = \frac{\frac{FL}{2} \times \frac{FL}{2}}{\frac{bh^3}{12}} \quad (2.6)$$

$$F_b = \frac{12}{L \times \frac{h}{2} \times \frac{2}{2}} \quad (2.7)$$

$$F_b = (0.333) \frac{Sbh^2}{L} \quad (2.8)$$

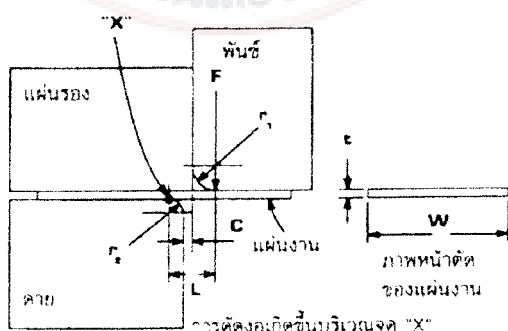


รูปที่ 2.9 ภาพหน้าตัดของคาน

จากสูตรพื้นฐานถูกแปลงเพื่อนำมาใช้งาน สำหรับการคัดโลหะแผ่น ดังนี้

$$L = r_1 + c + r_2 \quad (2.9)$$

$$F_b = (0.333) \frac{Swt^2}{L}$$



รูปที่ 2.10 ภาพหน้าตัดของโลหะแผ่น

เมื่อ	t	ความหนาของโลหะแผ่น	mm
	W	ความกว้างของโลหะแผ่นที่ต้องการดัดงอ	mm
	L	ระยะช่องห่วงจากรัศมีพินช์ถึงรัศมีดาย	mm
	r_1	รัศมีพินช์ (Punch radius)	mm
	r_2	รัศมีดาย (Die radius)	mm
	C	ระยะช่องห่วงระหว่างพินช์กับดาย (Die clearance)	mm
	S	ความแข็งแรงดึงดึงของวัสดุ (Ultimate tensile strength)	kgf/mm^2

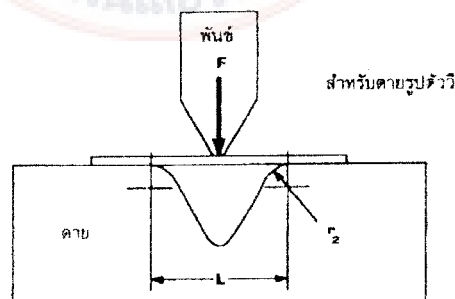
ค่าคงที่ 0.333 ถูกทำให้มีค่าเพิ่มขึ้นเป็น 0.67 เพื่อชดเชย กรณีที่ระยะช่องห่วง (L) ที่มีค่าน้อยและความเห็นที่เกิดจากการทำงานเมื่อมีการเปลี่ยนรูปเป็นแบบถาวร (Plastic deformation) ดังนี้

$$F_b = (0.67) \frac{SWt^2}{L} \quad (2.10)$$

หมายเหตุ สูตรที่ผ่านมาใช้กับแม่พิมพ์แบบดัด 2 ด้าน (U-Bend) สำหรับแม่พิมพ์ที่ทำงานเป็นแบบดัดด้านเดียว (L-Bend) สูตรจะเปลี่ยนเป็น

$$F_b = (0.333) \frac{SWt^2}{L}$$

ค่าคงที่ในสูตรที่ใช้คำนวณหาแรงดัดงอสำหรับแม่พิมพ์ดัดรูปตัววี (V-Bend) จะมีค่าต่างไปคือมีค่าเพิ่มขึ้น ซึ่งค่าคงที่ของแม่พิมพ์ดัดรูปตัววี จะมีค่าเป็น 2 เท่า ของแม่พิมพ์แบบดัด 2 ด้าน ดังนี้



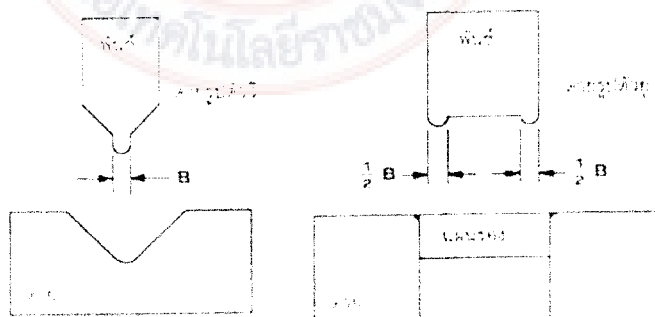
รูปที่ 2.11 ด่ายดัดงอรูปตัววี

$$F_b = (1.33) \frac{SWt^2}{L} \quad (2.11)$$

แม่พิมพ์ดั้งรูปตัววี จะมีระยะช่องว่าง (L) มากกว่าแม่พิมพ์แบบดัดด้านเดียวหรือแบบดัด 2 ด้าน โดยจะแผ่นจะไม่ถูกรองรับตลอดทั้งความยาว แต่จะมีช่องว่างอยู่ในทุก ๆ กรณี โดยจะแผ่นจะถูกรองรับที่จุดที่สัมผัสกับรัศมี dietary ท่านนี้ ดังนั้น ระยะช่องว่างนี้จะวัดจากจุดศูนย์กลางรัศมีด้านหนึ่งไปยังจุดศูนย์กลางรัศมี dietary อีกด้านหนึ่ง ถ้าระยะช่องว่างมีขนาดเพิ่มขึ้น แรงที่ใช้ในการดัดก็จะมีค่าลดลง การเพิ่มกำลังจัด (Leverage) ในขณะที่ทำการดัดจะทำให้แรงที่ใช้ในการดัดมีค่าลดลงเมื่อนำมาเทียบความเครียด (Strain gages) ซึ่งเป็นแบบตัวต้านทานทางไฟฟ้า มาติดบนแม่พิมพ์แบบดัด 2 ด้าน เพื่อวัดแรงที่ทำให้เกิดการล้าตัวของวัสดุ ซึ่งก็จะได้ค่าตรงกับแรงที่ได้จากการคำนวณแรงที่ใช้ในการดัดควรจะแปลงให้มีหน่วยเป็นตัน (Tons) เพื่อให้เหมาะสมกับขนาดของเครื่องปั๊มที่เลือกใช้

แรงดันแผ่นรอง (Pad force) ในการจัดยึดโดยจะแผ่นในพื้นที่ที่ถูกออกไปจากบริเวณที่ดัด จะต้องออกแรงด้านให้มีขนาดที่เหมาะสม โดยจะแผ่น ที่มีความแข็งความเค้นแรงคงที่จะมีค่ามากแรงดันแผ่นรองก็จะมีค่ามากด้วย ส่วนโดยที่มีความอ่อน แรงดันแผ่นรองก็จะมีค่าน้อย โดยที่มีความหนามากก็ต้องการแรงดันแผ่นรองที่มีค่ามากถูกระหว่างค่าแรงดันแผ่นรอง คือ

$$F_p = (0.67) SWt \quad (2.12)$$



รูปที่ 2.12 ダイดั้งรูปตัววีที่ทำเป็นเส้นมน และダイรูปตัววีที่ทำสันมน 2 ด้าน

แผ่นเปล่าหลายชิ้นที่นำมาทำการขึ้นรูปด้วยแม่พิมพ์แบบคัต 2 ด้าน แรงดันแผ่นรองจะมีค่าเปลี่ยนแปลงจากศูนย์ไปจนถึงจำนวนที่มีค่ามาก การวัดจะกระทำในบริเวณส่วนที่มีผิวแบบราบผลที่ได้คือแรงที่มีค่าต่ำสุดจะอยู่ในบริเวณที่มีผิวแบบราบ ซึ่งตรงกับผลที่ได้รับจากการคำนวณด้วยสูตร

แรงกดอัดกระแทก (Bottoming force) เพื่อให้การดีดตัวกลับ (Spring back)

ของวัสดุลดลงหลังจากทำการคัต โดยทำให้วัสดุบริเวณส่วนที่ต้องการดัดอยู่ภายใต้ความดันแรงกดที่มีค่ามาก การทำแบบนี้ถูกเรียกว่า “การกดอัดกระแทก” โดยการทำสันนูนที่บริเวณส่วนล่างของพันธ์ แรงกดอัดกระแทกคำนวณหาได้จากสูตร ดังนี้

$$\text{แรง} = \text{แรงดัน} \times \text{พื้นที่}$$

$$F_{bm} = S_c WB \quad (2.13)$$

เมื่อ S_c แรงกด หรือ Setting pressure kg/mm^2

W ความกว้างของโลหะแผ่นที่ต้องการดึงออก mm

B ความกว้างของสันนูน (Beads) โดยมองด้วยตาเปล่า mm

2.2 งานวิจัยที่เกี่ยวข้อง

อภิชาติ เชื้อเมืองพาณ และคณะ [3] ได้ทำการศึกษาพฤติกรรมการดีดกลับในการดันขึ้นรูปตัววีของโลหะแผ่นที่มีคุณสมบัติแอนไโอโซโฟร์ปิกโดยวิธีไฟไนต์เอลิเมนต์โดยใช้วัสดุ AISI 304 ขนาด $40 \times 80 \times 2 \text{ mm}$. ในแนวทิศทางทั่ม $0, 15, 30, 45, 60, 75$ และ 90 องศา กับแนวการรีดที่ขนาดรัศมีพันธ์ $2, 3, 4, 5, 6, 7, 8, 9$ และ 10 mm การวิเคราะห์เป็นแบบความเครียดในระนาบพฤติกรรมของวัสดุชิ้นงานเป็นแบบยึดหยุ่น-พลาสติก ไม่คำนึงถึงผลของแรงเสียดทาน จากการจำลองการดัดขึ้นรูปตัววีโดยวิธีไฟไนต์เอลิเมนต์พบว่า มุมดีดกลับที่ได้จากการจำลองการดัด โดยวิธีไฟไนต์เอลิเมนต์มีค่าสอดคล้องกับผลการทดลองจริง ดังนั้น สามารถยืนยันได้ว่า แบบจำลองการดัดขึ้นรูปตัววี โดยวิธีไฟไนต์เอลิเมนต์ที่สร้างขึ้นมาได้ สามารถจำลองการดัดขึ้นรูปตัววีได้ถูกต้อง ซึ่งสามารถนำไปประยุกต์ใช้ได้กับการดัดขึ้นรูปตัววีของวัสดุอื่นๆ ได้ จากการศึกษาสามารถสรุปได้ว่า ทิศทางทั่ม 45 องศา กับแนวการรีด การดีดกลับจะแปรผันกับค่าแอนไโอโซโฟร์ปิก ($R\text{-value}$) โดยที่ค่าแอนไโอโซโฟร์ปิกมาก การดีดกลับจะมีค่ามาก และในทางตรงกันข้าม ค่าแอนไโอโซโฟร์ปิกน้อย การดีดกลับจะมีค่าน้อย ในขณะเดียวกัน การดีดกลับจะมีค่ามาก เมื่อรัศมีพันธ์มีขนาดใหญ่ และการดีดกลับจะมีค่าน้อย เมื่อรัศมีพันธ์มีขนาดเล็ก

ภายนอกพิรุพห์ ศรีสำเริง และคณะ [4] ได้ทำการศึกษาอิทธิพลของช่องว่างแม่พิมพ์ที่มีผลต่อการดีดกลับในการดัดกรองรูปแบบหลักความแข็งแรงสูงขนาดความหนา 2 มิลลิเมตร สองเกรดคือ JIS 440 และ JIS 590 ซึ่งเป็นเกรดที่นิยมใช้ในการผลิตชิ้นส่วนรถยนต์ในขณะนี้ โดยกำหนดค่าช่องว่างแม่พิมพ์ 3 ระยะ คือ 2, 1.9 และ 1.8 มิลลิเมตร ตามลำดับ การทดลองทำการเก็บผลการดีดตัวกลับของชิ้นงาน ความสัมพันธ์ระหว่างแรงกับระยะทางในการดัดกรองและนำวิเคราะห์เปรียบเทียบกับผลที่ได้จากการจำลองการทำงานด้วยโปรแกรมไฟฟ้าในตัวอิเล็กทรอนิกส์(DEFORM-2D) ผลการวิจัยพบว่าแรงที่ใช้ในการดัดกรองจะเพิ่มขึ้นในวัสดุมีค่าความแข็งแรงดึงสูงกว่า และค่าช่องว่างแม่พิมพ์น้อย วัสดุที่มีค่าความแข็งแรงดึงสูงกว่าจะเกิดการดีดตัวกลับมากกว่า ในกรณีที่ใช้ช่องว่างแม่พิมพ์มีขนาดน้อยกว่าความหนาของชิ้นงานสามารถลดการเกิดการดีดตัวกลับของชิ้นงานหลังการดัดกรองได้

ชาญ ณัดงาน และคณะ [5] ได้ทำการศึกษาพัฒนาระบบการดีดกลับของโลหะในการดัดท่อคอมเรียโดยวิเคราะห์และออกแบบสร้างแม่พิมพ์ที่มีรัศมีการดัด 20-29 mm เพื่อทดลองหาการดีดกลับของอะลูมิเนียม A1100-H14, เหล็กกล้าโครงสร้าง SS330 หนา 4.5 mm และเหล็กกล้าไร้สนิม SUS 304 หนา 2 mm พร้อมทั้งแรงดัด ผลการทดลองพบว่า สมการที่ได้จากการวิเคราะห์การดีดกลับให้ผลแตกต่างจากการทดลองน้อยกว่า 3% และแรงดันแตกต่างจากการทดลองน้อยกว่า 12%

เหออดศักดิ์ อุยู่ฤทธิ์ และคณะ [6] ได้ทำการศึกษา การลดการดีดตัวกลับของโลหะแผ่นในการดัดแบบตัวยู เพื่อลดปัญหาการดีดตัวกลับ โดยออกแบบแม่พิมพ์เป็นแม่พิมพ์ดัดขึ้นรูปตัวยู ซึ่งได้ใช้แม่พิมพ์แบบ Bottoming และ Corner Setting โดยแม่พิมพ์ได้ออกแบบให้กดย้ำเพื่อลดความหนาที่มุนดัดลง 5, 10, 15 และ 20% ของความหนา และออกแบบแม่พิมพ์ดัดตัวยูเพื่อศึกษาอิทธิพลของช่องว่างระหว่างพื้นช้ดายที่ 0.9 และ 1 เท่าของความหนา ในการวิเคราะห์การดัดขึ้นรูปไฟฟ้าในตัวอิเล็กทรอนิกส์ DEFORM_2D ช่วงวิเคราะห์ความเดินที่เกิดขึ้นบริเวณมุนดัด และแรงที่ใช้ในการขึ้นรูป ชิ้นงานที่ใช้ทดลองเป็นเหล็กกล้าคาร์บอนเคลือบสังกะสี เกรด SECC มาตรฐาน JIS G 3142 หนา 1.2 มิลลิเมตร จากการทดลองทำให้พบว่าค่าของปริมาณการกดย้ำที่เหมาะสมที่ทำให้ไม่เกิดการดีดตัวกลับของชิ้นงานดังนี้ สำหรับแม่พิมพ์แบบ Bottoming ปริมาณการลดความหนาอยู่ในช่วง 12-16% และแม่พิมพ์แบบ Corner setting ปริมาณการกดย้ำที่อยู่ในช่วง 9-12% และยังพบว่าแม่พิมพ์แบบ Corner setting มีแนวโน้มต้องการใช้แรงในการกดย้ำมากกว่า แม่พิมพ์แบบ Bottoming นอกจากนี้ช่องว่างระหว่างพื้นช้ดายที่น้อยกว่าความหนาชิ้นงานที่ดัดตามแนวรีดและราวด้วยเครื่องให้ปริมาณการดีดตัวกลับไม่ต่างกันอย่างมีนัยสำคัญ

บทที่ 3

การดำเนินการวิจัย

3.1 บทนำ

ในการศึกษาตัวแปรที่มีอิทธิพลต่อแรงในการดัดขึ้นรูปตัววี สำหรับวัสดุเหล็กกล้าทุนแรงดึงสูง และการศึกษาตัวแปรที่ส่งผลการเกิดการดีดตัวกลับของชิ้นงานทดสอบหลังการดัดขึ้นรูปตัววี สำหรับวัสดุเหล็กกล้าทุนแรงดึงสูง นั้น หลังจากที่ได้รู้ถึงคุณสมบัติในด้านต่างๆ ของวัสดุชิ้นงาน ทดสอบ วิธีการดัดขึ้นรูปตัววีและการคำนวนหาค่าต่างๆ ที่เกี่ยวข้องกับการศึกษาการดัดขึ้นรูปตัววี สำหรับวัสดุเหล็กกล้าทุนแรงดึงสูง ดังได้กล่าวในบทที่ 2 แล้ว ในการดำเนินงานจะต้องวางแผน ดำเนินงานสำหรับการจำลองและการทดลองให้ผลที่ได้มานั้นมีความน่าเชื่อถือและเป็นที่ยอมรับในภาคอุตสาหกรรมต่างๆ การศึกษาดังกล่าววนนี้มีตัวแปรที่ต้องศึกษาตามขอบเขตของการวิจัยคือ ค่ารัศมีพันธ์ด้วย มุมพันธ์ด้วย ค่ารัศมีปากดายและความเค็นกราก ตัวแปรตามคือ แรงในการดัดขึ้นรูป และมุมของชิ้นงานที่เปลี่ยนไปหลังการดัดขึ้นรูปตัววี

3.2 การวางแผนการวิจัย

ในการศึกษาโครงการดังกล่าวนี้ต้องมีการวางแผนขั้นตอนการทำการศึกษาไว้ล่วงหน้า โดยผู้วิจัยได้วางแผนขั้นตอนและระยะเวลาของการทำวิจัยไว้ดังตารางที่ 3.1

ตารางที่ 3.1 แสดงแผนการทำวิจัย

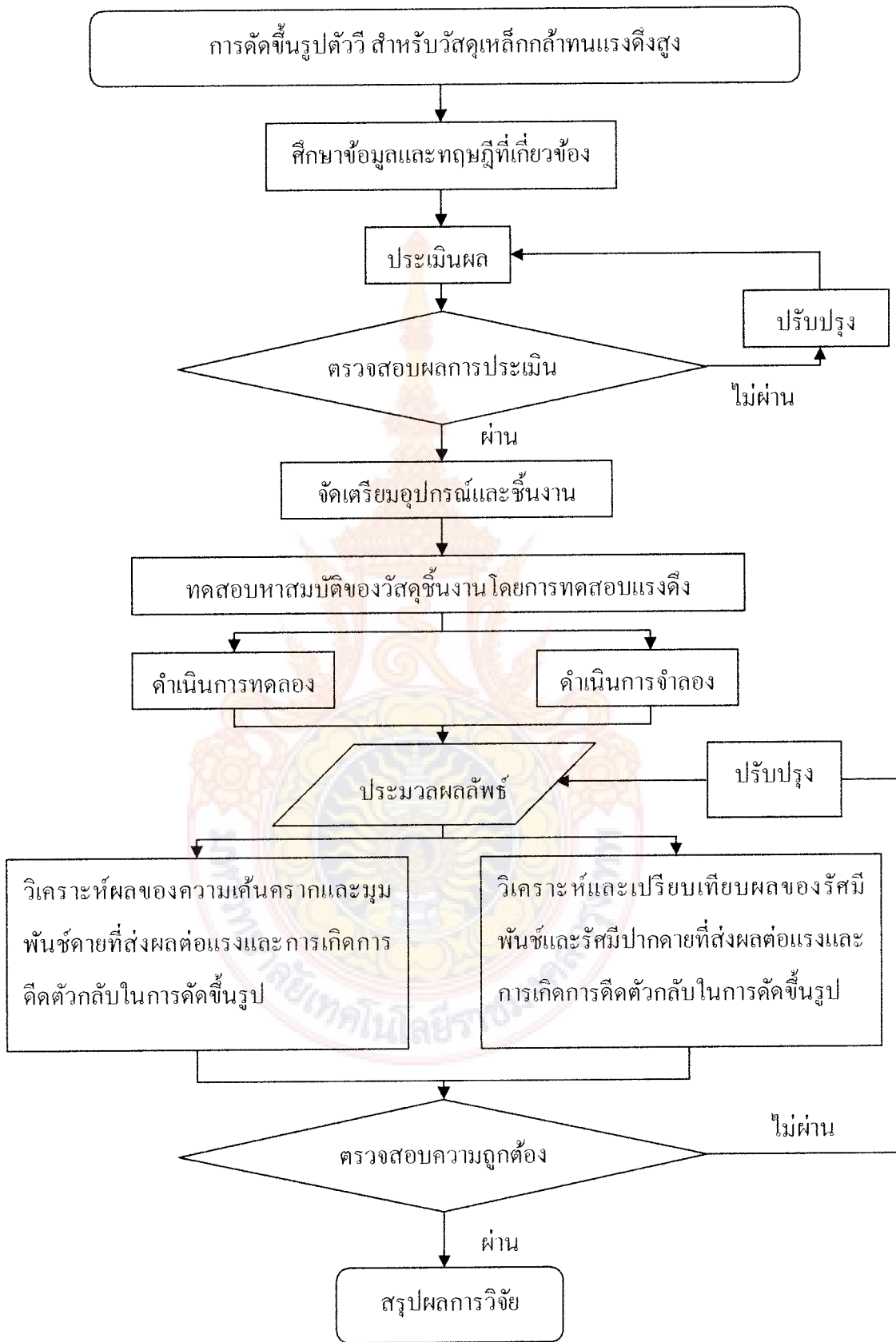
รายการ	เดือน									
	0-2	2-3	4-6	7-8	8-9	9-10	10-11	11-12	12	
1. ศึกษาข้อมูลการดัดขึ้นรูปวัสดุ	↔									
2. กำหนดรูปแบบการจำลองและการทดลอง			↔	↔						
3. จัดเก็บข้อมูลการทดลอง					↔	↔				
4. วิเคราะห์ผลการวิจัย						↔	↔			
5. ถ่ายทอดผลการวิจัยสู่กลุ่มเป้าหมาย								↔	↔	
6. สรุปและจัดทำรายงาน									↔	

หมายเหตุ :



แผนการดำเนินงานวิจัยที่กำหนด

แผนการดำเนินงานปัจจุบัน



รูปที่ 3.1 แผนผังแสดงขั้นตอนการศึกษาการดัดปรับตัววิ

3.2.1 การศึกษาปัญหาและทฤษฎีที่เกี่ยวข้อง

การศึกษาปัญหาและทฤษฎีที่สำคัญเกี่ยวกับการตัดขึ้นรูปตัววี สำหรับวัสดุเหล็กกล้าทันแรงดึงสูง คือ คุณสมบัติเชิงกล ของเหล็กกล้าทันแรงดึงสูง ซึ่งจัดอยู่ในกลุ่มของเหล็กทำเครื่องมือและมีการนำมาใช้ในกระบวนการการตัดขึ้นรูปในกรณีพิเศษซึ่งจัดเป็นกระบวนการการขึ้นรูปเย็นแบบไม่เสียเศษ โดยผู้จัดได้รวมไว้ในบทที่ 2 ซึ่งผู้ที่ทำการวิจัยเรื่องเหล่านี้จะต้องศึกษาเนื้อหาดังกล่าวให้มีความเข้าใจก่อน จึงจะนำมาซึ่งการได้ข้อมูลที่มีความน่าเชื่อถือเป็นขั้นตอนมีระเบียบแบบแผนและมีทฤษฎีอ้างอิงไว้ หากข้อมูลที่ได้มามีความคลาดเคลื่อนหรือไม่สอดคล้องกับทฤษฎีอาจเกิดมาจากการความชำนาญหรือประสบการณ์ของผู้ทดลองเอง การไม่ใส่ใจในรายละเอียดของการทดลองหรือความไม่พร้อมของวัสดุอุปกรณ์ที่ใช้ในการทดลอง เป็นต้น

3.2.2 การออกแบบการจำลองและการทดลอง

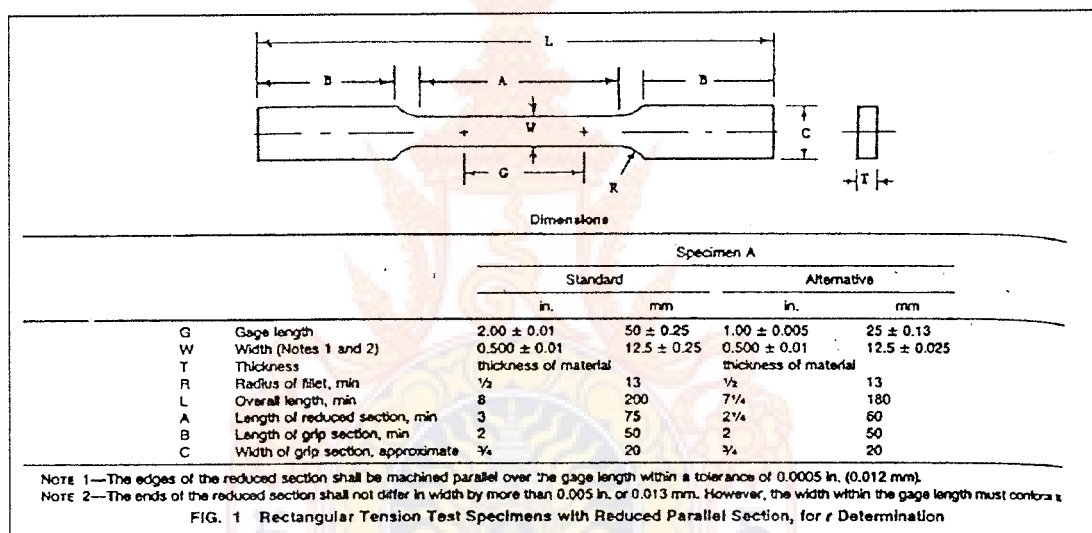
สมบัติเชิงกลของวัสดุต่างชนิดกันย่อมมีความแตกต่างกันในกระบวนการการตัดขึ้นรูปตัววี ดังนั้นผู้ออกแบบต้องทราบถึงคุณสมบัติทางกลของวัสดุนั้นก่อน เพื่อให้การออกแบบนั้นสอดคล้องกับการใช้งานจริงและสามารถใช้งานได้อย่างมีประสิทธิภาพ สมบัติคงกล้าวน เช่น ความแข็งแรง (Strength) ความเหนี่ยา (Ductility) ความแข็ง (Hardness) และความแข็งตึง (Stiffness) หรือความสามารถในการคงรูป เป็นต้น การได้มาซึ่งคุณสมบัติทางกลเหล่านี้ทำได้โดยการทดสอบด้วยอุปกรณ์ที่สามารถจำลองสภาพที่อาจส่งผลเสียอย่างมาก เช่น งบประมาณค่าใช้จ่ายในการสร้างและการออกแบบพิเศษ ปัจจัยที่ต้องพิจารณาได้แก่ ลักษณะของแรงกระทำนั้น ระยะเวลาและสภาพแวดล้อมในการทดสอบต้องใกล้เคียงกับการใช้งานจริงมากที่สุด

3.2.2.1 การทดสอบแรงดึง

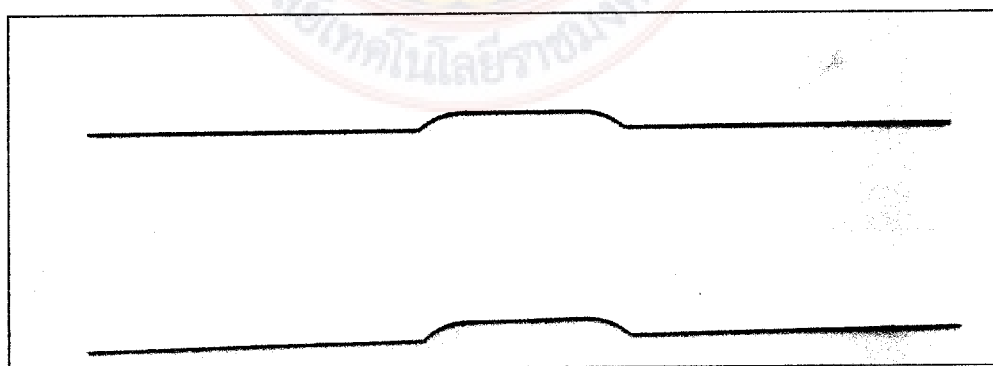
การศึกษาพฤติกรรมทางกลของวัสดุนั้นจากการทดสอบความเค้น-ความเครียดแบบจ่ายๆ ซึ่งมักเป็นวิธีที่ใช้กับการทดสอบโลหะที่อุณหภูมิห้อง โดยทั่วไป มีรูปแบบที่แรงกระทำจะกระทำบนวัสดุได้ 3 รูปแบบ คือ แรงดึง แรงอัดหรือแรงกดและแรงเฉือน รูปแบบการทดสอบความเค้น-ความเครียดที่ใช้กันอย่างแพร่หลายแบบหนึ่ง คือการทดสอบแบบใช้แรงดึง ซึ่งสามารถหาค่าสมบัติเชิงกลได้หลายค่า ในการทดสอบครั้งนี้ชื่นงานทดสอบจะถูกดึง (โดยปกติจะดึง) ตามแนวยาวของชื่นงาน โดยแรงดึงมีลักษณะเป็นแรงดึงตามแนวแกนเพียงแนวเดียว โดยปกติแล้วภาคตัดที่ใช้ในการทดสอบจะเป็นวงกลมหรือหน้าตัดเป็นสี่เหลี่ยม สำหรับในการทดสอบแรงดึงในการหาค่าสมบัติเชิงกลเพื่อใช้ในการศึกษากระบวนการการตัดขึ้นรูปตัววีนี้ ใช้ขนาดมาตรฐานชื่นงานทดสอบตามมาตรฐาน ASTM แสดงดังรูปที่ 3.2 ชื่นงานทดสอบจะถูกจับยึดปลายทั้งสองข้างด้วย

หัวจับภายในเครื่องทดสอบ โดยเครื่องทดสอบแรงดึงได้ถูกออกแบบมาให้สามารถดึงชิ้นงานด้วยความเร็วในการดึงคงที่พร้อมวัดขนาดของแรงกระทำ (โหลดเซลล์) และการยืดตัวที่เกิดขึ้น (ด้วยอุปกรณ์วัดระยะยืด Extensometer) การทดสอบหาค่าความเค้น-ความเครียด มักใช้เวลาไม่กี่นาทีและเป็นการทดสอบแบบทำลาย นั่นคือชิ้นงานทดสอบถูกต้องจนเกิดการเปลี่ยนรูปถาวรและขาดจากกันในที่สุด

ผลลัพธ์ของการทดสอบแรงดึง ได้ค่าความสัมพันธ์ระหว่างแรงกระทำ (Load) กับระยะยืด (Elongation) จะถูกบันทึกบนแผ่น hart หรือในคอมพิวเตอร์ ความสัมพันธ์ระหว่างแรงกระทำ กับระยะยืดนี้จะมีค่ามากน้อยขึ้นอยู่กับชนิดของวัสดุชิ้นงานทดสอบ



รูปที่ 3.2 มาตรฐานขนาดชิ้นทดสอบตามมาตรฐาน ASTM



รูปที่ 3.3 ชิ้นทดสอบสำหรับการทดสอบแรงดึง (Specimens)

1) ชิ้นทดสอบ

จากรูปที่ 3.2 แสดงขนาดชิ้นงานทดสอบตามมาตรฐาน ASTM (American Society for Testing and Materials) และรูปที่ 3.3 แสดงตัวอย่างชิ้นสอบที่ใช้ในการทดสอบแรงดึง สำหรับเป็นข้อมูลเบื้องต้นในการศึกษาการดัดขึ้นรูปตัววี ซึ่งเป็นวัสดุเหล็กกล้าทันแรงดึงสูง ขนาดความหนา 2 มิลลิเมตร กว้าง 25 มิลลิเมตร ยาว 100 มิลลิเมตร

2) การเตรียมการทดสอบแรงดึง

ในปฏิบัติการทดสอบแข็งแรงของวัสดุ ส่วนมากจะเป็นเครื่องทดสอบชนิดที่ถูกออกแบบให้สามารถทดสอบได้หลายอย่างภายในเครื่องเดียวกัน โดยใช้การทดสอบการดึง การอัด การเฉือนและการดัด cosine เครื่องดังกล่าวจะเรียกว่า Universal Testing Machine (UTM) ดังรูปที่ 3.4



รูปที่ 3.4 เครื่องทดสอบ Universal Tensile Testing Machine

ระบบการทำงานของเครื่องทดสอบเป็นแบบอัตโนมัติสมบูรณ์ในตัว สามารถควบคุมได้ทั้ง Manual และ Computer โดยการปรับเปลี่ยนระบบการทำงานได้ตามความต้องการ กรณีการควบคุมแบบ Manual สามารถทำให้ผู้ที่เริ่มนศึกษามีความรู้และเข้าใจพื้นฐานสามารถค่าต่างๆที่ได้จาก การทดลองเพื่อนำไปคำนวณและวิเคราะห์ผลด้วยตนเอง ส่วนกรณีที่ควบคุมด้วย Computer สามารถทำงานและวิเคราะห์ผลได้โดยอัตโนมัติเพื่อให้ผู้ใช้ซึ่งมีความรู้พื้นฐานการทดสอบวัสดุ มาแล้วเป็นอย่างดี ได้วิเคราะห์ผลเร็วขึ้น

เครื่องทดสอบวัสดุนี้ใช้ระบบไฮดรอลิกโดยอาศัยแรงทดสอบจากการอัดของน้ำมันไฮดรอลิกไปยังระบบอกรถ สามารถควบคุมขนาดแรงทดสอบได้ถูกต้อง รวดเร็วและง่าย ไม่เกิดเสียงดัง และการสั่นสะเทือนขณะทำการทดสอบ ปัจจุบันเครื่องทดสอบนี้ได้ถูกพัฒนาขึ้นมาก คือ ใช้ระบบการควบคุมทางอิเล็กทรอนิกส์เข้ามาช่วยทำให้ผลการตรวจสอบมีความถูกต้องมากขึ้น

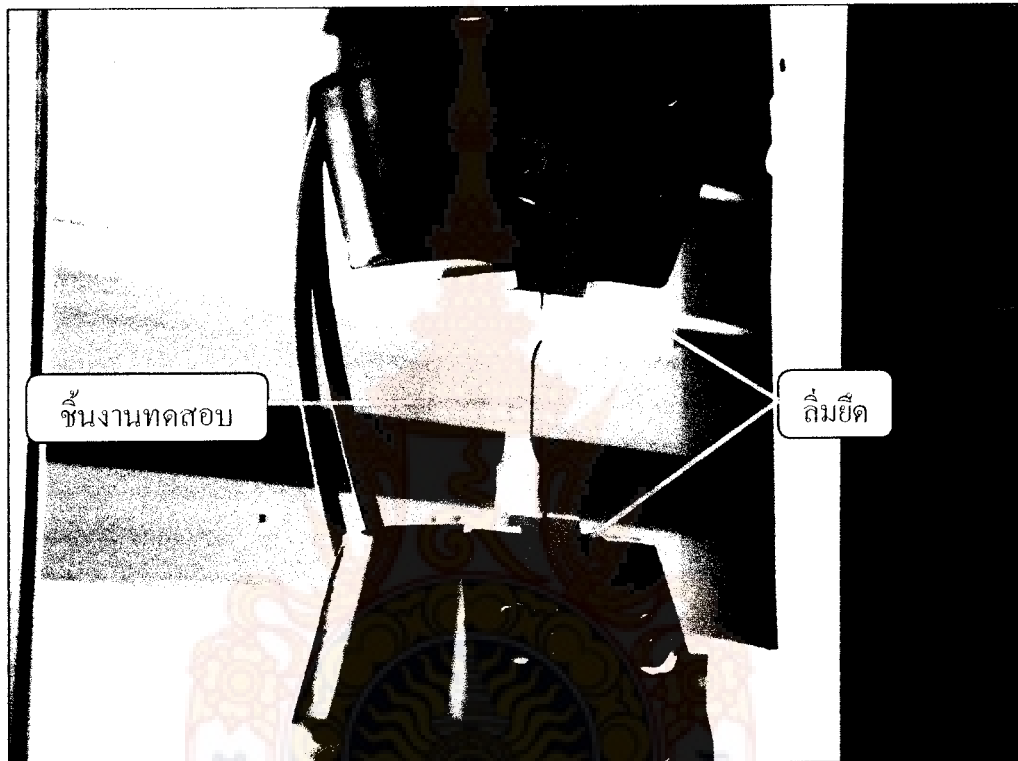
4) ลักษณะการยึดชิ้นงานทดสอบ

การยึดชิ้นงานทดสอบโดยการดึงนี้ จะต้องยึดด้วยวิธีที่เหมาะสม ว่าจะใช้อุปกรณ์ใดยึด ชิ้นงานทดสอบและวิธีไหนจึงสะดวก ข้อสำคัญในการยึดชิ้นงานทดสอบ คือต้องพยายามอย่างดี ที่สุดที่จะให้แรงทดสอบกระทำอยู่ในแนวแกนของชิ้นงานทดสอบและจะต้องมีความแน่ใจด้วยว่า อุปกรณ์จับยึดชิ้นงานทดสอบมีความแข็งแรงเพียงพอต่อแรงกระทำบนชิ้นทดสอบขาด สำหรับวิธี ยึดชิ้นงานทดสอบมีอยู่หลายวิธี เช่น ใช้ลิมยึด เกลียวยึด บ่อยึด โดยแต่ละวิธีการยึดนี้จะต้องไม่เกิด การบิดเบี้ยว หรือเกิดการดัด กองขยะที่ทำการทดสอบ



รูปที่ 3.5 ลักษณะลิมยึดที่ใช้ยึดชิ้นงานทดสอบโดยการดึง

จากรูปที่ 3.5 ลิ่มยีดชี้นงานทดสอบ ใช้ในการจับยีดชี้นงานทดสอบของการทดสอบแรงดึงครั้งนี้ เพราะลักษณะของชี้นงานทดสอบเป็นแผ่น มีหน้าสัมผัสที่สามารถยีดชี้นงานทดสอบได้เต็มหน้าและด้วยตัวผิวสัมผัสของลิ่ม ได้ผ่านการพิมพ์ลายส่างผลให้การจับยีดนั้นมีความมั่นคงและถูกต้องตามหลักการทดสอบแรงดึงที่ได้กล่าวมาข้างต้น



รูปที่ 3.6 ลักษณะการประกอบลิ่มยีดชี้นงานทดสอบกับเครื่องทดสอบ

การประกอบอุปกรณ์ทดสอบ โดยการดึงและปรับเครื่องทดสอบ UTM ที่ใช้สำหรับการทดสอบ โดยนำชิ้นงานทดสอบที่เตรียมไว้เข้ายีด โดยใช้ลิ่มยีดตามรูปที่ 3.6 ขณะยีดควรจะยึดปลายชิ้นทดสอบด้านบนก่อน จึงค่อย ๆ ยกชิ้นงานทดสอบให้เคลื่อนที่ขึ้น แล้วจึงนำลิ่มยีดประกอบยึดปลายชิ้นทดสอบด้านล่าง การทำเช่นนี้จะทำให้ยีดได้แน่นป้องกันการลื่นขณะดึง เพราะการจับยีดชิ้นงานทดสอบด้วยลิ่มยีดนั้นาอย่างเพียงความฝีกระหว่างผิวของลิ่มที่ขึ้นลายกับผิวชิ้นงานทดสอบเท่านั้น

5) วิธีการทดสอบ

หลักการทดสอบโดยการดึงทั่วไปนั้น ต้องใช้แรงที่เพิ่มขึ้นอย่างสม่ำเสมอ ดึงชิ้นงานทดสอบให้เกิดความเครียดยึดออกและขาดในที่สุด การยึดชิ้นงานทดสอบต้องพยามยามอย่างดีที่สุด

ที่จะให้แรงที่กระทำอยู่ในแนวแกนซึ่งทดสอบ ขณะทดสอบต้องสังเกตและบันทึกแรงดึงสูงสุด ซึ่งงานเริ่มต้นเกิดคอกอุดและแรงดึงที่ซึ่งงานทดสอบขาดเพราะบางครั้ง ถ้าทดสอบโลหะที่แข็ง เหนียวนั้นจะมีการยืดออกมากแล้วจึงขาด ซึ่งจะทำให้แรงดึงที่ขาดมีค่าน้อยกว่าแรงดึงสูงสุด

ในขณะทำการทดสอบโดยการดึงกับเครื่องทดสอบที่มีการทำงานแบบอัตโนมัติจะสะดวก ต่อการบันทึกข้อมูลได้ถูกต้อง แต่ถ้าทำการทดสอบกับเครื่องมือแบบง่าย ๆ ธรรมชาติ จะต้องใช้ ข้อสังเกตหลายอย่าง เช่น ความเร็วในการทดสอบความเห็น ความเครียด ค่าความยืด การลดลงของ พื้นที่หน้าตัด ความแข็งแรงดึงสูงสุดและรอยแตกหักหรือขาดของซึ่งงานทดสอบ เป็นต้น



รูปที่ 3.7 แสดงลักษณะของซึ่งงานทดสอบที่เริ่มทำการทดสอบ

จากรูปที่ 3.7 ซึ่งงานทดสอบถูกจับยึดบนเครื่องทดสอบแรงดึงอย่างถูกต้องตามหลักการทดสอบแรงดึง โดยหัวจับด้านบนจะอยู่กับที่ ส่วนหัวจับด้านล่างจะเป็นตัวเคลื่อนที่ในแนวแกน -Y ดึงจนกว่าซึ่งงานทดสอบขาด



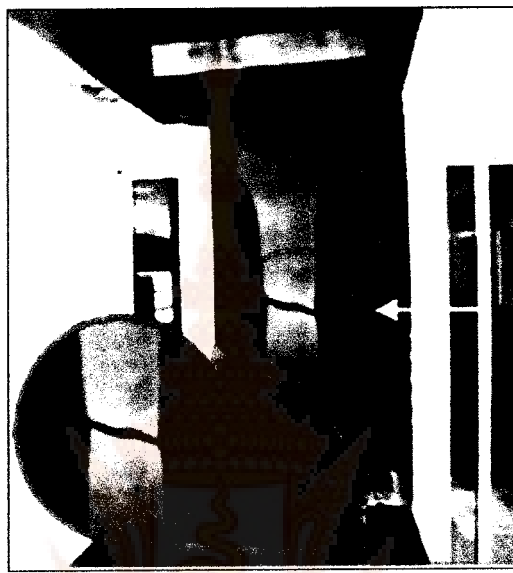
รูปที่ 3.8 แสดงชิ้นงานขณะเริ่มทำการทดสอบ

จากรูปที่ 3.8 เมื่อออกร่างดึงชิ้นงานทดสอบ ชิ้นงานทดสอบจะถูกแรงม้ากระทำจึงเกิดการต้านแรงนั้นที่มาระทานนั้น หรือเรียกว่า ความเคี้ยว วัสดุจะยืดออกตามแรงที่มาระทำ ซึ่งนี้คือช่วงการเสียรูปแบบยืดหยุ่น (Elastic deformation) เมื่ออาเรงออกชิ้นงานทดสอบจะกลับคืนสู่สภาพเดิม



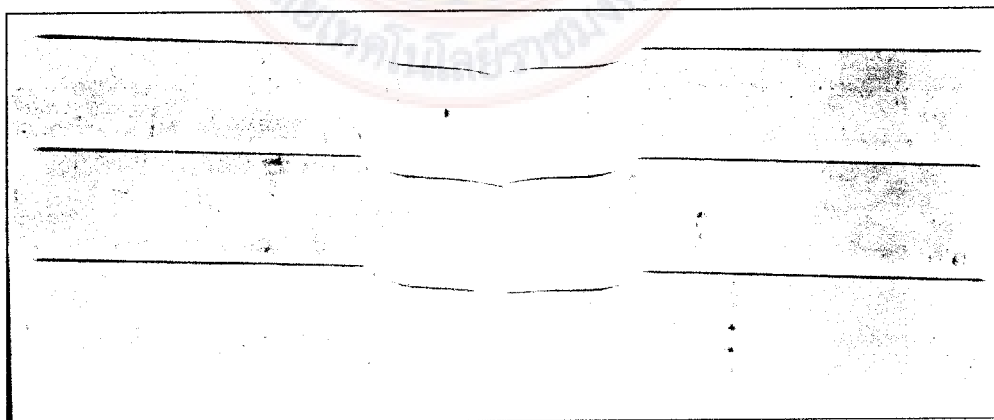
รูปที่ 3.9 ชิ้นงานทดสอบเกิดการเด้ง

จากรูปที่ 3.9 ชิ้นงานทดสอบเกิดการคอด (Necking) เมื่อเอาระงอออกชิ้นงานทดสอบที่เกิดคอดนั้นไม่สามารถเปลี่ยนรูปร่างกลับคืนสู่สภาพเดิมได้หรือเรียกการเดิยรูปแบบพลาสติก (Plastic deformation)



รูปที่ 3.10 ชิ้นงานทดสอบขาด

จากรูปที่ 3.10 เครื่องทดสอบแรงดึง ดึงชิ้นงานทดสอบไม่สามารถต้านแรงที่มากกระทำได้จึงเกิดความเสียหายหรือขาดและเป็นการสิ้นสุดการทดสอบแรงดึง ระบบคอมพิวเตอร์ของเครื่องทดสอบจะบันทึกข้อมูลการเปลี่ยนแปลงต่าง ๆ ให้เราสามารถดึงเอาข้อมูลต่าง ๆ เหล่านี้ไปทำการวิเคราะห์หาผลของการทดสอบแรงดึงเพื่อหาคุณสมบัติทางกลของวัสดุต่อไป



รูปที่ 3.11 ชิ้นงานที่ผ่านกระบวนการทดสอบแรงดึงเรียบร้อยแล้ว

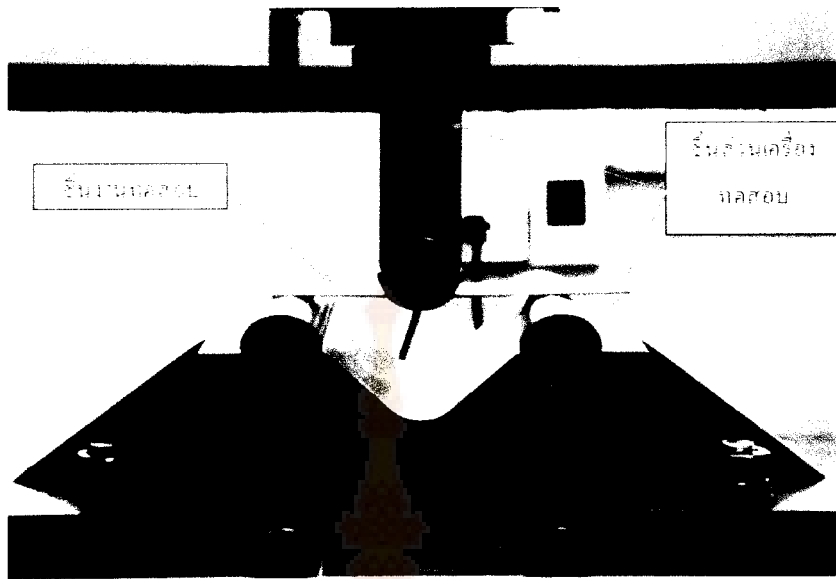
หลังจากการทดสอบแรงดึงของวัสดุเหล็กกล้าทันแรงดึงสูงเต็ร์จเรียบร้อยแล้วแสดงดังรูปที่ 3.10 จะต้องบันทึกข้อมูลต่าง ๆ ไว้เพื่อนำไปใช้ในการคำนวณและวิเคราะห์หาคุณสมบัติของวัสดุ ชิ้นงานต่อไป โดยจุดประสงค์ของการทดสอบโดยการดึง ก็เพื่อต้องการทราบผลการทดสอบซึ่ง แสดงคุณสมบัติของวัสดุ แต่ในบางครั้งผลทดสอบที่ได้อาจจะเปลี่ยนแปลงไป ทั้ง ๆ ที่วัสดุนั้นมี คุณภาพหรือมีเนื้อเดียวสม่ำเสมอ กันตลอดทั้งชิ้นงานทดสอบ การเป็นเห็นนี้ก็อาจมีสาเหตุมาจากการ กระแทก อุบัติเหตุ หรืออุณหภูมิที่ขณะทำการทดสอบ เป็นต้น

2. เครื่องทดสอบการดัดขึ้นรูป

เครื่องที่ใช้ในการทดสอบการดัดขึ้นรูปคือวีสำหรับวัสดุเหล็กกล้าทันแรงดึงสูง นี้ใช้เครื่องทดสอบ Universal Tensile Testing Machine ซึ่งเป็นเครื่องตัวเดียวกันกับเครื่องที่ใช้ในการทดสอบแรงดึง โดยเป็นเครื่องมือทดสอบเพื่อหาคุณสมบัติเชิงกลของวัสดุ สามารถทดสอบวัสดุ ได้หลายวิธี เช่น การดึง การกดและอื่นๆ ในเครื่องเดียวกัน โดยสามารถใช้ทดสอบกับวัสดุได้ หลากหลายชนิด ระบบการทำงานเป็นแบบอัตโนมัติสมบูรณ์ในตัว สามารถควบคุมได้ทั้ง Manual และ Computer โดยการปรับเปลี่ยนระบบการทำงานได้ตามความต้องการ กรณีการควบคุมแบบ Manual สามารถทำให้ผู้ที่เริ่มนักศึกษามีความรู้และเข้าใจพื้นฐานสามารถค่าต่าง ๆ ที่ได้จากการทดสอบเพื่อนำไปคำนวณและวิเคราะห์ผลค้ายกต่อนอก ล่วงหน้า กรณีที่ควบคุมด้วย Computer สามารถทำงานและวิเคราะห์ผลได้โดยอัตโนมัติเพื่อให้ผู้ใช้ซึ่งมีความรู้พื้นฐานการทดสอบวัสดุมาแล้วเป็นอย่างดีได้วิเคราะห์ผลเร็วขึ้น

3.2.3.3 การเตรียมชิ้นงานสำหรับการทดสอบ

ในชุดแม่พิมพ์สำหรับการทดสอบที่ได้ออกแบบให้ตรงกับวัตถุประสงค์ของ การทดสอบ คือ หาตัวแปรที่ส่งผลต่อแรงที่ใช้ในการดัดขึ้นรูปและตัวแปรที่ส่งผลต่อการเกิดการดีด ตัวกลับของการดัดขึ้นรูปตัววี สำหรับวัสดุเหล็กกล้าทันแรงดึงสูงซึ่งใน 1 ชุดแม่พิมพ์สำหรับการ ทดสอบจะประกอบไปด้วยอุปกรณ์ต่าง ๆ แสดงดังรูป



รูปที่ 3.12 แสดงชุดแม่พิมพ์สำหรับการทดลอง 1 ชุด

จากรูปที่ 3.12 ชุดแม่พิมพ์สำหรับการทดลอง ประกอบด้วย พันช์ คายและปากดายทั้งสอง ข้างอุปกรณ์ทั้ง 3 ชิ้นนี้ สามารถถอดเปลี่ยนได้สะดวกและรวดเร็ว ซึ่งในการทดลองการดัดนี้จะต้อง เปลี่ยนชุดแม่พิมพ์ทั้งหมดคือ ค่ารัศมีพันช์คายและค่ารัศมีที่ปากดายเท่ากับ 10, 12.5, 15, 17.5, 20 และ 22.5 มิลลิเมตร ตามลำดับ อุปกรณ์พันช์และคายที่ต้องเปลี่ยนทั้งหมดนั้น แสดงไว้ดังรูปที่ 3.13-3.17



รูปที่ 3.13 แสดงพันช์และปากดาย 10 mm

จากรูปที่ 3.13 ชิ้นส่วนแม่พิมพ์สำหรับการทดลอง ประกอบด้วย พันช์ 1 ชิ้น ขนาดรัศมีเท่ากับ 10 มิลลิเมตรและปาก cavity 2 ชิ้น ขนาดรัศมีเท่ากับ 10 มิลลิเมตร ซึ่งเป็นตัวแปรที่มีขนาดเล็กที่สุดสำหรับการทดลองนี้



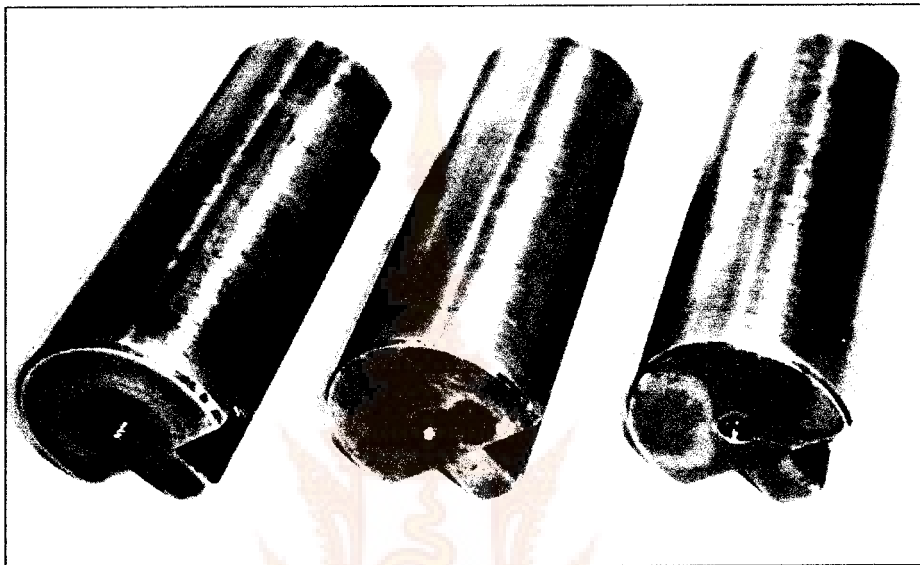
รูปที่ 3.14 แสดงพันช์และปาก cavity 12.5 mm

จากรูปที่ 3.14 ชิ้นส่วนแม่พิมพ์สำหรับการทดลอง ประกอบด้วย พันช์ 1 ชิ้น ขนาดรัศมีเท่ากับ 12.5 มิลลิเมตรและปาก cavity 2 ชิ้น ขนาดรัศมีเท่ากับ 12.5 มิลลิเมตร ซึ่งเป็นหนึ่งในตัวแปรสำหรับการทดลองนี้



รูปที่ 3.15 แสดงพันช์และปาก cavity 15 mm

จากรูปที่ 3.15 ชิ้นส่วนแม่พิมพ์สำหรับการทดลอง ประกอบด้วย พันธ์ 1 ชิ้น ขนาดรัศมีเท่ากับ 15 มิลลิเมตรและปากดาย 2 ชิ้น ขนาดรัศมีเท่ากับ 15 มิลลิเมตร ซึ่งเป็นหนึ่งในตัวแปรสำหรับการทดลองนี้



รูปที่ 3.16 แสดงพันธ์และปากดายรัศมี 17 mm

จากรูปที่ 3.16 ชิ้นส่วนแม่พิมพ์สำหรับการทดลอง ประกอบด้วย พันธ์ 1 ชิ้น ขนาดรัศมีเท่ากับ 17.5 มิลลิเมตรและปากดาย 2 ชิ้น ขนาดรัศมีเท่ากับ 17.5 มิลลิเมตร ซึ่งเป็นหนึ่งในตัวแปรสำหรับการทดลองนี้



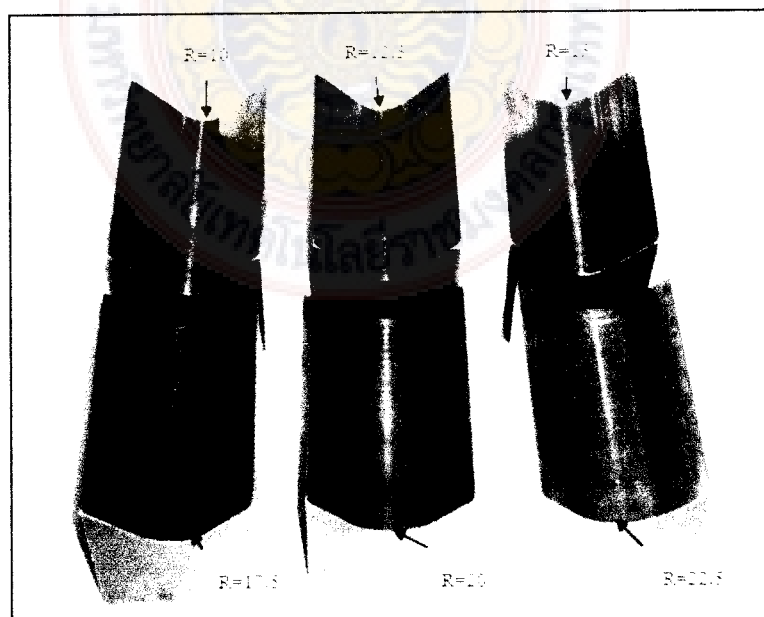
รูปที่ 3.17 แสดงพันธ์และปากดายรัศมี 20 mm

จากรูปที่ 3.17 ชิ้นส่วนแม่พิมพ์สำหรับการทดลอง ประกอบด้วย พันช์ 1 ชิ้น ขนาดรัศมีเท่ากับ 20 มิลลิเมตรและปาก cavity 2 ชิ้น ขนาดรัศมีเท่ากับ 20 มิลลิเมตร ซึ่งเป็นหนึ่งในตัวแปรสำหรับการทดลองนี้



รูปที่ 3.18 แสดงพันช์และปาก cavity รัศมี 22.5 mm

จากรูปที่ 3.18 ชิ้นส่วนแม่พิมพ์สำหรับการทดลอง ประกอบด้วย พันช์ 1 ชิ้น ขนาดรัศมีเท่ากับ 22.5 มิลลิเมตรและปาก cavity 2 ชิ้น ขนาดรัศมีเท่ากับ 22.5 มิลลิเมตร ซึ่งเป็นตัวแปรที่มีขนาดใหญ่ที่สุดสำหรับการทดลองนี้



รูปที่ 3.19 แสดงชิ้นส่วนแม่พิมพ์ ด้วย หมุน 90 องศา

ด้ายที่ใช้ในการทดสอบจะมีรัศมีด้ายทั้งหมด 6 ค่า เช่นเดียวกัน คือ 10, 12.5, 15, 17.5, 20 และ 22.5 มิลลิเมตร ทั้งหมดนี้จะถูกประกอบเข้ากับอุปกรณ์ของเครื่องทดสอบ Universal Tensile Testing Machine ซึ่งเป็นเครื่องที่ใช้ในการทดสอบการดัดขึ้นรูปตัววินน์ของ



รูปที่ 3.20 แสดงชิ้นส่วนของชุดแม่พิมพ์รูปตัววีที่พร้อมสำหรับทำการทดสอบ
ชิ้นส่วนของชุดแม่พิมพ์ทั้งหมดนี้จะถูกประกอบเข้ากับเครื่องทดสอบ Universal Tensile Testing Machine ในเครื่องทดสอบนี้มีชิ้นส่วนที่เป็นมาตรฐานไว้สำหรับการออกแบบชิ้นส่วน
แม่พิมพ์ที่จะนำมาประกอบเข้ากับเครื่องทดสอบนั้นสามารถเปลี่ยนชุดแม่พิมพ์ได้ โดยไม่ต้อง
เปลี่ยนชุดทดสอบที่เครื่อง ทำให้การติดตั้งชุดแม่พิมพ์นั้นเป็นไปได้อย่างรวดเร็วและถูกต้อง

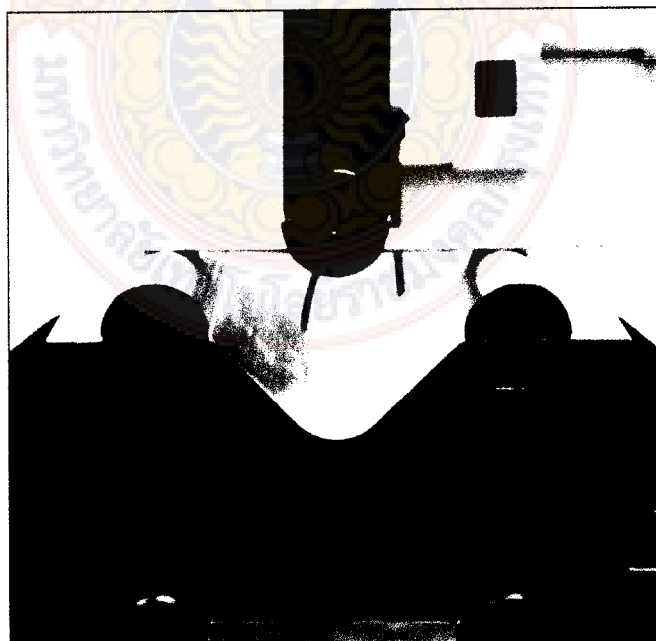
วิธีการประกอบชุดแม่พิมพ์เข้ากับเครื่องทดสอบ ก่อนการติดตั้งต้องตรวจสอบให้แน่ใจก่อน
ว่าไม่มีกระแทกไฟฟ้าในขณะประกอบเพื่อความปลอดภัยของผู้ติดตั้งเอง อันเนื่องมาจากการ
แม่พิมพ์ที่จะนำมาประกอบนั้นได้ถูกออกแบบมาให้สามารถเข้ากับมาตรฐานของเครื่องทดสอบพอดี
แล้วใช้อุปกรณ์ขับเคลื่อนของเครื่อง เช่น นัก สะกรูหัวจมูกเหลี่ยม สะกรูหัวจมเทปอร์ เป็นต้น ยึดให้
คงทุกตำแหน่งและตรวจสอบความถูกต้องก่อนการทดสอบอีกครั้ง ดังรูปที่ 3.20

4. วิธีการทดสอบ

หลังจากการเตรียมวัสดุอุปกรณ์และชุดแม่พิมพ์ที่พร้อมสำหรับการทดสอบ
การดัดขึ้นรูปตัววี สำหรับวัสดุเหล็กกล้าทันแรงดึงดูงบนเครื่องทดสอบ Universal Tensile Testing

Machine ระบบไฮดรอลิก การทำงานของระบบนี้ อาศัยแรงกดทดสอบจากการอัดของน้ำมันไฮดรอลิก ไปยังระบบอุกสูบ โดยที่น้ำมันจะถูกปั๊มด้วยมอเตอร์ปั๊ม เครื่องทดสอบนี้สามารถควบคุมแรงทดสอบได้อย่างถูกต้อง รวดเร็วและสะดวก ไม่เกิดเสียงดังและการสั่นสะเทือนขณะทำการทดสอบ การทดสอบนี้จะเริ่มจากการนำชิ้นงานบนสายแล้วปล่อยแรงกดผ่านพันซ์ พันซ์จะดัดชิ้นงานลง มาประกบกับสายพอดีและด้วยจะเป็นตัวควบคุมรูปร่างหลังจากการดัด ตำแหน่งการวางชิ้นงานบนสายก่อนเริ่มทำการทดสอบสำหรับการดัดขึ้นรูปตัวรีวินน์ จะต้องวางชิ้นงานให้อยู่บริเวณกึ่งกลางของความยาวสายพอดีและต้องมาร์คตำแหน่งการวางในการทดสอบชิ้นงานชิ้นแรกนี้ไว้เพื่อให้ตำแหน่งการวางชิ้นงานทดลองในครั้งต่อไป จะต้องวางให้ตรงกับตำแหน่งแรกทุกชิ้นงานการทดสอบ เพราะตำแหน่งการวางของชิ้นงานที่แตกต่างกันอาจส่งผลให้ผลที่ได้จากการทดสอบนี้ผิดพลาดได้ จากนั้น ปล่อยแรงให้พันซ์กดชิ้นงานลงมาแตะที่สายโดยมีปีกสายเป็นตัวรองรับในชั้นแรกของการดัด หลังจากนั้นสายจะเป็นตัวควบคุมมุมของชิ้นงานทดสอบ

เมื่อพันซ์กดชิ้นงานลงมาแตะที่พันซ์ โดยความเร็วในการเคลื่อนที่慢ๆ แม่เหล็กของการทดสอบ ในระหว่างการทดสอบควรสังเกตการเปลี่ยนแปลงของชิ้นงานและการเปลี่ยนแปลงของแรงที่แสดงออกมากทางหน้าจอแสดงผลของคอมพิวเตอร์ที่มีการเชื่อมต่อกันของเครื่องทดสอบนี้ ระบบคอมพิวเตอร์จะบันทึกข้อมูลของการทดสอบนี้ไว้ในหน่วยความจำซึ่งผู้ทดสอบสามารถนำข้อมูลเหล่านี้มาศึกษาและวิเคราะห์ผลการทดสอบนี้ได้ด้วยความแม่นยำและถูกต้อง



รูปที่ 3.21 แสดงชิ้นงานและแม่พิมพ์ที่พร้อมสำหรับการทดสอบ

จากรูปที่ 3.22 ชิ้นงานทดสอบถูกวางลงตรงตำแหน่งที่ถูกต้องบนชุดแม่พิมพ์ที่ประกอบเสร็จเรียบร้อยพร้อมสำหรับการเริ่มทดสอบการดัดขึ้นรูป



รูปที่ 3.22 การทดสอบการดัดขึ้นรูปตัววี

จากรูปที่ 3.22 เริ่มทำการทดสอบโดยให้แรงดึงจากเครื่อง Universal Tensile Testing ผ่านพันธ์โดยให้พันธ์เคลื่อนที่ลงในแกน -Y มาด้วสตูลชิ้นงานทดสอบ จนน้ำสตูลทดสอบเริ่มถูกดัดลงโดยปากด้ายทั้ง 2 ข้างเป็นตัวควบคุมรูปร่างของชิ้นงานทดสอบในขั้นต้น ในช่วงนี้ชิ้นงานยังไม่แตกกับพันธ์ จึงยังไม่สามารถควบคุมมุมของชิ้นงานได้และระบบคอมพิวเตอร์ของเครื่องทดสอบเริ่มเก็บข้อมูลต่างๆของการทดสอบนี้ตั้งแต่เริ่มการให้แรงในการดัดชิ้นงาน



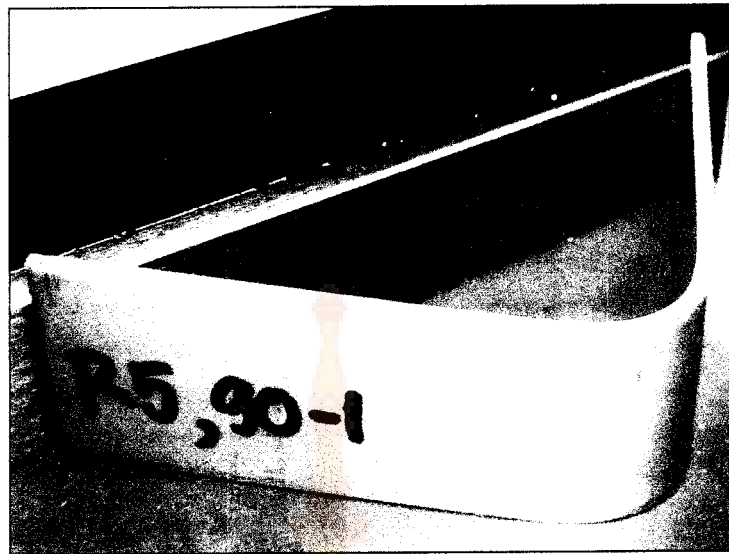
รูปที่ 3.23 การทดสอบการดัดขึ้นรูป

จากรูปที่ 3.23 พันซ์คลื่นที่ด้วยความเร็วเท่ากันมาแตะกับสายพอดีและจะต้องหยุดการให้แรงด้วยระบบ Manual และยกพันซ์ออกจากสาย จากนั้นคอมพิวเตอร์จะบันทึกข้อมูลต่าง ๆ ในรูปของกราฟและจะต้องทำการทดสอบชิ้นงานทุกชิ้นให้ครบตามเงื่อนไขการทดสอบที่ได้ออกแบบไว้ ตั้งแต่เริ่มต้นของการดัดจนถึงค่า Maximum Load โดยในระหว่างการทดสอบนั้นหน้าจอคอมพิวเตอร์จะแสดงผลลอกมา (รูปที่ 3.24) จากนั้นจะได้ข้อมูลต่างๆที่เครื่องบันทึกไว้ในรูปแบบของไฟล์



รูปที่ 3.24 หน้าจอแสดงผลระหว่างการทดสอบการดัดขึ้นรูป

ข้อมูลที่ได้จากการประมวลผลของระบบคอมพิวเตอร์ในเครื่องทดสอบ Universal Tensile Testing จะถูกนำไปวิเคราะห์แรงที่ใช้ในการดัดขึ้นรูป ส่วนชิ้นงานที่ได้หลังจากการดัดขึ้นรูป (รูปที่ 3.25) จะต้องนำไปวัดมุมเพื่อหาค่าสัมประสิทธิ์การดีดตัวกลับของวัสดุต่อไป



รูปที่ 3.25 ตัวอย่างขั้นงานที่ทดสอบการดัดขึ้นรูปตัววีสเต็มแล้ว

5. วิธีการวัดงานของขั้นงานทดสอบ

วิธีการวัดมุมของขั้นงานทดสอบหลังการดัดเพื่อให้ได้ค่าการวัดที่มีความน่าเชื่อถือ ต้องใช้เครื่องมือวัดมุมตัวเดียวกันในการวัดมุมทั้งหมดของขั้นงานทดสอบ อันเนื่องมาจากเครื่องมือวัดมุมที่ไม่ใช่ตัวเดียวกันอาจมีความคลาดเคลื่อนเล็กน้อย เนื่องจากความตึงของการใช้งานหรืออายุการใช้งานนั่นเอง การวัดมุมของขั้นงานหลังการดัดขึ้นรูปตัววีมีขั้นตอนดังต่อไปนี้

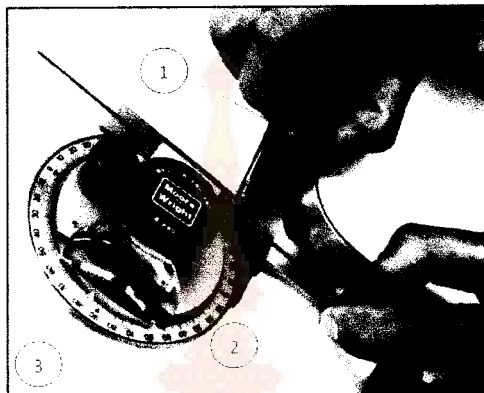
- อุปกรณ์ที่ใช้ในการวัดมุม



รูปที่ 3.26 360° Bevel Dial Protector

360° Bevel Dial Protector เป็นเครื่องมือวัดมุมที่ผลิตจากเหล็กกล้าไร้สนิมที่มีความแข็งสูง สามารถวัดมุมได้ 360 องศา มีความแม่นยำในการวัดสูง มีแหวนขยายช่วยให้การอ่านค่ามุมได้อย่างถูกต้องและเป็นที่ยอมรับกันอย่างกว้างขวาง

- วิธีการวัดมุม



รูปที่ 3.27 วิธีการวัดมุมชิ้นงานด้วย 360° Bevel Dial Protector

จากรูปที่ 3.27 แสดงวิธีการวัดมุมชิ้นงานหลังการตัดชิ้นรูปตัววี ในการวัดนั้น จะต้องปรับใบวัดมุมให้แนบสนิทกับชิ้นงานทั้ง 2 ตำแหน่ง คือตำแหน่งที่ 1 และ 2 ซึ่งข้อดีของเครื่องมือวัดมุมชนิดนี้ได้แก่ออกแบบมาให้สามารถในการวัดมุมได้ถึง 360 องศา แขนของใบวัดมุมทั้งสองนี้สามารถปรับตำแหน่งเลื่อนให้มุนเปลี่ยนไปได้จาก 0-360 องศาอยู่แล้ว หากชิ้นงานกับแขนของใบวัดมุมไม่แนบสนิทกัน จะทำให้การอ่านค่ามุมมีความพิศพาดได้

- วิธีการอ่านค่ามุม

จากรูปที่ 3.27 ในตำแหน่งที่ 3 นี้แสดงหน้าปัดที่มีแหวนขยายสำหรับให้สามารถอ่านค่ามุมจากหน้าปัดได้อย่างชัดเจนมากยิ่งขึ้น เนื่องจากตักษณะ โครงสร้างของใบวัดมุมสามารถใช้วัดมุมได้ทั้งสองด้านดังภาพที่ 3.27, 3.28 โดยองค์ที่อ่านได้จากปีกสเกลบนองค์ที่แตกต่างกัน คือ ภาพที่ 3.27 การใช้ใบวัดมุม วัดมุมของชิ้นงานซึ่งอยู่ทางขวาของแขนวัดมุม ค่าวัดมุมของขาของชิ้นงานมีค่าเท่ากับค่าวัดองค์ที่อ่านได้



รูปที่ 3.28 การวัดมุมด้านขวา

การใช้ใบวัดมุม วัดมุมของชิ้นงานซึ่งอยู่ทางซ้ายมือของแขนวัดมุมค่าวัดคงศากของชิ้นงานมีค่าเท่ากับ $180^\circ -$ ค่าวัดคงศากที่อ่านได้ วิธีการ量งานดังรูปที่ 3.28



รูปที่ 3.29 การวัดมุมด้านซ้าย

นอกจากเครื่องมือและความชำนาญของผู้วัดเองแล้ว วิธีการวัดยังส่งผลต่อค่าความคลาดคติอ่อนเช่นเดียวกัน ซึ่งผู้ทำการวัดเองสามารถหลีกเลี่ยงได้ โดยสิ่งที่ผู้วัดต้องพึงระวังและสังเกตในการวัดมุนช์งานทดสอบมีดังต่อไปนี้ คือ

- แนวเดิงของสายตาจะต้องอยู่ในตำแหน่งที่ถูกต้อง
- ปลายเข็มซีคสเกลจะต้องเหลมพอ
- จุดสเกลบนกองศากจะต้องชัดเจน
- ชิ้นงานจะต้องตอบคุณให้เรียบร้อย
- ควรยืดหรือ枉ชิ้นงานให้มั่นคงขณะวัด
- ขณะใช้ใบวัดมุนวัดมุนช์งานจะต้องกดใบบอกองศาและแขนงวัดมุน ให้แนบสนิทกับผิวงานจริง ๆ

การทดสอบการดัดขึ้นรูปตัววีสำหรับวัสดุเหล็กกล้าหànแรงดึงสูงทั้งหมดตามเงื่อนไขการทดสอบเหล้า เนื่องจากการศึกษาการเกิดการดีดตัวกลับ (Spring Back) จึงต้องนำชิ้นงานทั้งหมดนี้ไปวัดมุนที่มีการเปลี่ยนแปลงไปจากค่ามุนของดယ เมื่อได้ค่ามุนที่เปลี่ยนไปแล้วนำไปคำนวณหาค่าสัมประสิทธิ์การเกิดการดีดตัวกลับ ตามทฤษฎีในบทที่ 2 แรงที่ใช้ในการดัดขึ้นรูปจะถูกบันทึกไว้ในหน่วยความจำของคอมพิวเตอร์แล้ว สามารถนำข้อมูลเหล่านั้นไปใช้ในการวิเคราะห์แรงต่อไป

3.2.2.3 การจำลองกระบวนการดัดขึ้นรูปด้วยวิธีไฟไนต์เอลิเมนต์

ปัญหาที่สำคัญอย่างหนึ่งในกระบวนการดัดขึ้นรูปโลหะแผ่น เช่น โลหะแผ่นเกิดการดีดตัวกลับ หลังจากการคลายแรงที่ใช้ในการดัดขึ้นรูปออกจากชิ้นงานแล้ว ทำให้รูปทรงของชิ้นงานเปลี่ยนไปและไม่ได้ลักษณะรูปทรงตามต้องการ ในปัจจุบันการแก้ปัญหาดังกล่าว ควรจะหาเทคโนโลยีที่เหมาะสม เช่น ระบบวิธีไฟไนต์เอลิเมนต์ มาใช้ในการวิเคราะห์หาความเหมาะสมในการขึ้นรูปและสามารถนำไปออกแบบแม่พิมพ์ดัดขึ้นรูป เพื่อให้การทำงานมีประสิทธิภาพสูงขึ้น ตลอดจนนำไปประยุกต์ใช้กับลักษณะงานอื่นๆที่ใกล้เคียงกัน และยังสามารถทำงานอย่างรวดเร็วและแม่นยำ ลดเวลาและต้นทุนลงได้ จึงเป็นการแนะนำที่ดีที่สุดในการดัดขึ้นรูป แต่ในกระบวนการดัดขึ้นรูปด้วยวิธีไฟไนต์เอลิเมนต์มาใช้ ศึกษาแรงและพฤติกรรมการเกิดการดีดตัวกลับในการดัดขึ้นรูปตัววี สำหรับเหล็กกล้าหànแรงดึงสูง

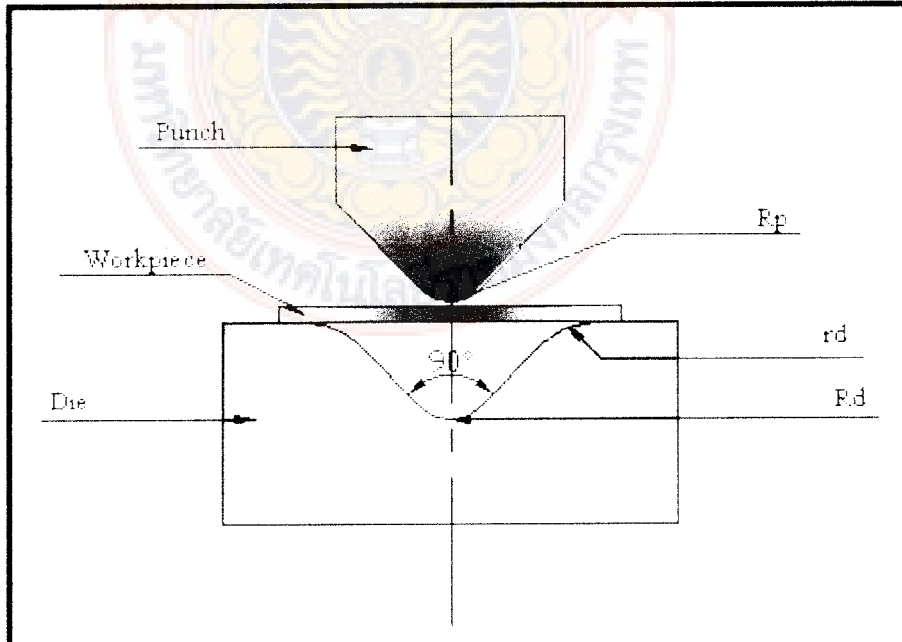
1. โปรแกรมสำหรับวิเคราะห์ด้านไฟไนต์เอลิเมนต์

ในการวิเคราะห์กรรมวิธีการตัดชิ้นรูปตัววีด้วยระเบียบวิธีทางไฟไนต์อเลี่ยมเน็ต โดยซอฟแวร์สำเร็จรูปที่มีชื่อรึยกว่า Marc เวอร์ชัน 2008 ซึ่งเป็นซอฟแวร์ที่ใช้วิเคราะห์งาน 2 มิติ สามารถใช้โปรแกรม Marc เข้ามาใช้ในงานศึกษานี้เนื่องจากโปรแกรมดังกล่าวมีข้อดีคือ มีฟังก์ชันที่เรียกว่า Automatic Adaptive Remeshing ซึ่งจะทำการสร้างэลิเม้นต์ชิ้นใหม่โดยอัตโนมัติเมื่อมีการเปลี่ยนแปลงรูปร่างไปมาก (Large Deformation) จึงทำให้สามารถวิเคราะห์กระบวนการตัดชิ้นรูปที่มีการเปลี่ยนรูปร่างมาก ๆ เช่นการตัดชิ้นรูป (Forging) และการตัดเฉือน (Blanking and Shearing) ได้โดยมีความคลาดเคลื่อนน้อย หลังจากการจำลองเราสามารถวัดขนาดชิ้นงานที่ต้องการได้โดยไม่ต้องอาศัยกระบวนการวัดจากกระบวนการอื่น

2. เสื่อนไชในการวิเคราะห์

แบบการวิเคราะห์เป็นแบบ Plane Strain แบบจำลองที่ใช้ในการวิเคราะห์ (Analysis Model) แสดงในภาพที่ 3.30 และเสื่อนไชในการวิเคราะห์แสดงในตารางที่ 3.3

การวิเคราะห์จะกำหนดให้เครื่องมือ ซึ่งประกอบด้วย พันช์-ดาย เป็น Rigid Body คือสมมติให้มีการเปลี่ยนรูปในขณะที่ทำการเปลี่ยนรูปเพื่อจำลองการทำงานและชิ้นงานถูกกำหนดให้เป็น Elasto-Plastic



รูปที่ 3.30 แบบจำลองที่ใช้ในการวิเคราะห์ไฟไนต์อเลี่ยมเน็ต

สมบัติทางกลของชิ้นงานและความสัมพันธ์ระหว่างความเค็นและความเครียดจริง (Flow Curve) หาได้จากการทดสอบการดึง โดยใช้ความสัมพันธ์ระหว่างความเค็นและความเครียดจริงของ Power Law และคงพุติกรรมของวัสดุที่ใช้ทดลอง เนื่องจากความสัมพันธ์ดังกล่าวสามารถอธิบายพุติกรรมของวัสดุเหนี่ยวจากจุดครากตัวจนถึงการระเบิดสูงสุดได้เหมาะสม

ตารางที่ 3.2 เมื่อนำไปใช้ของการวิเคราะห์

สมบัติทางกลของชิ้นงาน	เหล็กกล้าทันแรงดึงสูง ค่าความแข็งแรงดึงสูงสุด 738 N/mm^2
ความเค็นสมมูล(Flow Curve)	$\bar{\sigma} = 651\varepsilon^{0.375}$
เส้นผ่าศูนย์กลางด้าย	30 mm
เส้นผ่าศูนย์กลางพันซ์	30 mm
ช่องว่างระหว่างพันซ์กับด้าย	60 mm
รัศมีที่ปลายพันซ์	10,12.5,15,17.5,20 และ 22.5 mm
รัศมีที่ปลายด้าย	10,12.5,15,17.5,20 และ 22.5 mm
ชนิดของการวิเคราะห์	Plane Strain
สัมประสิทธิ์ความเสียดทาน	0.1

โปรแกรม Mach สามารถวิเคราะห์ความเสียหายที่เกิดขึ้นในเนื้อวัสดุได้ แต่ต้องกำหนดเกณฑ์ความเสียหาย (Fracture criterion) ที่เหมาะสม เกณฑ์ของความเสียหายที่เลือกใช้ในงานโครงการนี้คือ Normalized Cockcroft & Latham เนื่องจากสามารถทำนายความเสียหายของวัสดุในกระบวนการดัดขึ้นรูปตัววีได้อย่างแม่นยำ สามารถแสดงให้เห็นในรูปของสมการข้างล่างนี้

$$c = \int_0^{\bar{\varepsilon}_f} \frac{\sigma_1}{\bar{\sigma}} d\bar{\varepsilon} \quad \dots(3.1)$$

เมื่อ σ = ค่าความเค็นหลักสูงสุด(Maximum Principle Stress)

$\bar{\sigma}$ = ค่าความเค็นสมมูลย์ (Equivalent Stress)

$\bar{\varepsilon}$ = ความเครียดสมมูลย์

$\bar{\varepsilon}_f$ = ความเครียดสมมูลย์ขณะเกิดความเสียหาย

โดยที่ค่าที่ได้จากการอินพิเกรตตามสมการที่ 3.1 มากกว่าค่าวิกฤต C ซึ่งเป็นค่าคงที่เฉพาะของวัสดุ แสดงว่าจะเกิดความเสียหายกับวัสดุชิ้นงานขึ้น การกำหนดค่า C สามารถทำได้สองวิธี คือ เปรียบเทียบตำแหน่งที่เริ่มเกิดความเสียหาย (Crack Initiation) ของชิ้นงานในกระบวนการดัดจริง กับตำแหน่งที่เกิดขึ้นในการจำลองการทำงานและอีกวิธี คือการทำการทดสอบแรงดึงหรือการอัดวัสดุแล้วจึงคำนวณหาค่า C จาก สมการที่ 3.1

ในการศึกษานี้หาค่า C โดยวิธีการเปรียบเทียบตำแหน่งที่เริ่มเกิดความเสียหายของชิ้นงานในกระบวนการดัดจริงกับตำแหน่งที่เกิดขึ้นในการจำลองการทำงานดังรูปที่ 3.30 จากการศึกษาครั้งนี้ เป็นการเปรียบเทียบผลจากการทดสอบและการจำลองการทำงานด้วยวิธีไฟฟ้าในตู้อลิเมนตอร์ยูเดวโดยเปรียบเทียบกับชิ้นงานที่เริ่มเกิดความเสียหายเร็วที่สุด สำหรับเหล็กที่ใช้ในการทดลองครั้งนี้มีค่า $C=0.662$

3.3 สรุปการดำเนินงาน

การศึกษาการดัดขึ้นรูปตัววีสำหรับวัสดุเหล็กกล้าทันแรงดึงสูง นี้ เพื่อให้ได้ผลลัพธ์ตรงกับวัตถุประสงค์ของการวิจัย ผู้ทำการศึกษาได้ออกแบบขั้นตอนการศึกษาไว้ โดยเริ่มจากการศึกษาเนื้อหาและทฤษฎีที่เกี่ยวข้องกับงานวิจัย เมื่อเข้าใจทฤษฎีแล้วจึงเริ่มทำการออกแบบการจำลองและการทดลอง ก่อนการทดลองและจำลองนั้นต้องมีความสมบัติทางกลของวัสดุก่อน โดยการนำชิ้นงานทดสอบมาทดสอบแรงดึง เมื่อได้สมบัติทางกลของวัสดุทดสอบแล้วสามารถทำการทดสอบ และจำลอง และวิเคราะห์ผลจากการจำลองและการทดลอง ในกรณีที่มีผลที่ต้องนำมาเปรียบเทียบระหว่างการจำลองและการทดลองด้วย ซึ่งผลของการทดลองและการจำลองนั้นได้แสดงไว้ในบทที่ 4 รวมถึงการเปรียบเทียบระหว่างผลการทดลองและผลของการจำลอง หากผลลัพธ์เหล่านั้นมีความสอดคล้องกันแสดงว่าผลลัพธ์การทดลองและผลลัพธ์จำลองนี้มีความน่าเชื่อถือ สามารถนำข้อมูลไปประยุกต์ใช้และเป็นฐานข้อมูลในการออกแบบแม่พิมพ์สำหรับเหล็กตัวทันแรงดึงสูงได้

บทที่ 4

ผลและวิเคราะห์ผลการวิจัย

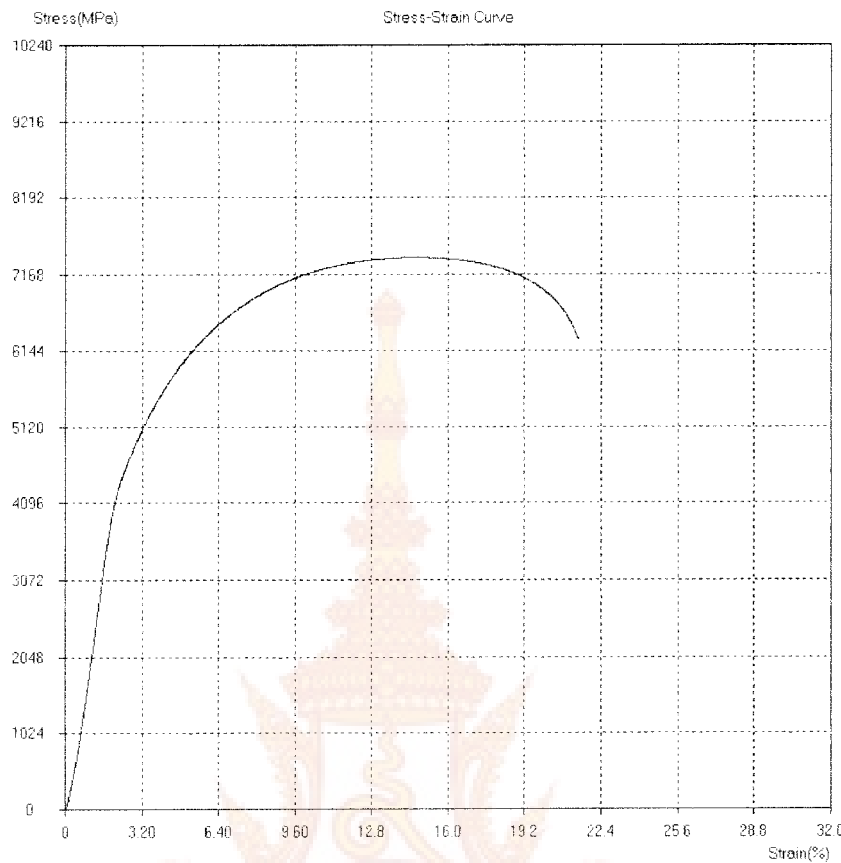
ผลลัพธ์การดำเนินการวิจัยและจำลองตามขั้นตอนที่ได้กล่าวไว้ในบทที่ 3 โดยเริ่มจากผลลัพธ์การทดสอบการดึง การทดสอบและจำลองการตัดขึ้นรูปตัววีและการดีดตัวกลับ (Spring-back) ของ การตัดขึ้นรูปตัววีสำหรับวัสดุเหล็กกล้าทันแรงดึงสูง ได้วิเคราะห์สรุปผลและเปรียบเทียบตัวแปรต่างๆ ระหว่างการจำลองกับการทดสอบเพื่อทำนายพฤติกรรมการตัดขึ้นรูปและการประยุกต์ใช้ ข้อมูลเหล่านี้ในการออกแบบแม่พิมพ์หลังจากการตัดขึ้นรูป

4.1 ผลลัพธ์การทดสอบการดึง

การทดสอบโดยการดึง เป็นวิธีการทดสอบที่ง่ายที่สุดในทุกวิธีของการทดสอบสมบัติทางกลของวัสดุ และนิยมทดสอบกันมาก เพราะสามารถที่จะให้ผลที่เป็นคุณสมบัติทางกลพื้นฐาน พอสมควร เช่น ให้ผลเกี่ยวกับความต้านทานแรงดึง ความยืดตัว ความเหนียว ความเปราะ และลักษณะการแตกหักของวัสดุ ซึ่งนับว่าเป็นประโยชน์ต่อการออกแบบและเลือกใช้วัสดุให้เหมาะสม กับการใช้งานต่อไป โดยทั่วไปการทดสอบก็ต้องใช้แรงดึงที่เพิ่มขึ้นอย่างสม่ำเสมอเดื่งชื่นงาน ทดสอบให้หยุดออกและขาดในที่สุด ก่อนที่จะนำวัสดุชนิดใดมาทำการทดสอบ สิ่งที่ต้องดำเนินการ สิ่งแรกคือ การนำเอาวัสดุที่จะใช้ในการทดสอบและจำลอง มาทำการทดสอบหาสมบัติของวัสดุเพื่อ หาค่าอ้างอิงไปใช้ในการทดสอบและการจำลองการตัดขึ้นรูปตัววีสำหรับวัสดุเหล็กกล้าทันแรงดึง สูง

ตารางที่ 4.1 ผลการทดสอบการดึงของวัสดุเหล็กกล้าทันแรงดึงสูง

ผลลัพธ์การทดสอบการดึง วัสดุเหล็กกล้าทันแรงดึงสูง จากกราฟความเค้น-ความเครียด			
Size(mm)	2	F _p (kN)	11.375
S ₀ (mm ²)	2*16.25	R _p (MPa)	350
L ₀ (mm)	25	F _t (kN)	20.22
F _m (kN)	24	R _t (MPa)	622
R _m (MPa)	738	E(GPa)	210



รูปที่ 4.1 กราฟแสดงความสัมพันธ์ระหว่างความเค้นกับความเครียด

จากการทดสอบการดึงวัสดุเหล็กกล้าหกแרגดึงสูงได้ผลลูกน้ำดังต่อไปนี้
 ค่าแรงดึงสูงสุดที่วัดได้จากเครื่องทดสอบ (F_m) = 23.985 kN
 ค่าแรงดึงที่จุด Yield Point โดย Offset 0.2 % Strain (F_p) = 11.375 kN
 ขนาดพื้นที่หน้าตัดชิ้นงานทดสอบ = 16.25 mm x 2 mm

- คำนวณหาค่าความเค้นสูงสุด (Ultimate Stress) ของวัสดุเหล็กกล้าหกแרגดึงสูง

$$\text{Ultimate Stress } (\sigma_u) = \frac{F}{A}$$

$$\text{เมื่อ } F_m = 23.985 \text{ kN}$$

$$A \text{ พื้นที่หน้าตัด} = 32.5 \text{ mm}^2$$

$$\text{Ultimate Stress } (\sigma_u) = \frac{23.985 \times 1000 \text{ N}}{32.5 \text{ mm}^2}$$

$$\text{Ultimate Stress } (\sigma_u) = 738 \text{ N/mm}^2$$

- คำนวณหาค่า Yield Stress (σ_y) ของวัสดุเหล็กกล้าทันแรงดึงสูง

$$\text{Yield Stress } (\sigma_y) = \frac{\text{แรงที่จุด Yield}}{\text{พื้นที่ก่อนดึง}}$$

$$\text{เมื่อ } F_p \text{ แรงที่จุด Yield} = 11.375 \text{ kN}$$

$$A \text{ พื้นที่หน้าตัด} = 32.5 \text{ mm}^2$$

$$\text{Yield Stress } (\sigma_y) = \frac{11.375 \times 1000 \text{ N}}{32.5 \text{ mm}^2}$$

$$\text{Yield Stress } (\sigma_y) = 350 \text{ N/mm}^2$$

ค่า Ultimate Tensile Strength (σ_u) เป็นค่าความแข็งแรงสูดของวัสดุ ก่อนที่วัสดุนั้นจะขาดออกจากกัน แต่ไม่ใช่ค่าที่จะนำไปใช้ในการคำนวณการออกแบบทางวิศวกรรม หรือทางงานโครงสร้างของวัสดุเหล็กกล้าทันแรงดึงสูง มีค่า Ultimate Tensile Strength = 738 N/mm^2

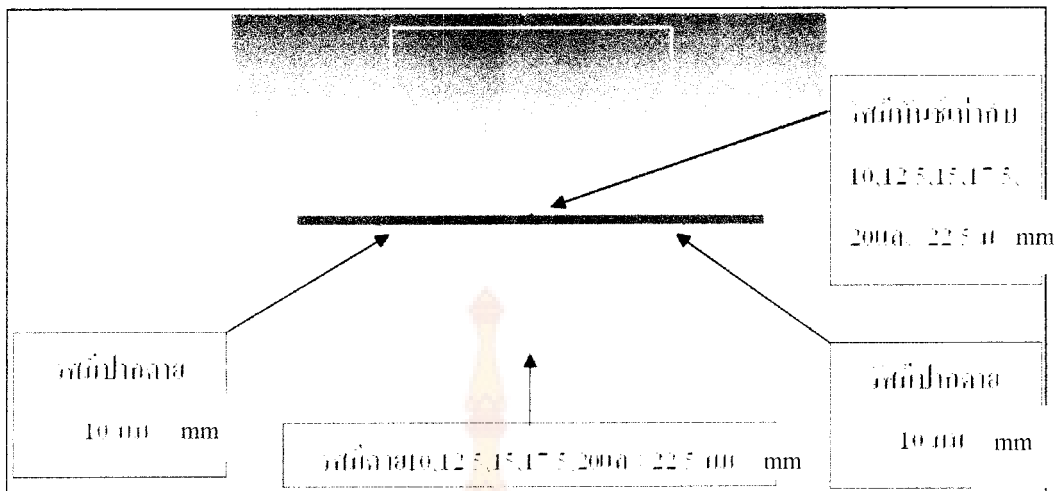
ค่า Yield Strength (σ_y) ไม่ใช่เป็นค่าความแข็งแรงสูดของวัสดุ แต่เป็นค่าที่นำมาใช้ในการคำนวณทางค้านงานวิศวกรรม ซึ่งจะเป็นค่าที่ให้ความปลอดภัยแก่ผู้คำนวณไปใช้งาน สำหรับงานต่างๆ จากการทดสอบนิรภัยเหล็กกล้าทันแรงดึงสูง มีค่า Yield Point = 350 N/mm^2

4.2 การวิเคราะห์ผลตัวแปรที่มีอิทธิพลต่อการเกิดการดีดตัวกลับ

พฤติกรรมการดีดตัวกลับของวัสดุ อธิบายได้จากการเปลี่ยนรูปที่เกิดขึ้นหลังการการเคลื่อนที่พื้นชื้อกจากภายในแนวแกนการดัดขึ้นรูป โดยเฉพาะอย่างยิ่งงานขึ้นรูปโลหะแผ่น เนื่องจากเนื้อวัสดุตรงบริเวณเส้นแกนกลางของแผ่น มีความเค้นเกิดขึ้นไม่สูงมากอยู่ในช่วงยืดหยุ่น (Elastic deformation) เมื่อยกพื้นชื้อกจากภายใน เนื่อวัสดุส่วนนี้จะพยายามดีดตัวกลับสู่รูปปั้งเดิม แต่เนื่อวัสดุที่อยู่ห่างเนื้อเส้นแกนกลางจะมีความเค้นเกิดขึ้นเกินจุดครากเป็นตัวทำให้พยายามด้านการกลับสู่รูปปั้งเดิม โดยปกติแล้วแนวโน้มการเกิดการดีดตัวกลับในเนื้อวัสดุเกิดจากหลายปัจจัย แต่ในการศึกษานี้ได้ศึกษาตัวแปรต่อไปนี้คือ รัศมีพื้นชื้อ มนพื้นชื้อ ความเค้นครากของชิ้นงาน ทดสอบที่อาจมีอิทธิพลต่อการเกิดการดีดตัวกลับหลังจากการดัดขึ้นรูป

4.2.1 อิทธิพลของรัศมีพื้นชื้อที่ส่งผลต่อการเกิดการดีดตัวกลับ(Spring-back)

เพื่อให้ทราบถึงอิทธิพลของรัศมีพื้นชื้อ ที่ส่งผลต่อการเกิดการดีดตัวกลับของวัสดุในการดัดขึ้นรูปตัววีสำหรับวัสดุเหล็กกล้าทันแรงดึงสูงโดยกำหนดให้มุมพื้นชื้อ เท่ากับ 90° ผู้ศึกษาได้วิเคราะห์และเปรียบเทียบผลจากการทดสอบและการจำลอง



รูปที่ 4.2 แสดงรัศมีค่าต่างๆสำหรับการวิเคราะห์การจำลอง

จากรูปที่ 4.2 การจำลองการดัดขึ้นรูปด้วยสำหรับวัสดุเหล็กกล้า扁แรงดึงสูงเพื่อเปรียบเทียบค่ารัศมีพันซ์ต่อไปนี้คือ รัศมีพันซ์เท่ากับ 10, 12.5, 15, 17.5, 20 และ 22.5 mm ที่ส่งผลต่อการเกิดการดีดตัวกลับ ที่ความเค้นครากเท่ากับ 350 N/mm^2 รัศมีปากด้วยเท่ากับ 10 มิลลิเมตรและมุมของแม่พิมพ์เท่ากับ 90°

$$k_R = \frac{\alpha_r}{\alpha} = \frac{r_i + S_o/2}{r_{i,r} + S_o/2} \quad \dots(4.1)$$

เมื่อ

k_R = Spring back Factor

α_r = มุมดัดของแม่พิมพ์ (องศา)

α = มุมดัดของชิ้นงานที่ได้หลังจากการดีดตัวกลับ (องศา)

r_i = รัศมีดัดที่ได้ของชิ้นงานเมื่อเกิดการดีดตัวกลับ (mm)

$r_{i,r}$ = รัศมีดัดของพันซ์ (mm)

S_o = ความหนาของแผ่นเปล่า (mm)

$$\text{การจำลองที่รัศมีพันซ์ } 10 \text{ mm} \quad k_R = \frac{\alpha_r}{\alpha} \text{ แทนค่า } = \frac{9.87 + (0.5)(2)}{10 + (0.5)(2)}$$

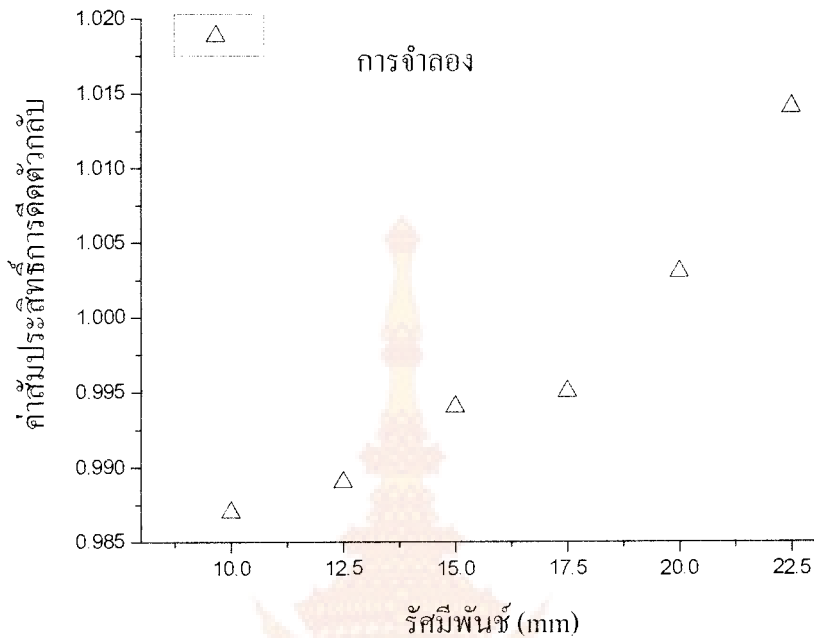
$$k_R = 0.987$$

การจำลองที่รัศมีพื้นที่ 12.5 mm	$k_R = \frac{\alpha_r}{\alpha} \text{ แทนค่า } = \frac{12.38+(0.5)(2)}{12.5+(0.5)(2)}$
	$k_R = 0.989$
การจำลองที่รัศมีพื้นที่ 15 mm	$k_R = \frac{\alpha_r}{\alpha} \text{ แทนค่า } = \frac{14.9+(0.5)(2)}{15+(0.5)(2)}$
	$k_R = 0.993$
การจำลองที่รัศมีพื้นที่ 17.5 mm	$k_R = \frac{\alpha_r}{\alpha} \text{ แทนค่า } = \frac{17.41+(0.5)(2)}{17.5+(0.5)(2)}$
	$k_R = 0.994$
การจำลองที่รัศมีพื้นที่ 20 mm	$k_R = \frac{\alpha_r}{\alpha} \text{ แทนค่า } = \frac{20.07+(0.5)(2)}{20+(0.5)(2)}$
	$k_R = 1.003$
การจำลองที่รัศมีพื้นที่ 22.5 mm	$k_R = \frac{\alpha_r}{\alpha} \text{ แทนค่า } = \frac{22.8+(0.5)(2)}{22.5+(0.5)(2)}$
	$k_R = 1.013$

ตารางที่ 4.2 แสดงการคำนวณค่าสัมประสิทธิ์การคิดตัวกลับจากการจำลอง

ลำดับที่	รัศมีพื้นที่ (mm) (r1)	รัศมีชื่นงานหลังคัด (mm) (r2)	ค่าสัมประสิทธิ์การคิดตัวกลับ (kR)
1	10	9.870	0.987
2	12.5	12.368	0.989
3	15	14.909	0.994
4	17.5	17.412	0.995
5	20	20.074	1.003
6	22.5	22.808	1.014

จากตาราง 4.2 การคำนวณค่าสัมประสิทธิ์การคิดตัวกลับจะเห็นค่าสัมประสิทธิ์การคิดตัวกลับจะมีแนวโน้มเพิ่มมากขึ้นเรื่อยๆ เมื่อค่าของรัศมีพื้นที่เพิ่มมากขึ้นและ ค่าสัมประสิทธิ์การคิดตัวกลับมีค่าน้อยแสดงว่ารัศมีพื้นที่มีค่าน้อยลงเรื่อยๆ



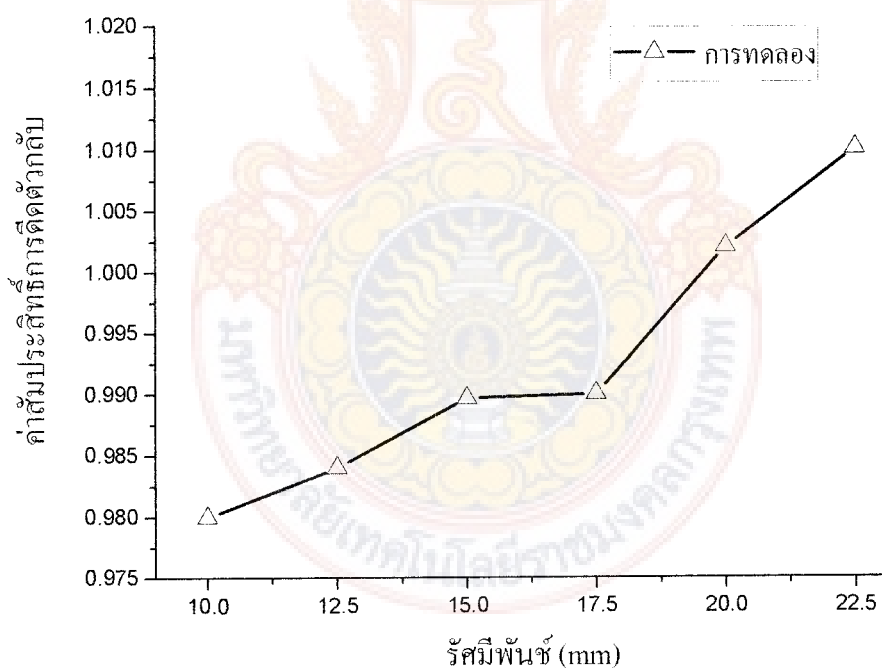
รูปที่ 4.3 กราฟแสดงอิทธิพลของรัศมีพันช์ที่ส่งผลต่อการเกิดการดีดตัวกลับของการดัดขึ้นรูปตัววีสำหรับวัสดุเหล็กกล้าทันแรงดึงดูง จากการจำลอง

จากรูปที่ 4.3 กราฟแสดงความสัมพันธ์ระหว่างค่ารัศมีพันช์ค่าต่างๆ กับค่าสัมประสิทธิ์การเกิดการดีดตัวกลับของชิ้นงานหลังการดัดขึ้นรูป พบว่าที่รัศมีพันช์เท่ากับ 10 mm มีการเกิดการดีดตัวกลับน้อยที่สุด โดยค่าสัมประสิทธิ์การดีดตัวกลับ (Spring-back Factor) เท่ากับ 0.987 จากนั้นเมื่อรัศมีของพันช์เพิ่มขึ้นแนวโน้มของค่าสัมประสิทธิ์การเกิดการดีดตัวกลับจะเพิ่มขึ้นเรื่อยๆ ที่มุ่งมองแย่พิมพ์ รัศมีปากดายและความเห็นครากไม่เปลี่ยนแปลงในทางตรงกันข้าม เมื่อรัศมีพันช์ลดลงแนวโน้มค่าสัมประสิทธิ์จะลดลงเรื่อยๆ เช่นเดียวกัน

การดัดขึ้นรูปตัววี เพื่อเป็นการยืนยันข้อมูลแนวโน้มการเกิดการดีดตัวกลับที่ได้จากการจำลอง โดยไฟในแอลิเมนต์กับสภาพการทำงานจริง จึงจำเป็นต้องมีการนำเอาผลการจำลองมาเปรียบเทียบกับการทดลองเพื่อดูว่าแนวโน้มในค่าสัมประสิทธิ์การดีดตัวกลับมีความแตกต่างกันมากหรือน้อยเพียงใดจากการจำลองและทดลอง

ตารางที่ 4.3 แสดงการคำนวณหาค่าสัมประสิทธิ์การดีดตัวกลับจากการทดลอง

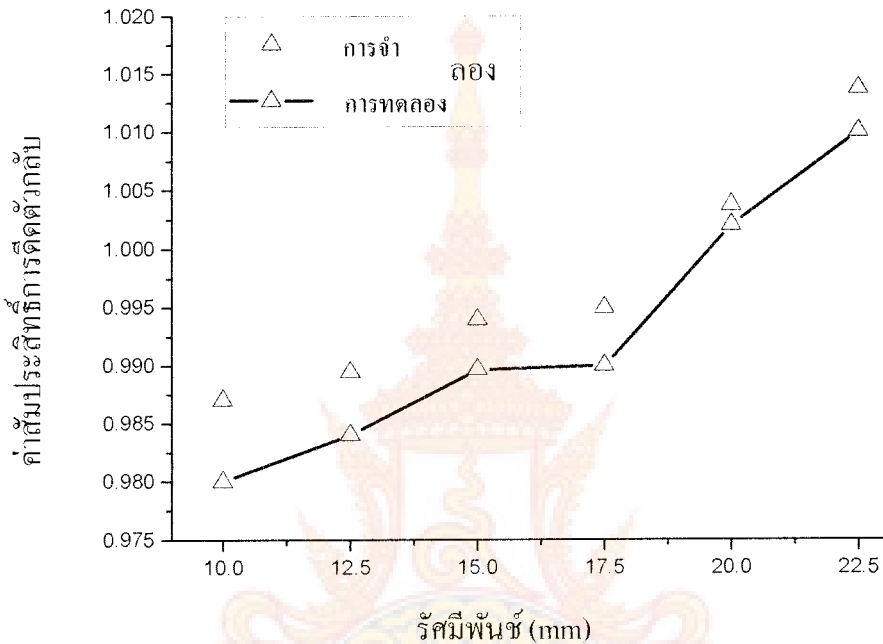
พื้นช์ (mm)	ดาว (mm)	รัศมีปากดาว (mm)	ค่าสัมประสิทธิ์การดีดตัวกลับ (kR)
10	10	10	0.980
12.5	12.5	12.5	0.984
15	15	15	0.989
17.5	17.5	17.5	0.990
20	20	20	1.002
22.5	22.5	22.5	1.010



รูปที่ 4.4 แสดงอิทธิพลของรัศมีพื้นช์ที่ส่งผลต่อการเกิดการดีดตัวกลับของการดัดขึ้นรูปตัววีสำหรับวัสดุเหล็กกล้าทันแรงดึงดูงจากการทดลอง

จากรูปที่ 4.4 กราฟแสดงความสัมพันธ์ระหว่างรัศมีพื้นช์ค่าต่าง ๆ กับค่าสัมประสิทธิ์การเกิดการดีดตัวกลับของชิ้นงานหลังการทดลองการดัดขึ้นรูปตัววีสำหรับวัสดุเหล็กกล้าทันแรงดึงดูง ที่ มุมพื้นช์ค้านเท่ากับ 90° รัศมีปากดาวเท่ากับ 10 mm และความเคนครากเท่ากับ 350 N/mm^2

กำหนดให้ค่ารัศมีพื้นที่ 10, 12.5, 15, 17.5, 20 และ 22.5 mm พบร่วมกันของค่าสัมประสิทธิ์การเกิดการดีดตัวกลับเพิ่มขึ้นเรื่อยๆ และเมื่อค่ารัศมีพื้นที่เพิ่มขึ้นในทางตรงกันข้าม เมื่อค่ารัศมีพื้นที่ลดลงค่าสัมประสิทธิ์การเกิดการดีดตัวกลับลดลงเช่นเดียวกับการจำลองที่ผ่านมา



รูปที่ 4.5 แสดงการเปรียบเทียบการเกิดการดีดตัวกลับของชิ้นงานระหว่างการจำลอง และการทดลอง

จากรูปที่ 4.5 กราฟแสดงการเปรียบเทียบอิทธิพลของรัศมีพื้นที่ค่าต่างๆ ที่ส่งผลต่อการเกิดการดีดตัวกลับของชิ้นงานระหว่างการจำลองและการทดลอง สามารถบ่งบอกได้ว่าการเกิดการดีดตัวกลับจากการทดลองให้ผลที่ใกล้เคียงกับการจำลอง ซึ่งแสดงให้เห็นว่า การหาค่าการเกิดการดีดตัวกลับของวัสดุเหล็กกล้าทันแรงดึงดูดจากการดัดขึ้นรูปด้วยไฟไนต์เอลิเมนต์ได้โดยไม่ต้องทดลอง ซึ่งมีจุดที่แตกต่างบ้างเล็กน้อย โดยเกิดจากค่าความเค้นครากของวัสดุที่แตกต่างกันและการเก็บข้อมูลอย่างละเอียดของตัวโปรแกรมจึงทำให้การพล็อตกราฟได้ลักษณะเช่นเดียวกัน

4.2.2 อิทธิพลของความเค้นครากที่ส่งผลต่อการเกิดการดีดตัวกลับ (Spring-back)

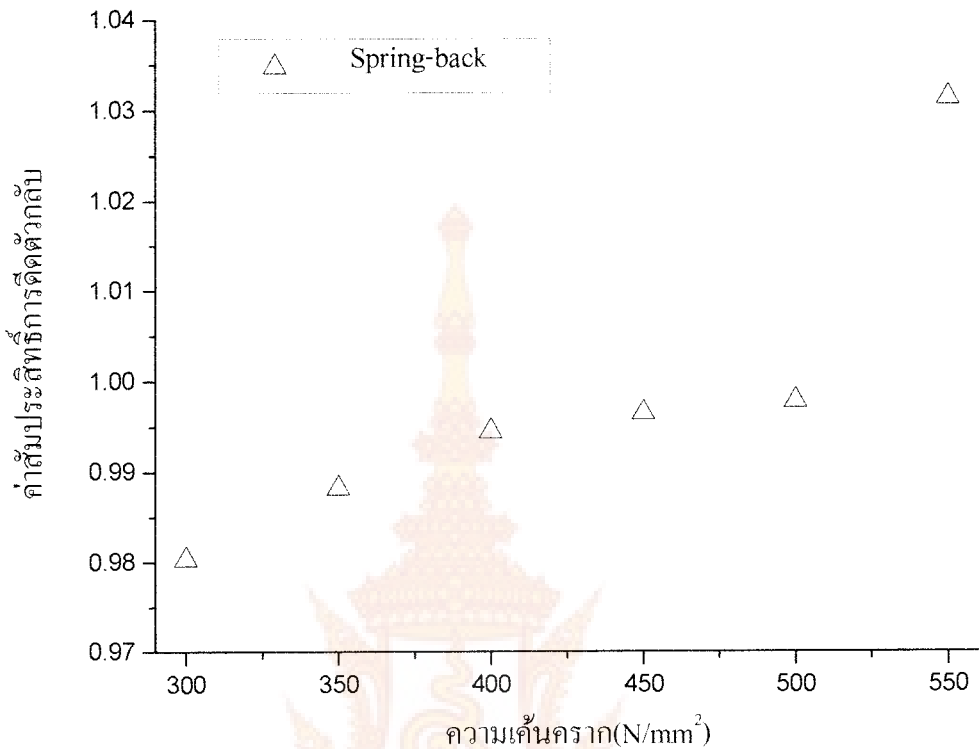
โดยธรรมชาติ วัสดุทุกชนิดจะมีคุณสมบัติในการเปลี่ยนรูปในลักษณะทั้งแบบยืดหยุ่นได้ (Elastic) และแบบถาวร (Plastic) ซึ่งการเปลี่ยนรูปดังกล่าวจะเป็นแบบใดนั้นขึ้นอยู่กับแรงที่มา

กระทำกับวัสดุ โดยที่ถ้าแรงที่มากระทำกับวัสดุมากกว่าค่าความเค้นครากของวัสดุ การเปลี่ยนรูปแบบถาวร (Plastic) ก็จะเกิดขึ้น แต่ถ้าแรงที่มากระทำกับวัสดุไม่นำมากเกินค่าความเค้นครากของวัสดุ วัสดุก็จะกลับคืนสู่รูปร่างเดิม

การวิเคราะห์อิทธิพลของความเค้นครากที่ส่งผลต่อการเกิดการดีดตัวกลับของชิ้นงาน หลังจากการดัดขึ้นรูปตัววีสำหรับวัสดุเหล็กกล้าหกแฉก แรงดึงสูงจากการจำลอง โดยการเปรียบเทียบผลของการเกิดการดีดตัวกลับที่ค่าความเค้นครากเท่ากับ $300, 350, 400, 450, 500$ และ 550 N/mm^2 ที่รัศมีพันธ์เท่ากับ $10, 12.5, 15, 17.5, 20$ และ 22.5 mm โดยมีเงื่อนไข รัศมีปากดายเท่ากับ 15 มิลลิเมตร และมุมของพันธ์ดายเท่ากับ 90°

ตารางที่ 4.4 แสดงการคำนวณความเค้นครากที่ส่งผลต่อการดีดตัวกลับ

ความเค้น คราก	รัศมีดาย	รัศมีพันธ์	รัศมีปากดาย	มุมเมมพิมพ์ α_1	มุมชิ้นงาน α_2	ตัมประสิทธิ์การ ดีดตัวกลับ(kR)
300	10	8	10	90	88.23	0.980
350	10	8	10	90	88.94	0.988
400	10	8	10	90	89.5	0.994
450	10	8	10	90	89.68	0.996
500	10	8	10	90	89.8	0.998
550	10	8	10	90	92.82	1.031



รูปที่ 4.6 แสดงอิทธิพลของความคื้นครากรที่ส่งผลต่อการเกิดการดีดตัวกลับในการตัดขึ้นรูปตัววี

จากรูปที่ 4.6 กราฟแสดงความสัมพันธ์ระหว่างความคื้นครากรค่าต่างๆ กับค่าสัมประสิทธิ์การเกิดการดีดตัวกลับของวัสดุเหล็กกล้าทันเรցดึงสูงพบว่าที่ความคื้นครากรเท่ากับ 300 รัศมีพันช์ด้ายเท่ากับ 10 mm ค่าสัมประสิทธิ์การดีดตัวกลับจะมีค่าน้อยที่สุดและเมื่อความคื้นครากรเพิ่มขึ้นค่าสัมประสิทธิ์การดีดตัวกลับจะมีมากขึ้นตามไปด้วย

แนวโน้มของการเกิดการดีดตัวกลับหลังจากการตัดขึ้นรูปตัววีสำหรับวัสดุเหล็กกล้าทันเรցดึงสูงเมื่อความคื้นครากรเพิ่มขึ้น ค่าสัมประสิทธิ์การดีดตัวกลับ (Spring-back Factor) จะมีแนวโน้มเพิ่มขึ้นและเมื่อค่าความคื้นครากรลดลง ค่าสัมประสิทธิ์การดีดตัวกลับจะเริ่มลดลงเช่นเดียวกัน

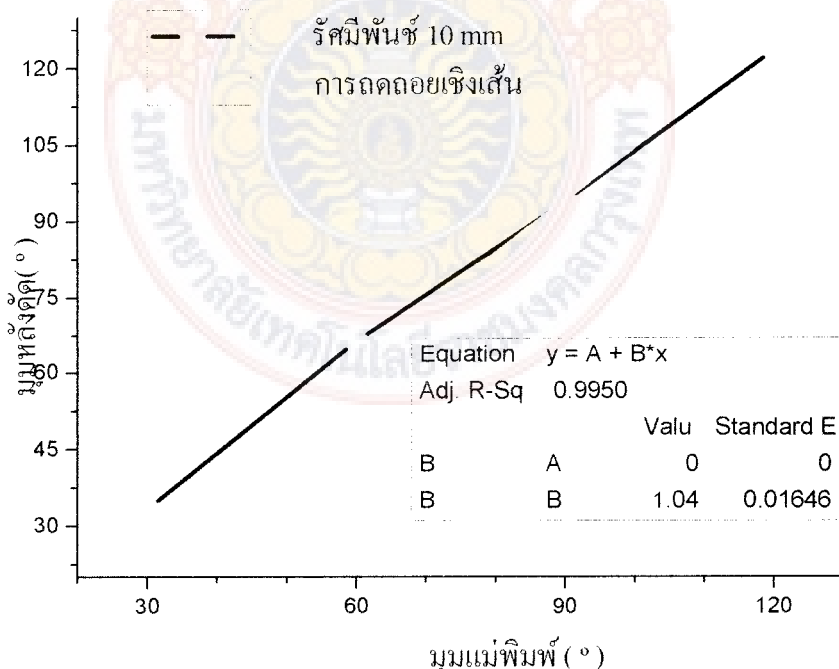
4.2.3 อิทธิพลของมุมพันช์และด้ายที่ส่งผลต่อการเกิดการดีดตัวกลับ (Spring-back)

การศึกษาอิทธิพลของมุมพันช์และด้ายที่ส่งผลต่อการเกิดการดีดตัวกลับของชิ้นงานทดสอบหลังกระบวนการตัดขึ้นรูปสำหรับวัสดุเหล็กกล้าทันเรցดึงสูงโดยการจำลองและมีเงื่อนไขคือ ค่าความคื้นครากรเท่ากับ 350 N/mm^2 รัศมีพันช์ด้ายเท่ากับ 10 mm เมริยบเทียบมุมพันช์และด้ายเท่ากับ 30, 60, 90 และ 120° วิเคราะห์ความแตกต่างของมุมพันช์ด้ายค่าต่าง ๆ

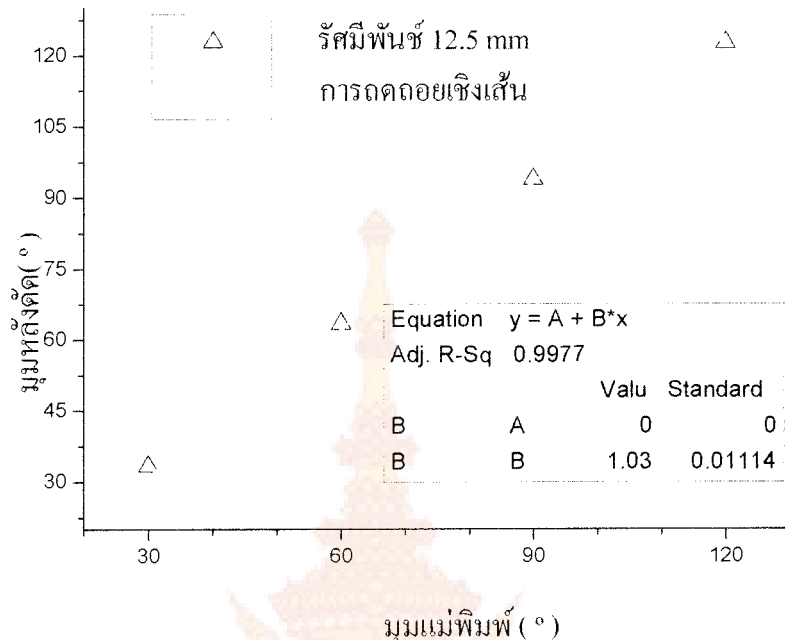
ตารางที่ 4.5 แสดงค่ารัศมีพันธ์ที่มุมของแม่พิมพ์หลังการตัด

รัศมีพันธ์(mm)	มุมของแม่พิมพ์(°)			
	30°	60°	90°	120°
10	33.370	66.371	93.750	123.456
12.5	33.296	63.357	92.975	122.448
15	32.119	63.157	85.551	113.314
17.5	30.549	60.790	84.190	111.731
20	30.211	60.060	83.643	110.905
22.5	30.030	59.405	82.796	109.589

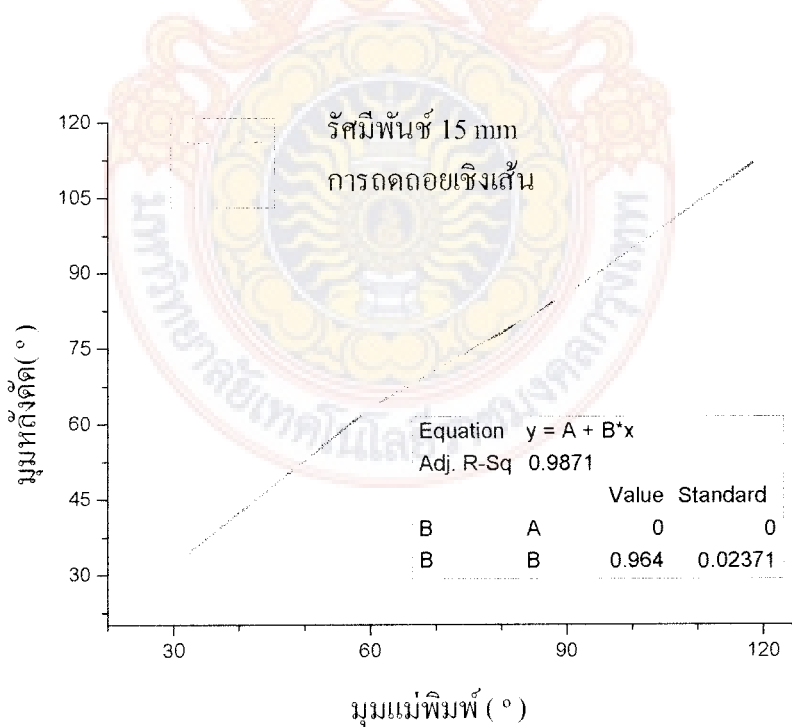
จากตารางที่ 4.5 พบร่ว่ารัศมีของพันธ์นี้อย่างการตัดตัวกลับของวัสดุน้อยและรัศมีของพันธ์มากการตัดตัวกลับก็มากขึ้นตามไปด้วย แสดงว่ารัศมีของพันธ์มีผลต่อการตัดตัวกลับของวัสดุ มุมของแม่พิมพ์ 30, 60, 90, 120° มีค่าสัมประสิทธิ์การตัดตัวกลับ ที่ใกล้เคียงกับมุมของแม่พิมพ์ค่าจะไม่แตกต่างกันมากนัก



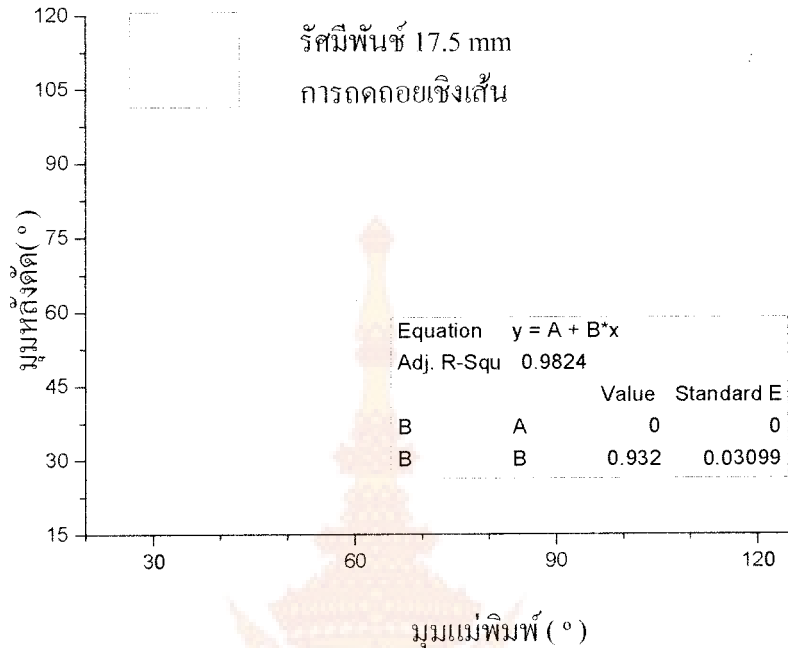
รูปที่ 4.7 แสดงอิทธิพลของมุมพันธ์ 10 mm ที่ส่งผลต่อการเกิดการตัดตัวกลับของการตัดขึ้นรูปตัววี สำหรับวัสดุเหล็กกล้าทนแรงดึงสูง



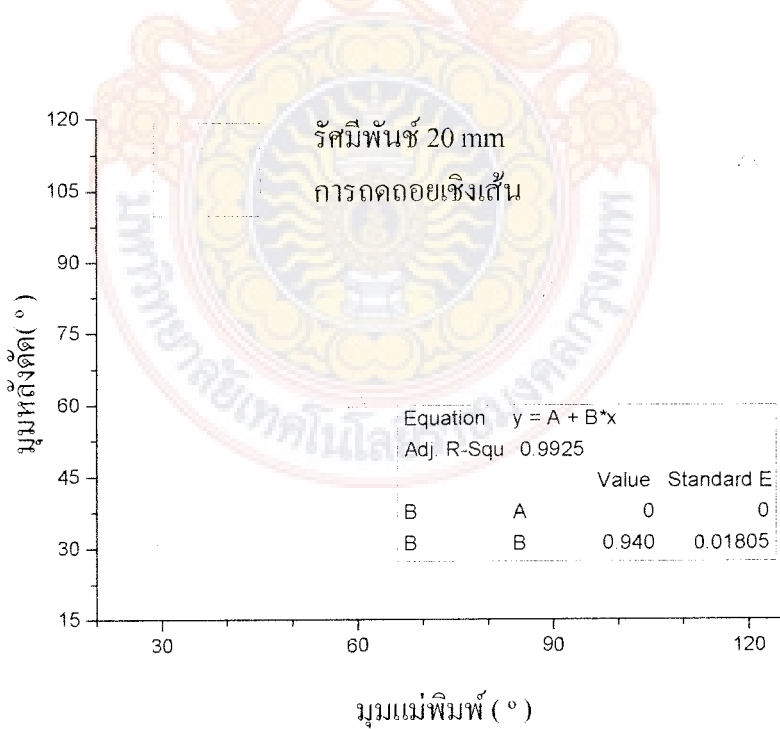
รูปที่ 4.8 แสดงอิทธิพลของมุมพันช์ 12.5 mm ที่ส่งผลต่อการเกิดการดีดตัวกลับของการดัดขึ้นรูปปัตว์ วีสำหรับวัสดุเหล็กกล้าทันเรցดึงสูง



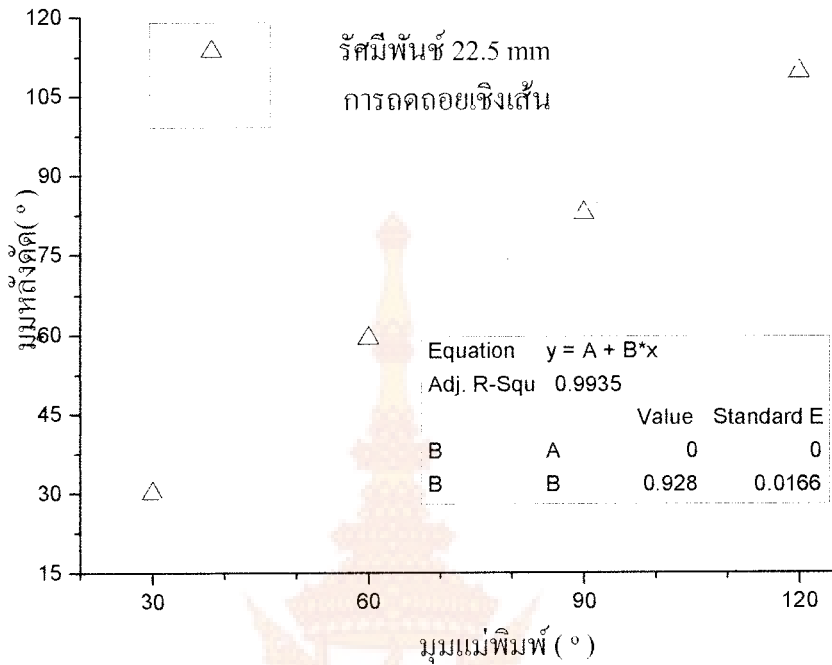
รูปที่ 4.9 แสดงอิทธิพลของมุมพันช์ 15 mm ที่ส่งผลต่อการเกิดการดีดตัวกลับของการดัดขึ้นรูปปัตว์ วีสำหรับวัสดุเหล็กกล้าทันเรցดึงสูง



รูปที่ 4.10 แสดงอิทธิพลของรัศมีพันซ์ 17.5 mm ที่ส่งผลต่อการเกิดการคีดตัวกลับของการดัดขึ้นรูปตัววีสำหรับวัสดุเหล็กกอล์ฟลามแรงดึงสูง



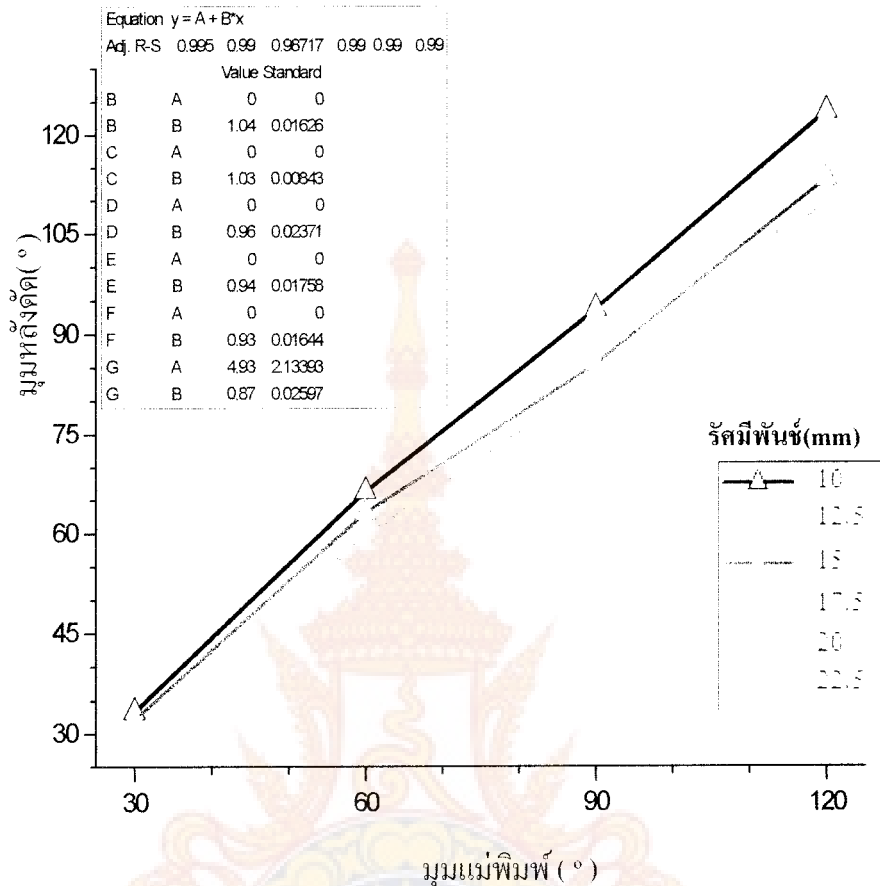
รูปที่ 4.11 แสดงอิทธิพลของรัศมีพันซ์ 20 mm ที่ส่งผลต่อการเกิดการคีดตัวกลับของการดัดขึ้นรูปตัววีสำหรับวัสดุเหล็กกอล์ฟลามแรงดึงสูง



รูปที่ 4.12 แสดงอิทธิพลของมุนพันซ์ 22.5 mm ที่ส่งผลต่อการเกิดการดีดตัวกลับของการดักขึ้นรูปตัววีสำหรับวัสดุเหล็กกล้าทันแรงดึงดูด

จากการทดลองจะพบว่า ที่รัศมีพันซ์และด้วยมีผลต่อการดีดตัวกลับของชิ้นงาน ซึ่งเมื่อมุนพันซ์และด้วยเพิ่มขึ้นค่าสัมประสิทธิ์การเกิดการดีดตัวกลับก็เพิ่มขึ้นตามไปด้วย ค่ารัศมี 10 mm มีค่าสัมประสิทธิ์การดีดตัวกลับที่มีค่าน้อยที่สุด แต่เมื่อค่ารัศมีพันซ์และด้วยเท่ากันนี้แต่มุนของพันซ์ด้วยเพิ่มขึ้น ค่าสัมประสิทธิ์การดีดตัวกลับมีแนวโน้มที่เพิ่มขึ้นเรื่อยๆ ตรงกันข้ามเมื่อมุนของพันซ์ด้วยลดลง ค่าสัมประสิทธิ์การเกิดการดีดตัวกลับจะมีค่าลดลงเรื่อยๆ เช่นกัน

เมื่อทำการเปรียบเทียบอิทธิพลของมุนพันซ์ด้วยหั้งหมุด คือ 30, 60, 90 และ 120° ที่ค่ารัศมีพันซ์ 10, 12.5, 15, 17.5, 20 และ 22.5 mm ความเก็บรากเท่ากับ 350 N/mm^2 จากการจำลองพบว่า เมื่อมุนพันซ์ด้วยและรัศมีพันซ์เพิ่มขึ้น แนวโน้มของการเกิดการดีดตัวกลับมีค่าเพิ่มขึ้น ทำให้ผลที่ได้จากการจำลองนี้มีความน่าเชื่อถือและสอดคล้องกับการหาค่าสัมประสิทธิ์การเกิดการดีดตัวกลับ



รูปที่ 4.13 แสดงการเปรียบเทียบอิทธิพลของมุมพับซ์และด้วยที่สั่งผลต่อการเกิดการดีดตัวกลับของ การดัดขึ้นรูปตัววีสำหรับวัสดุเหล็กกล้าทันแรงดึงดูงที่รัศมีพับซ์ด้วยค่าต่าง ๆ

จากรูปที่ 4.13 จะพบว่าที่รัศมีพับซ์และด้วยค่าต่าง ๆ เมื่อมุมของพับซ์และด้วยเพิ่มขึ้น ค่า สัมประสิทธิ์การเกิดการดีดตัวกลับจะมีค่าเพิ่มขึ้นตามไปด้วยและเมื่อมุมของพับซ์และด้วยลดลง ค่า สัมประสิทธิ์การเกิดการดีดตัวกลับมีแนวโน้มลดลงเรื่อย ๆ ทุกค่ารัศมีพับซ์ด้วยเช่นกัน

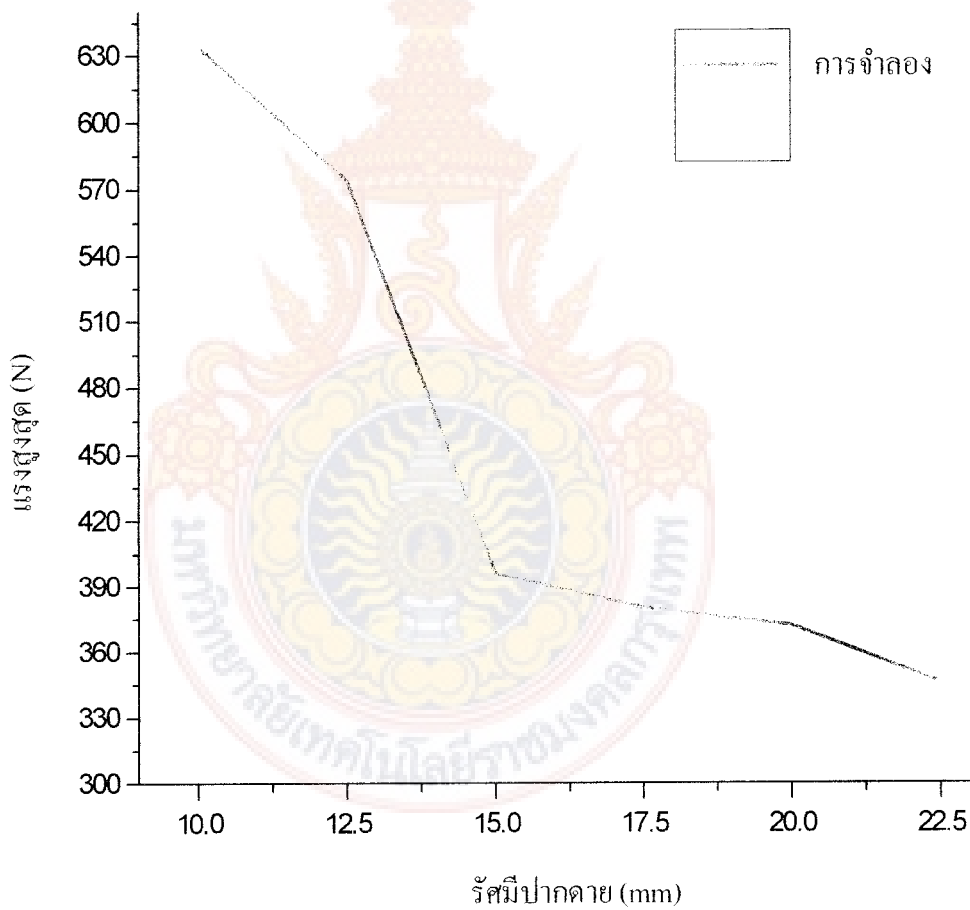
4.3 การวิเคราะห์ตัวแปรที่ส่งผลต่อแรงที่ใช้ในการดัดขึ้นรูป

เพื่อให้ทราบถึงตัวแปรที่ส่งผลต่อแรงที่ใช้ในการดัดขึ้นรูปตัววีสำหรับวัสดุเหล็กกล้าทันแรงดึงดูงโดยมีมุมพับซ์และด้วยเท่ากับ 90° ผู้ศึกษาได้วิเคราะห์ผลการจำลองการทำงานโดยการเปรียบเทียบ 3 ตัวแปรหลักคือ รัศมีพับซ์และด้วยเท่ากับ 10, 12.5, 15, 17.5, 20 และ 22 mm รัศมีปากดายเท่ากับ 10, 12.5, 15, 17.5, 20 และ 22 mm และความเค้นครากเท่ากับ 300, 350, 400, 450.

500 และ 550 N/mm^2 ในการศึกษาอิทธิพลของตัวแปรเหล่านี้ที่ส่งผลต่อแรงที่ใช้ในการดัดขึ้นรูปตัววี สำหรับวัสดุเหล็กกล้าทันแรงดึงสูง

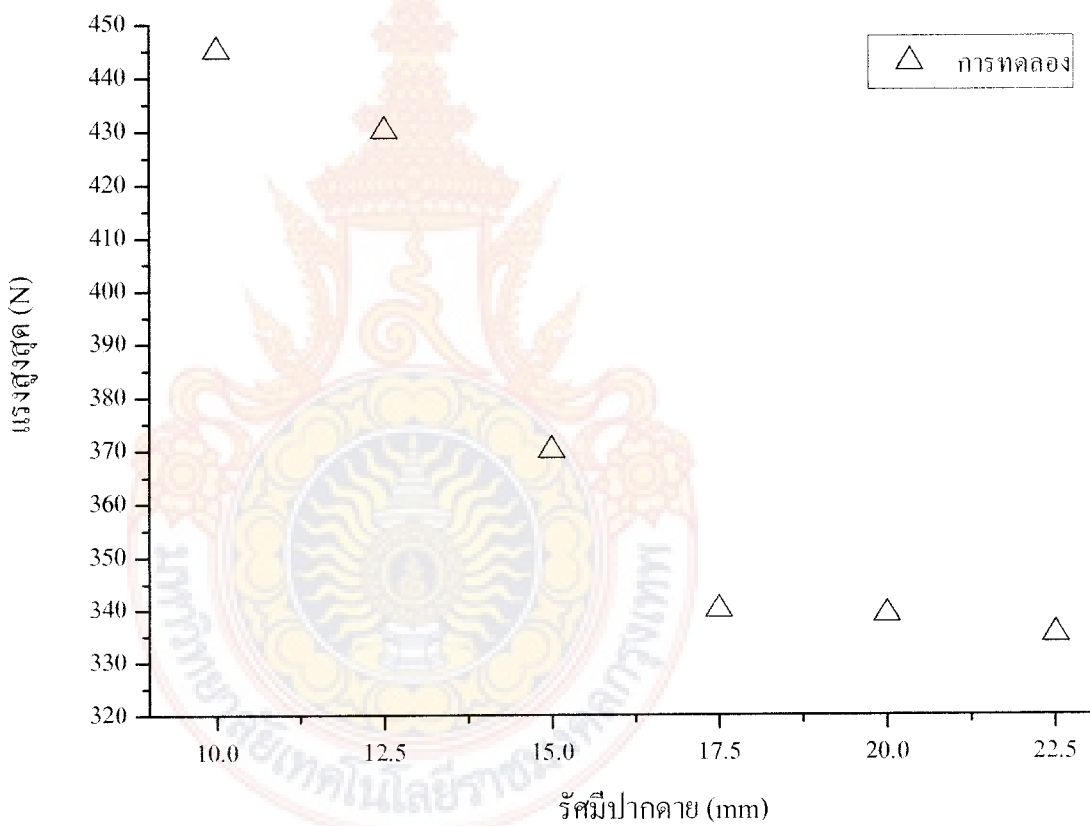
4.3.1 อิทธิพลของรัศมีปากดายที่ส่งผลต่อแรงที่ใช้ในการดัดขึ้นรูป

การศึกณาอิทธิพลของรัศมีปากดายที่ส่งผลต่อแรงที่ใช้ในการดัดขึ้นรูปตัววีสำหรับวัสดุเหล็กกล้าทันแรงดึงสูงจากรูปที่ 4.14 การจำลองที่มุ่งพันธ์และด้วยเท่ากับ 90° และความเค้นครากเท่ากับ 400 จะเห็นว่า ค่ารัศมีปากดายที่ใช้แรงในการดัดขึ้นรูปมากที่สุด คือ 10 mm แรงที่ใช้คือ 340.923 N เมื่อค่ารัศมีปากดายเพิ่มขึ้น แนวโน้มของแรงที่ใช้ในการดัดจะมีลดลงเรื่อยๆ



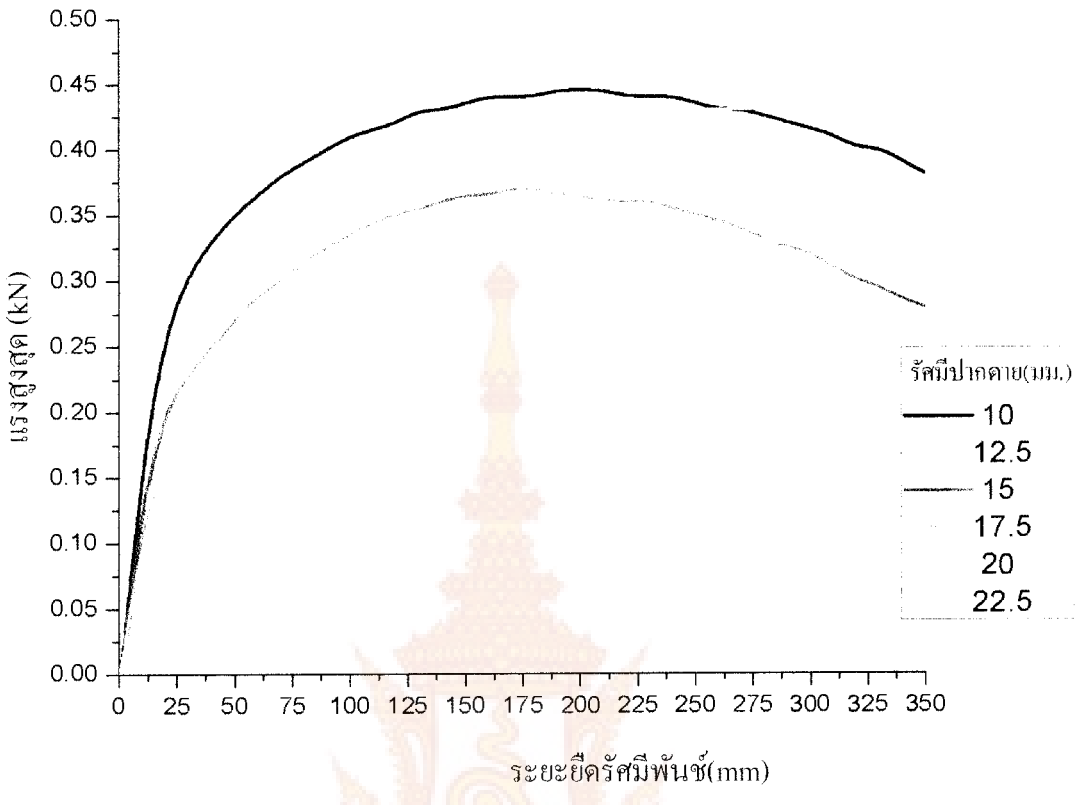
รูปที่ 4.14 แสดงอิทธิพลของรัศมีปากดายที่ส่งผลต่อแรงที่ใช้ในการดัดขึ้นรูป ที่มุ่งพันธ์และด้วยเท่ากับ 90° ของชาและความเค้นครากเท่ากับ 400 N/mm^2 จากการจำลอง

เพื่อให้เห็นถึงอิทธิพลของรัศมีปากดายที่ส่งผลต่อแรงที่ใช้ในการดัดขึ้นรูปตัววี สำหรับวัสดุเหล็กกล้าทันแรงดึงสูง ที่มีความไกล์คีบงกการจำกัดของจักรูปที่ 4.10 ผู้ศึกษาได้ทำการทดลอง โดยมีเงื่อนไขคือ มุมของพันธ์และด้ายเท่ากับ 90° และความเค้นครากเท่ากับ 204 N/mm^2 เปรียบเทียบ แรงที่ใช้ในการดัดขึ้นรูปกับรัศมีปากดายค่าต่างๆ จะพบว่า ที่รัศมีปากดายเท่ากับ 10 mm แรงที่ใช้ในการดัดขึ้นรูปเท่ากับ 445 N และเมื่อค่ารัศมีปากดายเพิ่มขึ้น แนวโน้มของแรงที่ใช้ในการดัดขึ้นรูปจะลดลงเรื่อยๆ เนื่องจากคุณสมบัติของวัสดุต่างกันจึงส่งผลให้แรงที่ใช้ในการดัดขึ้นรูปที่รัศมีปากดายค่าเท่ากัน มีค่าแตกต่างกัน



รูปที่ 4.15 แสดงอิทธิพลของรัศมีปากดายที่ส่งผลต่อแรงที่ใช้ในการดัดขึ้นรูป ที่มุมพันธ์และด้ายเท่ากับ 90° และความเค้นครากเท่ากับ 350 N/mm^2

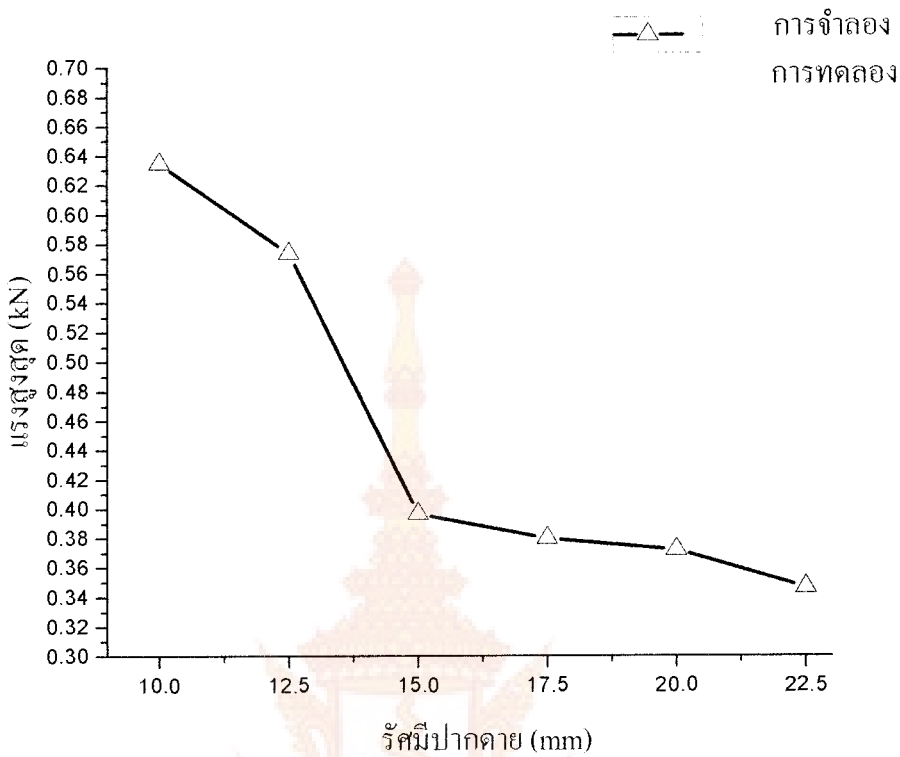
จากการทดลองจะเห็นว่ารัศมีปากดายน้อยแรงที่ใช้ในการกดก็มากแต่รัศมีปากดายมากแรงที่ใช้ก็จะมีค่าน้อยซึ่งรัศมีของปากดายส่งผลต่อแรงที่การใช้ในการกดวัสดุเหล็กกล้าทันแรงดึงสูง



รูปที่ 4.16 แสดงอิทธิพลของรัศมีปากดายที่ส่งผลต่อแรงที่ใช้ในการดัดขึ้นรูปตัววีสำหรับวัสดุเหล็กกล้าทันแรงดึงสูง จากการทดลอง

จากรูปที่ 4.15 จะพบว่าความต้านทานแรงดึงที่จุดคราบ (Yield stress) นั้นแสดงถึงจุดที่วัสดุจะมีการเปลี่ยนแปลงการแปรรูปจากการแปรรูปแบบยืดหยุ่น (Elastic) เป็นการแปรรูปแบบถาวร (Plastic) ซึ่งช่วงการแปรรูปแบบยืดหยุ่นนั้นค่าของแรงกระทำจะสัมพันธ์กับค่าการยืดตัว หรือค่าความซั่นคงที่ ทั้งนี้หากทำการปลดอย่างแรงที่กระทำต่อชิ้นงานในช่วงดังกล่าว วัสดุจะเกิดการหดตัวกลับไปยังรูปเดิมของชิ้นงาน แต่เมื่อพ้นจุดคราบไปแล้วปลดอย่างแรงวัสดุจะไม่กลับสู่ค่าความรูปเดิม นั่นคือช่วงการแปรรูปแบบถาวร (Plastic) แรงที่ใช้ในการดัดขึ้นรูปจะมีค่ามากที่สุดที่จุดความก dein แรงดึงสูงสุดนั่นเอง

เพื่อให้ได้ข้อมูลที่ถูกต้องตรงกันและน่าเชื่อถือมากที่สุด ผู้ศึกษาจึงได้ทำการเบริญเทียนอิทธิพลของรัศมีปากดายที่ส่งผลต่อแรงที่ใช้ในการดัดขึ้นรูประหว่างการจำลองและการทดลอง (รูปที่ 4.16) จะพบว่า จากการทดลอง เมื่อรัศมีปากดายมีค่าน้อย แนวโน้มของแรงที่ใช้ในการดัดขึ้นรูปจะมีค่ามากและเมื่อรัศมีปากดายมีค่ามาก แรงที่ใช้ในการดัดขึ้นรูปจะลดลงเรื่อยๆ เช่นเดียวกับการจำลอง



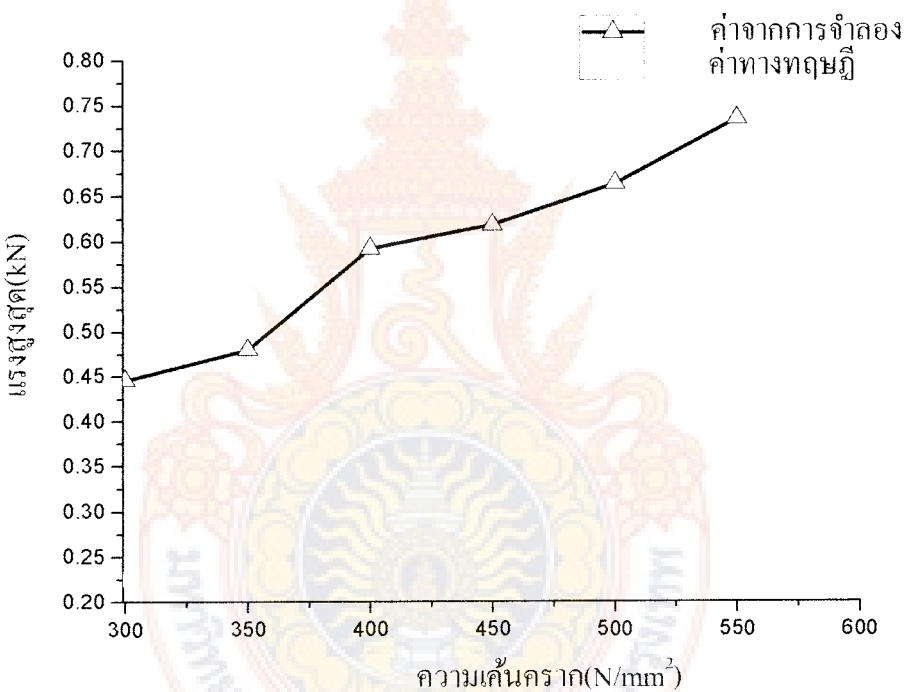
รูปที่ 4.17 แสดงการเปรียบเทียบระหว่างการจำลองและการทดลองอิทธิพลของรัศมีปากดายที่ต่างผลต่อแรงที่ใช้ในการดัดขึ้นรูปตัววีสำหรับวัสดุเหล็กก้าบทันแรงดึงสูง

ศูนย์กลางรัศมีด้านหนึ่ง ไปยังจุดศูนย์กลางรัศมีด้วยอิกด้านหนึ่ง นั่นคือ เมื่อค่ารัศมีปากดายเพิ่มขึ้น ระยะห่างจากรัศมีพันธ์ถึงรัศมีดาย (L) จะเพิ่มขึ้นด้วยเช่นกัน ส่งผลให้แรงที่ใช้ในการดัดขึ้นรูป มีค่าน้อยลงตามระยะห่างจากรัศมีพันธ์ถึงรัศมีดาย (L) ซึ่งแสดงให้เห็นว่า การหาแรงที่ใช้ในการดัดขึ้นรูปตัววีสำหรับวัสดุเหล็กก้าบทันแรงดึงสูง โดยมีมุมพันธ์และดายเท่ากับ 90 องศา สามารถหาได้จากการจำลองการดัดขึ้นรูปโดยไฟในอลิเมนต์โดยไม่ต้องทดลอง ซึ่งอาจมีจุดที่แตกต่างบ้าง เล็กน้อย โดยเกิดจากการเก็บข้อมูลอย่างละเอียดของตัวโปรแกรมจึงทำให้การผลิตกราฟได้ ละเอียดขึ้น

4.3.2 อิทธิพลของความเค้นครากที่ส่งผลต่อแรงที่ใช้ในการดัดขึ้นรูป

การศึกษาอิทธิพลของความเค้นครากกับแรงที่ใช้ในการดัดขึ้นรูปตัววี สำหรับวัสดุเหล็กก้าบทันแรงดึงสูงผู้ศึกษาได้ทำการจำลองโดยระบบไฟในอลิเมนต์โดยมีเงื่อนไขคือ รัศมีพันธ์และดายเท่ากับ 22.5 mm รัศมีปากดายเท่ากับ 20 mm มุมพันธ์และดายเท่ากับ 90° โดยศึกษาค่าความเค้นครากเท่ากับ 300, 350, 400, 450, 500 และ 550 N/mm^2 ตามลำดับ

กราฟแสดงอิทธิพลของความคืนครากค่าต่างๆ ที่ส่งผลต่อแรงที่ใช้ในการดัดขึ้นรูปตัววีสำหรับวัสดุเหล็กกล้าทันแรงดึงสูง จากการจำลอง (รูปที่ 4.13) พบว่า ที่ความคืนคราก 300 แรงที่ใช้ในการดัดขึ้นรูปเท่ากับ 445.51 N ซึ่งมีค่าน้อยที่สุดเมื่อเปรียบเทียบกับค่าความคืนครากทั้งหมด เมื่อค่าความคืนครากเพิ่มขึ้น แนวโน้มของแรงที่ใช้ในการดัดขึ้นรูปจะมากขึ้นไปด้วย ในทางกลับกันเมื่อค่าความคืนครากลดลง แนวโน้มแรงที่ใช้ในการดัดขึ้นรูปจะมีค่าลดลงเรื่อยๆ เช่นเดียวกัน ซึ่งผลการจำลองนี้มีความสอดคล้องกับ 4.3 เมื่อความแข็งแรงดึงสูงสุด (Ultimate tensile strength : σ_u) มีความสัมพันธ์กับความคืนคราก (Yield stress : σ_y) โดยเมื่อความคืนครากมีค่ามาก แรงที่ใช้ในการดัดขึ้นรูปจะมีค่ามากตามไปด้วย



รูปที่ 4.18 แสดงการเปรียบเทียบระหว่างการจำลองและค่าทางทฤษฎี
ที่ความคืนครากที่ส่งผลต่อแรง

ในการขึ้นรูปโลหะ โดยการดัดนั้น เราต้องให้แรงแก่ชิ้นงานทั้งนี้เพื่อให้ชิ้นงานนั้นเปลี่ยนรูปอย่างถาวร ซึ่งแรงที่ให้แก่ชิ้นงานนั้นจะต้องไม่ทำให้ความคืนกิกขึ้นบนชิ้นงานมากกว่าความคืนแรงดึงสูงสุดของชิ้นงานนั้น และจะต้องไม่น้อยกว่าจุดหยุดของชิ้นงานนั้น

4.4 สรุป

ตัวแปรที่มีผลต่อการดีดตัวกลับของวัสดุเหล็กกล้าทันแรงดึงดูง คือ รัศมีของพันซ์ทึ้งจากการจำลองและการทดลองทางผู้จัดทำและการคำนวณเมื่อรัศมีของพันซ์มีค่าน้อยค่าสัมประสิทธิ์การดีดตัวกลับก็จะมีแนวโน้มที่น้อย ในทางตรงกันข้ามรัศมีพันซ์มากขึ้นค่าสัมประสิทธิ์การดีดตัวกลับก็มากขึ้นตามไปด้วย อิทธิพลของความเค้นครากกีส่งผลต่อการดีดตัวกลับของวัสดุด้วยเช่นกัน รวมถึงอิทธิพลของนูนพันซ์และดายกีมีผลต่อการดีดตัวกลับของวัสดุด้วย และการวิเคราะห์ตัวแปรที่ส่งผลต่อแรงที่ใช้ในการดัดขึ้นรูป ตัวแปรที่มีผลคือรัศมีปากดายและความเค้นคราก เมื่อค่ารัศมีปากดายแล้วแรงที่ใช้ในการกดก็จะมีค่ามาก แต่หากรัศมีปากดายมากแรงที่ใช้กดก็จะมากขึ้นตามไปด้วย ดังนั้นตัวแปรที่กล่าวมาข้างต้นจึงมีผลต่อค่าสัมประสิทธิ์การดีดตัวกลับของวัสดุเหล็กกล้าทันแรงดึงดูง



บทที่ 5

สรุปผลการวิจัยและข้อเสนอแนะ

5.1 สรุปผล

การศึกษาการตัดขึ้นรูปตัววีสำหรับวัสดุเหล็กกล้าทันแรงดึงดูดวิ่งไปร่างเกรมไฟฟ้านาโนเมต์ Marc เวอร์ชั่น 2008 สามารถสรุปได้ดังนี้

5.1.1 อิทธิพลของตัวแปรที่ส่งผลต่อการเกิดการดีดตัวกลับหลังการตัดขึ้นรูปตัววีสำหรับวัสดุเหล็กกล้าทันแรงดึงดูด

- รัศมีพันซีมีผลต่อการเกิดการดีดตัวกลับของชิ้นงานหลังการตัดขึ้นรูป รัศมีพันซีเท่ากับ 10 มิลลิเมตรเกิดการดีดตัวกลับน้อยที่สุดและเมื่อค่ารัศมีพันซีเพิ่มขึ้น การเกิดการดีดตัวกลับมีค่ามากขึ้นตามไปด้วยเช่นกัน

- ความเค้นครากมีผลต่อการเกิดการดีดตัวกลับของชิ้นงานหลังการตัดขึ้นรูป ความเค้นครากเท่ากับ 300 N/mm^2 เกิดการดีดตัวกลับน้อยที่สุดและเมื่อความเค้นครากเพิ่มขึ้น การเกิดการดีดตัวกลับมีค่ามากขึ้นตามไปด้วยเช่นเดียวกัน

- นูนพันซีและดายมีผลต่อการเกิดการดีดตัวกลับของชิ้นงานหลังการตัดขึ้นรูป นูนพันซีและดายเท่ากับ 30 องศา เกิดการดีดตัวกลับน้อยที่สุดและเมื่อมุมของพันซีและดายเพิ่มขึ้น การเกิดการดีดตัวกลับมีค่ามากขึ้นตามไปด้วยเช่นเดียวกัน

5.1.2 อิทธิพลของตัวแปรที่ส่งผลต่อแรงที่ใช้ในการตัดขึ้นรูปตัววีสำหรับวัสดุเหล็กกล้าทันแรงดึงดูด

- รัศมีปากตาย มีผลต่อแรงที่ใช้ในการตัดขึ้นรูป รัศมีปากตายเท่ากับ 10 mm ต้องใช้แรงในการตัดขึ้นรูปมากที่สุดและเมื่อค่ารัศมีปากตายเพิ่มขึ้น แรงที่ใช้ในการตัดขึ้นรูปจะมีค่าน้อยตามไปเช่นเดียวกัน

- ความเค้นครากมีผลต่อแรงที่ใช้ในการตัดขึ้นรูปตัววี ค่าความเค้นคราก 300 N/mm^2 แรงที่ใช้ในการตัดขึ้นรูปมีค่าน้อยที่สุดและเมื่อค่าความเค้นครากเพิ่มขึ้นแรงที่ใช้ในการตัดขึ้นรูปมีค่ามากขึ้นตามไปด้วยเช่นเดียวกัน

5.2 ข้อเสนอแนะ

จากการทำงานโครงการนี้ผู้ศึกษาสรุปข้อเสนอแนะเพื่อพัฒนาและประยุกต์ใช้กับภาคอุตสาหกรรมในเรื่องกรรมวิธีการตัดขึ้นรูปตัววี เพื่อให้เกิดประสิทธิภาพสูงสุด ดังนี้

5.2.1 ความมีการกำหนดเงื่อนไขของตัวแปรที่ทำการศึกษาให้ละเบี่ยง เพื่อที่จะศึกษาแนวโน้มผลการทดลองที่ซัดเจนมากยิ่งขึ้น

5.2.2 ใน การศึกษาตัวแปรที่เกี่ยวข้องกับกรรมวิธีการคัดชิ้นรูปตัววี ความมีค่าที่แตกต่างกันมากๆ เพื่อให้ผลการทดลองที่ได้สามารถเปรียบเทียบผลกันได้ง่ายและมีความซัดเจน

5.3 ประโยชน์ของการวิจัย

จากการศึกษาอิทธิพลของตัวแปรต่างๆที่ส่งผลต่อแรงและการเกิดการดีดตัวกลับของชิ้นงาน หลังจากการคัดชิ้นรูปตัววี สำหรับวัสดุเหล็กล้านแรงดึงสูงนี้ ก่อให้เกิดประโยชน์มากมายทั้งในด้าน การศึกษา องค์กร สังคม ภาคอุตสาหกรรมและด้านอื่นๆ สามารถนำผลที่ได้จากการวิจัยนี้ไปประยุกต์ใช้ ตามความเหมาะสม ซึ่งจะก่อให้เกิดประโยชน์ทั้งทางตรงและทางอ้อม ระยะสั้นและระยะยาว ดังต่อไปนี้

5.3.1 การออกแบบกระบวนการคัดวัสดุชิ้นงานให้ได้ขนาดและมุณตามที่ต้องการ โดยไม่ต้อง ลองผิดลองถูก

5.3.2 การลองผิดลองถูกนั้นจะส่งผลให้เกิดการสูญเสีย เช่น ค่าวัสดุชิ้นงาน วัสดุทำแม่พิมพ์เวลา ที่เสียไป ค่าแรงงาน พลังงาน เป็นต้น ทั้งหลายเหล่านี้ล้วนแต่เป็นต้นทุนการผลิตทั้งนั้น ผู้ผลิตสามารถใช้ ข้อมูลจากการวิจัยนี้ช่วยในการออกแบบแม่พิมพ์และลดค่าใช้จ่ายลงได้

5.3.3 ใช้เป็นข้อมูลประกอบการศึกษาสำหรับผู้ที่สนใจและช่วยส่งเสริมเอกสาร ตำรา เกี่ยวกับ กระบวนการคัดชิ้นรูป

5.3.4 ส่งผลต่อความเจริญก้าวหน้าขององค์จากการการออกแบบแบบแม่พิมพ์และกระบวนการผลิต ที่ถูกต้อง ไม่ชำรุด

5.3.5 จากกระบวนการผลิตที่ถูกต้องนั้น องค์กรจะได้รับความน่าเชื่อถือและไว้วางใจจากลูกค้า โดยลูกค้ามอบหมายงานให้ผลิตมากยิ่งขึ้น

5.3.6 พนักงานและผู้ประกอบการมีรายได้เพิ่มขึ้นเนื่องจากการผลิตที่เพิ่มจำนวนขึ้น ส่งผลดีต่อ รายได้ครอบครัวของพนักงานและเศรษฐกิจของประเทศไทย

5.3.7 ช่วยการใช้วัสดุและพลังงานที่สั้นเปลืองขององค์กรและประเทศไทย

5.3.8 ภาคอุตสาหกรรมของประเทศไทยได้รับการยอมรับและเชื่อถือต่อนานาประเทศ ส่งผลให้ ประเทศไทยมีประสิทธิภาพในการแข่งขันนานาประเทศทั่วโลกมากยิ่งขึ้น



ตารางที่ ก.1 ผลการจำลองการคัดขึ้นรูปตัววีวัสดุเหล็กทรายดึงสูงที่ความเค้นคราก 30

ขั้น ที่	รัศมี ด้วย	รัศมี พันช์	รัศมีปัก [*] ด้วย	ความเค้น คราก	มุมชิงงาน	kR	รัศมีพันช์
1	5	3	10	300	84.6	0.940	2.760
2	5	3	12.5	300	90.55	1.006	3.024
3	5	3	15	300	84.61	0.940	2.760
4	5	3	17.5	300	90.96	1.011	3.043
5	5	3	20	300	92.34	1.026	3.104
6	5	3	22.5	300	88.07	0.979	2.914
7	10	8	10	300	86.79	0.964	7.679
8	10	8	12.5	300	88.27	0.981	7.827
9	10	8	15	300	86.79	0.964	7.679
10	10	8	17.5	300	87.54	0.973	7.754
11	10	8	20	300	90	1.000	8.000
12	10	8	22.5	300	90	1.000	8.000
13	15	13	10	300	94.41	1.049	13.686
14	15	13	12.5	300	95.62	1.062	13.874
15	15	13	15	300	94.41	1.049	13.686
16	15	13	17.5	300	91.46	1.016	13.227
17	15	13	20	300	94.1	1.046	13.638
18	15	13	22.5	300	92.83	1.031	13.440
19	20	18	10	300	95.99	1.067	19.265
20	20	18	12.5	300	92.53	1.028	18.534
21	20	18	15	300	95.99	1.067	19.265
22	20	18	17.5	300	95.22	1.058	19.102
23	20	18	20	300	96.8	1.076	19.436
24	20	18	22.5	300	91.54	1.017	18.325
25	25	23	10	300	96.69	1.074	24.784
26	25	23	12.5	300	95.23	1.058	24.395
27	25	23	15	300	96.7	1.074	24.787
28	25	23	17.5	300	98.32	1.092	25.219
29	25	23	20	300	99.21	1.102	25.456
30	25	23	22.5	300	100.33	1.115	25.755
31	30	28	10	300	97.49	1.083	30.413
32	30	28	12.5	300	99.65	1.107	31.109
33	30	28	15	300	100.74	1.119	31.461
34	30	28	17.5	300	103.3	1.148	32.286
35	30	28	20	300	100.02	1.111	31.229
36	30	28	22.5	300	103.65	1.152	32.398

ตารางที่ ก.2 ผลการจำลองการตัดขึ้นรูปตัววีสคูเหล็กทอนแรงดึงสูงที่ความเค้นคราก 350

ชั้น ที่	รัศมี ด้วย	รัศมี พัมช์	รัศมีปัก ด้วย	ความเค้น คราก	มุมชิ้นงาน	kR	รัศมีพัมช์
1	5	3	10	350	86.48	0.961	2.844
2	5	3	12.5	350	88.16	0.980	2.918
3	5	3	15	350	90.68	1.008	3.030
4	5	3	17.5	350	83.61	0.929	2.716
5	5	3	20	350	89.56	0.995	2.980
6	5	3	22.5	350	89.13	0.990	2.961
7	10	8	10	350	87.12	0.968	7.712
8	10	8	12.5	350	87.72	0.975	7.772
9	10	8	15	350	86.48	0.961	7.648
10	10	8	17.5	350	88.83	0.987	7.883
11	10	8	20	350	90.52	1.006	8.052
12	10	8	22.5	350	88.7	0.986	7.870
13	15	13	10	350	94.73	1.053	13.736
14	15	13	12.5	350	93.95	1.044	13.614
15	15	13	15	350	94.73	1.053	13.736
16	15	13	17.5	350	95.34	1.059	13.831
17	15	13	20	350	89.81	0.998	12.970
18	15	13	22.5	350	96.26	1.070	13.974
19	20	18	10	350	96.26	1.070	19.322
20	20	18	12.5	350	96.01	1.067	19.269
21	20	18	15	350	96.26	1.070	19.322
22	20	18	17.5	350	93.63	1.040	18.766
23	20	18	20	350	94.95	1.055	19.045
24	20	18	22.5	350	92.56	1.028	18.540
25	25	23	10	350	96.9	1.077	24.840
26	25	23	12.5	350	97.01	1.078	24.869
27	25	23	15	350	97.26	1.081	24.936
28	25	23	17.5	350	94.21	1.047	24.123
29	25	23	20	350	95.3	1.059	24.413
30	25	23	22.5	350	95.96	1.066	24.589
31	30	28	10	350	97.87	1.087	30.536
32	30	28	12.5	350	100.74	1.119	31.461
33	30	28	15	350	97.87	1.087	30.536
34	30	28	17.5	350	99.42	1.105	31.035
35	30	28	20	350	106.2	1.180	33.220
36	30	28	22.5	350	111.38	1.238	34.889

ตารางที่ ก.3 ผลการจำลองการคัดขั้นรูปตัววีวสคุเหล็กทันเรցดึงสูงที่ความเค้นคราก 400

ชั้น ที่	รัศมี ด้วย	รัศมี พั้นช์	รัศมีปัก ด้วย	ความเค้น คราก	มุมชั้นงาน	มุม ชั้นงาน	รัศมีพั้นช์
1	5	3	10	400	86.16	0.957	2.829
2	5	3	12.5	400	90.93	1.010	3.041
3	5	3	15	400	86.16	0.957	2.829
4	5	3	17.5	400	88.27	0.981	2.923
5	5	3	20	400	88.09	0.979	2.915
6	5	3	22.5	400	84.63	0.940	2.761
7	10	8	10	400	88.37	0.982	7.837
8	10	8	12.5	400	88.34	0.982	7.834
9	10	8	15	400	88.37	0.982	7.837
10	10	8	17.5	400	89.21	0.991	7.921
11	10	8	20	400	93.08	1.034	8.308
12	10	8	22.5	400	93.2	1.036	8.320
13	15	13	10	400	94.77	1.053	13.742
14	15	13	12.5	400	94.79	1.053	13.745
15	15	13	15	400	94.77	1.053	13.742
16	15	13	17.5	400	95	1.056	13.778
17	15	13	20	400	96.16	1.068	13.958
18	15	13	22.5	400	96.46	1.072	14.005
19	20	18	10	400	97	1.078	19.478
20	20	18	12.5	400	95.69	1.063	19.201
21	20	18	15	400	95.77	1.064	19.218
22	20	18	17.5	400	94.98	1.055	19.051
23	20	18	20	400	97.16	1.080	19.512
24	20	18	22.5	400	97.46	1.083	19.575
25	25	23	10	400	97.16	1.080	24.909
26	25	23	12.5	400	95.71	1.063	24.523
27	25	23	15	400	95.32	1.059	24.419
28	25	23	17.5	400	97.63	1.085	25.035
29	25	23	20	400	97.26	1.081	24.936
30	25	23	22.5	400	96.53	1.073	24.741
31	30	28	10	400	97.16	1.080	30.307
32	30	28	12.5	400	92.73	1.030	28.880
33	30	28	15	400	97.16	1.080	30.307
34	30	28	17.5	400	99.42	1.105	31.035
35	30	28	20	400	102.75	1.142	32.108
36	30	28	22.5	400	96.63	1.074	30.136

ตารางที่ ก.4 ผลการจำลองการตัดขึ้นรูปตัววีวัสดุเหล็กทันเรցดึงสูงที่ความเค้นคราก 450

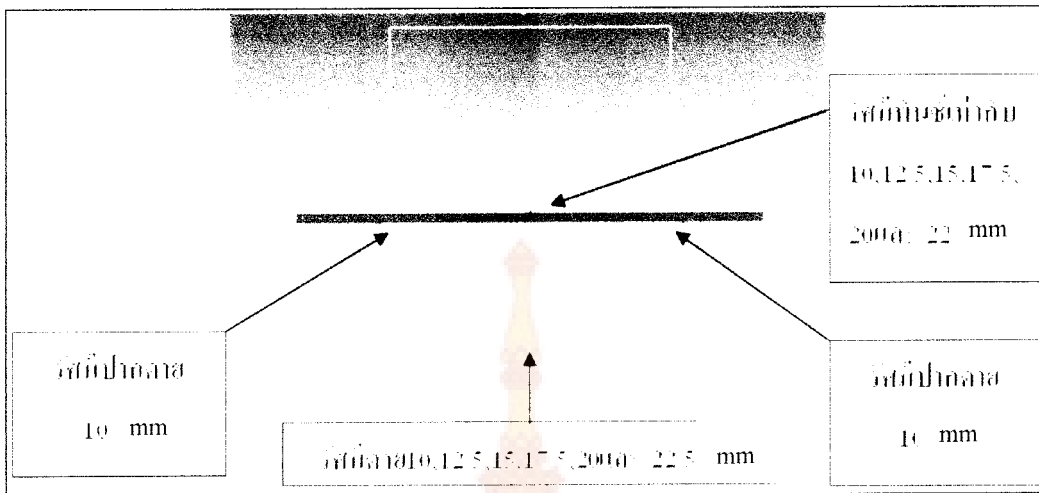
ชั้น ที่	รัศมี ด้วย	รัศมี พัฒนา	รัศมีปัก [*] ด้วย	ความเค้น [*] คราก	มุมชิ้นงาน	kR	รัศมีพัฒนา
1	5	3	10	450	87.47	0.972	2.888
2	5	3	12.5	450	92.76	1.031	3.123
3	5	3	15	450	87.47	0.972	2.888
4	5	3	17.5	450	86.18	0.958	2.830
5	5	3	20	450	88.09	0.979	2.915
6	5	3	22.5	450	85.9	0.954	2.818
7	10	8	10	450	89.43	0.994	7.943
8	10	8	12.5	450	89.3	0.992	7.930
9	10	8	15	450	89.44	0.994	7.944
10	10	8	17.5	450	87.87	0.976	7.787
11	10	8	20	450	91.46	1.016	8.146
12	10	8	22.5	450	90	1.000	8.000
13	15	13	10	450	94.95	1.055	13.770
14	15	13	12.5	450	95.88	1.065	13.915
15	15	13	15	450	94.95	1.055	13.770
16	15	13	17.5	450	94.36	1.048	13.678
17	15	13	20	450	89.25	0.992	12.883
18	15	13	22.5	450	97.49	1.083	14.165
19	20	18	10	450	96.49	1.072	19.370
20	20	18	12.5	450	96.79	1.075	19.433
21	20	18	15	450	96.77	1.075	19.429
22	20	18	17.5	450	95.21	1.058	19.100
23	20	18	20	450	97.63	1.085	19.611
24	20	18	22.5	450	97.56	1.084	19.596
25	25	23	10	450	97.29	1.081	24.944
26	25	23	12.5	450	96.03	1.067	24.608
27	25	23	15	450	96.46	1.072	24.723
28	25	23	17.5	450	97.65	1.085	25.040
29	25	23	20	450	95.09	1.057	24.357
30	25	23	22.5	450	97.53	1.084	25.008
31	30	28	10	450	97.43	1.083	30.394
32	30	28	12.5	450	98.8	1.098	30.836
33	30	28	15	450	97.43	1.083	30.394
34	30	28	17.5	450	105.05	1.167	32.849
35	30	28	20	450	112.23	1.247	35.163
36	30	28	22.5	450	99.93	1.110	31.200

ตารางที่ ก.5 ผลการจำลองการคัดขึ้นรูปตัววีร์สคุเหล็กทันเรցดึงสูงที่ความเค้นคราก 500

ชั้น ที่	รัศมี ด้วย	รัศมี พนช.	รัศมีปัก ด้วย	ความเค็น คราก	มุมชิ้นงาน	kR	รัศมีพนช.
1	5	3	10	500	87.52	0.972	2.890
2	5	3	12.5	500	86.05	0.956	2.824
3	5	3	15	500	87.22	0.969	2.876
4	5	3	17.5	500	90	1.000	3.000
5	5	3	20	500	89.58	0.995	2.981
6	5	3	22.5	500	90	1.000	3.000
7	10	8	10	500	91.33	1.015	8.133
8	10	8	12.5	500	91.45	1.016	8.145
9	10	8	15	500	91.33	1.015	8.133
10	10	8	17.5	500	93.96	1.044	8.396
11	10	8	20	500	88.77	0.986	7.877
12	10	8	22.5	500	93.57	1.040	8.357
13	15	13	10	500	95.81	1.065	13.904
14	15	13	12.5	500	89.61	0.996	12.939
15	15	13	15	500	95.81	1.065	13.904
16	15	13	17.5	500	96.17	1.069	13.960
17	15	13	20	500	96.85	1.076	14.066
18	15	13	22.5	500	89.97	1.000	12.995
19	20	18	10	500	96.69	1.074	19.412
20	20	18	12.5	500	96.02	1.067	19.271
21	20	18	15	500	97.4	1.082	19.562
22	20	18	17.5	500	97.61	1.085	19.607
23	20	18	20	500	95.8	1.064	19.224
24	20	18	22.5	500	97.73	1.086	19.632
25	25	23	10	500	97.8	1.087	25.080
26	25	23	12.5	500	97.82	1.087	25.085
27	25	23	15	500	98.6	1.096	25.293
28	25	23	17.5	500	98.26	1.092	25.203
29	25	23	20	500	98.64	1.096	25.304
30	25	23	22.5	500	97.98	1.089	25.128
31	30	28	10	500	98.58	1.095	30.765
32	30	28	12.5	500	99.18	1.102	30.958
33	30	28	15	500	105.79	1.175	33.088
34	30	28	17.5	500	109.64	1.218	34.328
35	30	28	20	500	113.71	1.263	35.640
36	30	28	22.5	500	107.1	1.190	33.510

ตารางที่ ก.6 ผลการจำลองการดัดขึ้นรูปตัววีสคูเหล็กทนแรงดึงสูงที่ความเค้นคราก 550

ชั้น ที่	รัศมี ด้วย	รัศมี พัณฑ์	รัศมีปาก ด้วย	ความเค็น คราก	มุมชิ้นงาน	kR	รัศมีพัณฑ์
1	5	3	10	550	87.72	0.975	2.899
2	5	3	12.5	550	84.23	0.936	2.744
3	5	3	15	550	84.61	0.940	2.760
4	5	3	17.5	550	85.7	0.952	2.809
5	5	3	20	550	83.39	0.927	2.706
6	5	3	22.5	550	86.39	0.960	2.840
7	10	8	10	550	93.64	1.040	8.364
8	10	8	12.5	550	91.39	1.015	8.139
9	10	8	15	550	93.64	1.040	8.364
10	10	8	17.5	550	97.91	1.088	8.791
11	10	8	20	550	88.2	0.980	7.820
12	10	8	22.5	550	89.04	0.989	7.904
13	15	13	10	550	96.6	1.073	14.027
14	15	13	12.5	550	96.41	1.071	13.997
15	15	13	15	550	96.61	1.073	14.028
16	15	13	17.5	550	88.93	0.988	12.834
17	15	13	20	550	92.69	1.030	13.418
18	15	13	22.5	550	89.98	1.000	12.997
19	20	18	10	550	97.01	1.078	19.480
20	20	18	12.5	550	98.31	1.092	19.754
21	20	18	15	550	98.28	1.092	19.748
22	20	18	17.5	550	96.25	1.069	19.319
23	20	18	20	550	97.04	1.078	19.486
24	20	18	22.5	550	97.21	1.080	19.522
25	25	23	10	550	98.01	1.089	25.136
26	25	23	12.5	550	98.64	1.096	25.304
27	25	23	15	550	98	1.089	25.133
28	25	23	17.5	550	98.97	1.100	25.392
29	25	23	20	550	99.27	1.103	25.472
30	25	23	22.5	550	99.98	1.111	25.661
31	30	28	10	550	100.08	1.112	31.248
32	30	28	12.5	550	108.54	1.206	33.974
33	30	28	15	550	108	1.200	33.800
34	30	28	17.5	550	100.32	1.115	31.325
35	30	28	20	550	96.86	1.076	30.210
36	30	28	22.5	550	112.47	1.250	35.240



รูปที่ ก.1 แสดงรัศมีค่าต่างๆสำหรับการวิเคราะห์การจำลอง

การจำลองการดัดขึ้นรูปตัววีสำหรับวัสดุเหล็กทอนแรงดึงสูงเพื่อเปรียบเทียบค่ารัศมีพันซ์ต่อไปนี้คือ รัศมีพันซ์เท่ากับ 10, 12.5, 15, 17.5, 20 และ 22.5 mm ที่ส่งผลต่อการเกิดการดีดตัวกลับที่ความเค้นครากเท่ากับ 350 N/mm^2 รัศมีปากตายเท่ากับ 10 mm และมุมของแม่พิมพ์เท่ากับ 90°

ตารางที่ ก.7 แสดงการคำนวณค่าสัมประสิทธิ์การดีดตัวกลับจากการจำลอง

ลำดับที่	รัศมีพันซ์(มม.)(r1)	รัศมีชั้นงานหลังดัด(มม.)(r2)	ค่าสัมประสิทธิ์การดีดตัวกลับ(kR)
1	10	9.870	0.987
2	12.5	12.368	0.989
3	15	14.909	0.993
4	17.5	17.411	0.994
5	20	20.074	1.003
6	22.5	22.808	1.013

ตารางที่ ก.8 แสดงการคำนวณความเค้นครากที่ส่งผลต่อการดีดตัวกลับ

ความเค้น คราก	รัศมีด้วย	รัศมีพื้นช์	รัศมีปากด้วย	มุมแม่พิมพ์ α_1	มุมชี้นงาน α_2	สัมประสิทธิ์การ ดีดตัวกลับ(kR)
300	10	8	10	90	88.23	0.980
350	10	8	10	90	88.94	0.988
400	10	8	10	90	89.5	0.994
450	10	8	10	90	89.68	0.996
500	10	8	10	90	89.8	0.998
550	10	8	10	90	92.82	1.031

ตารางที่ ก.9 แสดงค่าการคำนวณค่าสัมประสิทธิ์การดีดตัวกลับของมุมแม่พิมพ์

รัศมีด้วย	รัศมีพื้นช์	ความเค้นคราก	รัศมีปาก ด้วย	มุม แม่พิมพ์	มุม ชี้นงาน	ค่าสัมประสิทธิ์การ ดีดตัวกลับ
10	8	350	10	30	29.534	0.984
10	8	350	10	60	58.090	0.985
10	8	350	10	90	88.940	0.988
10	8	350	10	120	118.750	0.989



ກາຄພນວກ ຂ

ຂໍ້ມູນບັນທຶກຜົນກາຍ

ตารางที่ ข.1 แสดงข้อมูลการวัดชิ้นงานหลังการตัดชิ้นรูป

ข้อมูลการวัดมุมชิ้นงานหลังการทดลองการตัดชิ้นรูป

แนวการรีด		45			90			180		
รัศมี พื้นที่ดาย	ชิ้นที่	หนา 1.5 mm	หนา 2 mm	kR	หนา 1.5mm	หนา 2mm	kR	หนา 1.5mm	หนา 2mm	kR
R10	1		82.2	0.913		85.2	0.947		86.4	0.960
	2	81		0.900	84.45		0.938	84.25		0.936
	3		83.35	0.926		83.2	0.924	84.5		0.939
	4		77	0.856		84.2	0.936	84.25		0.936
	5		83	0.922		83.25	0.925		86.15	0.957
R12.5	1	76.35		0.848	87.45		0.972		81.4	0.904
	2		79.4	0.882		80.3	0.892		81.35	0.904
	3	80		0.889		80.45	0.894	81.45		0.905
	4	80		0.889		81	0.900	81.45		0.905
	5	79.3		0.881	80.55		0.895	82		0.911
R15	1		91.15	1.013		93.25	1.036		94	1.044
	2		92.5	1.028	93.3		1.037		94.1	1.046
	3		91.2	1.013		92.35	1.026	93.55		1.039
	4	92		1.022		92.45	1.027	94.3		1.048
	5	92.3		1.026	92.5		1.028	94		1.044
R17.5	1		90	1.000	92		1.022	92.3		1.026
	2		91	1.011	92.5		1.028	93.1		1.034
	3	91.2		1.013	93		1.033	92.35		1.026
	4	91.4		1.016		90.4	1.004		90.45	1.005
	5	86.3		0.959		91	1.011		91.45	1.016

	1	94.45		1.049	93.55		1.039		94.45	1.049
R20	2	94.25		1.047	93.3		1.037		95	1.056
	3		93.3	1.037	93.1		1.034		94.2	1.047
	4		93.5	1.039		96	1.067	96		1.067
	5		93.1	1.034		96	1.067	96		1.067
	1		94	1.044	96.15		1.068		96.3	1.070
R22.5	2		94	1.044	96.25		1.069	92.55		1.028
	3	96.5		1.072	96.15		1.068	92.1		1.023
	4	96		1.067		95	1.056		96	1.067
	5	96.5		1.072		95.5	1.061		96.3	1.070

ตารางที่ ๔.๒ คำนวณค่าเฉลี่ยรวมของการวัดมุมหลังการตัด

	45		90		180	
	1.5	2	1.5	2	1.5	2
10	0.900	0.913	0.938	0.924	0.936	0.960
12.5	0.889	0.882	0.972	0.900	0.911	0.904
15	1.022	1.013	1.028	1.026	1.039	1.044
17.5	1.013	1.011	1.033	1.011	1.034	1.016
20	1.047	1.037	1.039	1.007	1.067	1.049